

SWITCHING POWER SUPPLY

BY

VORAWUT CHAIPANHA

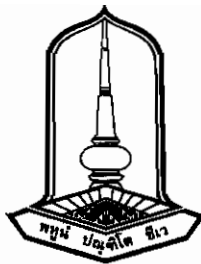
SUPIT PHOTISARN

**Presented in Partial Fulfillment Of the Requirements for
the Degree of Bachelor of Science in Applied Physics**

Mahasarakham University

March 2007

All rights reserved by Mahasarakham University



แหล่งจ่ายไฟตรงแบบสวิตชิ่ง

วรวุฒิ ไชยปัญหา
สุพิช โพธิสาร

รายงานโครงการพิสิกส์นี้ได้รับการพิจารณาอนุมัติให้นับเป็นส่วนหนึ่งของการศึกษาตาม
หลักสูตรวิทยาศาสตรบัณฑิต สาขาวิชาพิสิกส์ประยุกต์

คณะกรรมการตรวจสอบรายงานการศึกษาโครงการพิสิกส์

.....
.....
(อาจารย์พิมพุ พุฒเจริญศิลป์)

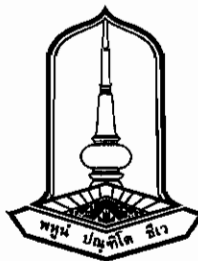
.....
.....
(อาจารย์สันชัย หาญสูงเนิน)

.....
.....
(อาจารย์ สิริยาภรณ์ แสงอรุณ)

.....
.....
(อาจารย์ พรพรรณี ชูเรือง)

วันที่.....เดือน..... พ.ศ.





Switching Power Supply

Vorawut Chaipanha

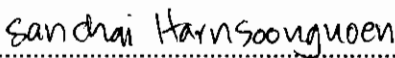
Supit Photisarn

This special project has been approved to be a partial fulfillment of the requirement for the
Degree of Bachelor of Science in Applied Physics.

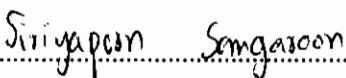
Examining Committee:

Chairman

(Mr. Phitsanu Poolcharuansin)

Examining Member

(Mr. Sanchai Harnsoongnoen)

Examining Member and CO - Adviser

(Miss. Siriyaporn Sangaroon)

.....Examining Member and Adviser

(Miss. Phanwadee Churueang)

Date



กิตติกรรมประกาศ

โครงการปั้นเยาวชนเล่นน้ำสำเร็จได้ด้วยความช่วยเหลือจากฝ่ายทั้ง บิดา มารดา และญาติพี่น้อง ทุกคนที่เสียสละ อบรม สั่งสอน ให้การสนับสนุนในด้านต่างๆ ตลอดมา

ผู้จัดทำของข้อมูลคุณ อาจารย์พรรพา วีระวงศ์ อาจารย์ที่ปรึกษาและอาจารย์ศิริยาภรณ์ แสงอรุณ อาจารย์ที่ปรึกษาร่วม ที่ให้ความกรุณา ให้คำแนะนำในการทำโครงการปั้นเยาวชน ตลอดจนให้คำชี้แนะในการแก้ไขปัญหาต่างๆ ผู้จัดทำจึงขอกราบขอบคุณในโอกาสนี้ด้วย

ขอขอบคุณอาจารย์ประจำภาควิชาฟิสิกส์ทุกท่านที่กรุณาให้คำแนะนำและแนะนำแนวทางในการศึกษาเพิ่มเติม และขอขอบคุณเพื่อนๆ น้องๆ ภาควิชาฟิสิกส์ทุกท่านที่เคยให้กำลังใจที่ดีเสมอมา

ขอขอบคุณเจ้าหน้าที่ประจำภาควิชาฟิสิกส์และเจ้าหน้าที่ห้องปฏิบัติการทุกท่านที่ให้ความสะดวกในการทำโครงการครั้งนี้ และขอขอบคุณทุกท่านที่มีส่วนเกี่ยวข้องที่ทำให้โครงการครั้งนี้สำเร็จไปด้วยดี

สุดท้ายนี้ขอขอบคุณเพื่อนๆ และน้องๆ ภาควิชาฟิสิกส์ทุกคนที่เคยให้กำลังใจในการการทำโครงการนี้อย่างไรไปได้ด้วยดี

วรรุณ ไชยปัญหา
สุพิศ พอดิสาร



ชื่อโครงงาน	แหล่งจ่ายไฟตรงแบบสวิตช์
ผู้ศึกษาค้นคว้า	วราภรณ์ ไชยปัญหา สุพิช โพธิสาร
อาจารย์ที่ปรึกษา	อาจารย์พรรณาดี ชูเรือง
อาจารย์ที่ปรึกษาร่วม	อาจารย์สิริยาภรณ์ แสงอรุณ
ปริญญา	วิทยาศาสตรบัณฑิต (วท.บ.) สาขา ฟิสิกส์ประยุกต์
มหาวิทยาลัย	มหาวิทยาลัยมหาสารคาม ปีที่พิมพ์ 2550

บทคัดย่อ

โครงงานนี้มีวัตถุประสงค์เพื่อที่จะศึกษาการทำงานของวงจรภายในของไอซี PWM พร้อมทั้งในโครงงานนี้ได้สร้างวงจรที่อยู่ภายในไอซี PWM จากอุปกรณ์อิเล็กทรอนิกส์พื้นฐานที่สามารถหาซื้อได้ตามร้านขายอุปกรณ์อิเล็กทรอนิกส์ทั่วไป ซึ่งจะทำให้วงจรที่สร้างสามารถตรวจสอบหาจุดบกพร่องได้ง่าย มีความขัดขวางมากยิ่งขึ้น เพื่อทดสอบวงจรที่สร้างได้นำวงจรมาสร้างเป็นแหล่งจ่ายไฟแบบสวิตช์ที่สามารถจ่ายแรงดันไฟฟ้าคงที่ได้ 12 โวลต์ จ่ายกำลังไฟฟ้าสูงสุดได้ 12 วัตต์ เพื่อที่จะนำไปใช้ประโยชน์กับเครื่องใช้ไฟฟ้าที่ใช้แรงดันไฟฟ้า 12 โวลต์หรือต่ำกว่าและต้องการกำลังไฟฟ้าต่ำกว่า 12 วัตต์



TITLE switching power supply
AUTHOR Warawut Chaipanha
Supit Photisarn
ADVISOR Miss.Panwadee Chooruang
CO-ADVISOR Miss.Siriayaporn Saengaroon
DEGREE B.Sc. MAJOR Applied Physics
UNIVERSITY Mahasarakham University , **DATE** 2007

ABSTRACT

The purpose of this project is to study the performance of circuit in IC PWM with this project to build PWM circuit from general electronics component. To build circuit easy test to be defective and best elastic. To test of the circuit, make circuit switching power supply that can output of 12 Volt and maximum power is 12 Watt. So this use in electric component with voltage at 12 Volt or less than and it require 12 watt of power.



สารบัญ

	หน้า
กิตติกรรมประกาศ	๑
บทคัดย่อภาษาไทย	๒
บทคัดย่อภาษาอังกฤษ.....	๓
สารบัญ.....	๔
สารบัญภาพประกอบ.....	๕๙
สารบัญตาราง.....	๖๙
 บทที่	
1. บทนำ.....	1
1.1 ความเป็นมาของโครงงาน.....	1
1.2 วัตถุประสงค์ของโครงงาน.....	2
1.3 ขอบเขตของการศึกษา.....	2
1.4 ประโยชน์ที่ได้รับ.....	2
 2. ทฤษฎีที่เกี่ยวข้อง.....	3
2.1 บทนำเกี่ยวกับเพาเวอร์ซัพพลาย.....	3
2.2 คอนเวอร์เตอร์(Converter).....	4
2.3 วงจรควบคุม (Control).....	14
2.4 การจะเลือกใช้คอนเวอร์เตอร์.....	19
2.5 ข้อกำหนดคุณสมบัติในการออกแบบของสวิชซิ่งเพาเวอร์ซัพพลาย	20
2.6 วงจรอินพุตและเอาต์พุต.....	22
 3. วิธีการดำเนินงานและการออกแบบ	30
วิธีการดำเนินงาน.....	30
การทำงานของสวิชซิ่งเพาเวอร์ซัพพลาย.....	30



สารบัญ (ต่อ)

บทที่	หน้า
3.1 ภาคค้อนเวอร์เตอร์.....	32
3.2 วงจรสร้างสัญญาณฟินเลื่อย.....	35
3.3 วงจรกำหนดค่าตีสูงสุด.....	38
3.4 วงจร Error Amp.....	40
3.5 วงจร PWM.....	41
3.6 วงจรจ่ายไฟ.....	42
 4. ผลการทดลอง.....	 47
4.1 วงจรสร้างสัญญาณฟินเลื่อย.....	47
4.2 วงจรกำหนด $T_{ON(MAX)}$	49
4.3 การทดสอบค่าค่าปัจจิตร์ในวงจรเรียงกระแสและวงจรกรองแรงดัน ด้านอินพุต.....	53
4.4 วงจรจ่ายไฟตรง +12V,+5Vและ-5V.....	56
4.5 วงจรสวิตชิ่งเพาเวอร์ชัพพลาบที่ได้รับการออกแบบ.....	59
 5. สรุปผลการทดลองและข้อเสนอแนะ.....	 63
 บรรณานุกรม.....	 64
ภาคผนวก.....	66
ภาคผนวก ก.	67
ภาคผนวก ข.	86
ภาคผนวก ค.	90
ประวัติผู้วิจัย.....	93

สารบัญภาพประกอบ

ภาพประกอบ	หน้า
2.1 องค์ประกอบพื้นฐานของสวิตชิ่งเพาเวอร์ซัพพลาย.....	4
2.2 วงจรพื้นฐานของฟลายแบคค่อนเวอร์เตอร์.....	5
2.3 ลักษณะกระแสและแรงดันของวงจรค่อนเวอร์เตอร์ในช่วงขณะทำงาน.....	6
2.4 วงจรอาร์ทีมาสของฟอร์เวิร์คค่อนเวอร์เตอร์.....	8
2.5 ลักษณะการทำงานกระแสและแรงดันในวงจรช่วงขณะทำงาน.....	9
2.6 วงจรพื้นฐานของพุช-พูลค่อนเวอร์เตอร์.....	10
2.7 วงจรพื้นฐานของไฮล์ฟบริดจ์ค่อนเวอร์เตอร์.....	11
2.8 วงจรพุช-พูลค่อนเวอร์เตอร์.....	12
2.9 วงจรพื้นฐานของฟูลบริดจ์ค่อนเวอร์เตอร์.....	13
2.10 วงจรพื้นฐานสำหรับการควบคุมในโหมดควบคุมจากแรงดัน.....	15
2.11 ลักษณะความกว้างของพัลส์จาก PWM.....	16
2.12 วงจรพื้นฐานสำหรับการควบคุมในโหมดควบคุมจากกระแส.....	17
2.13 แสดงวงจรควบคุมเมื่อตัดตัวขยายความแตกต่างออก.....	17
2.14 ลักษณะการทำงานที่จุดต่างๆ ของวงจร.....	19
2.15 ตัวอย่างการต่อ LC พลัสด์เตอร์เพื่อลดสัญญาณ RFI.....	23
2.16 ภาคเอาท์พุตของสวิตชิ่งเพาเวอร์ซัพพลายแบบฟลายแบคค่อนเวอร์เตอร์.....	24
2.17 ภาคเอาท์พุตของสวิตชิ่งเพาเวอร์ซัพพลายแบบฟอร์เวิร์คค่อนเวอร์เตอร์.....	25
2.18 ภาคเอาท์พุตของสวิตชิ่งเพาเวอร์ซัพพลายแบบพุช-พูล ,ไฮล์ฟบริดจ์ และฟูลบริดจ์ ค่อนเวอร์เตอร์.....	25
2.19 วงจร PWM ที่ใช้ในสวิตชิ่งเพาเวอร์ซัพพลาย แบบฟลายแบคค่อนเวอร์เตอร์.....	27
2.20 วงจรพื้นฐานของการสร้าง PWM.....	28
3.1 ผังการทำงานของสวิตชิ่งเพาเวอร์ซัพพลาย.....	31
3.2 ความสัมพันธ์ระหว่างแรงดันที่ตอกคร่อมตัวเก็บประจุกับเวลา.....	35

สารบัญภาพประกอบ(ต่อ)

ภาพประกอบ	หน้า
3.3 องค์ประกอบของวงจรสร้างสัญญาณฟินเดือຍ.....	36
3.4 วงจรจ่ายกระแสคงที่.....	36
3.5 วงจรสร้างสัญญาณฟินเดือຍที่ใช้ในโครงงาน.....	38
3.6 วงจรกำหนด D_{MAX}	39
3.7 สัญญาณเอาด้พุทธของวงจรกำหนด D_{MAX} (CH2)	39
3.8 วงจร <i>errors Amp</i> ที่ออกแบบเรียบร้อยแล้ว.....	40
3.9 วงจร <i>PWM</i> ที่ใช้งานจริงในโครงงาน (ข) ลักษณะสัญญาณที่จุดต่างๆ.....	41
3.10 วงจรจ่ายไฟ +12V , +5V และ -5V	42
3.11 การทำงานของไอซี 555 ในการผลิตพัลส์ที่มีค่าความชันใช้เคิลประมาณ 50 %.....	43
3.12 การทำงานของวงรปีนแรงดันเพื่อกำเนิดไฟ -10 V โดยไอซี Timer 555.....	45
4.1 วงจรสร้างสัญญาณฟินเดือຍที่ใช้ในโครงงาน.....	47
4.2 ความสัมพันธ์ระหว่างความถี่ที่สร้างได้กับกระแสที่ใช้ในการชาร์ต ตัวเก็บประจุค่าต่างๆ.....	49
4.3 วงจรทดสอบอปเปอเรปเพื่อนำมาใช้เป็นคอมพาราเตอร์.....	50
4.4 ค่าแรงดันอ้างอิงจากการคำนวณกับการทดลองเมื่อนำอปเปอเรป เบอร์ NE5532 เป็นคอมพาราเตอร์.....	51
4.5 ค่าแรงดันอ้างอิงจากการคำนวณกับการทดลองเมื่อใช้อปเปอเรป เบอร์ LM 393 เป็นคอมพาราเตอร์.....	53
4.6 วงจรเรียงกระแสและกรองแรงดัน.....	54
4.7 ความสัมพันธ์ระหว่างค่าความจุของตัวเก็บประจุค่าต่างๆกับแรงดันเอาท์พุต.....	55
4.8 ความสัมพันธ์ระหว่างค่าความจุของตัวเก็บประจุค่าต่างๆกับแรงดันริปปีล.....	55
4.9 วงจรจ่ายไฟตรง +12V,+5Vและ-5V.....	56
4.10 ความสัมพันธ์ระหว่าง I กับ V_{output} ของวงจรจ่ายแรงดันไฟ +12 V.....	58
4.11 ความสัมพันธ์ระหว่าง I กับ V_{output} ของวงจรจ่ายแรงดันไฟ -5 V.....	58

สารบัญภาพประกอบ(ต่อ)

ภาพประกอบ	หน้า
4.12 ความสัมพันธ์ระหว่าง I กับ V_{output} ของวงจรชั้ยแรงดันไฟ +5V.....	59
4.13 วงจรสวิচซึ่งที่ได้รับการออกแบบ	60
4.14 ความสัมพันธ์ระหว่างแรงดันอินพุตกับแรงดันเอาท์พุต.....	62

สารบัญตาราง

ตาราง	หน้า
4.1 ค่ากระแสในการชาร์ตตัวเก็บประจุค่าต่างๆ เมื่อต้องการ สัญญาณที่มีความถี่เพิ่มขึ้น.....	48
4.2 แรงดันอ้างอิงที่วัดได้เมื่อเปลี่ยนค่าคิวต์ไซเกลต์ โดยใช้อปแอมป์ เบอร์ NE5532 เป็นคอมพาราเตอร์.....	50
4.3 แรงดันอ้างอิงที่วัดได้เมื่อเปลี่ยนค่าคิวต์ไซเกลต์ โดยใช้อปแอมป์ เบอร์ LM393 เป็นคอมพาราเตอร์.....	52
4.4 ผลการทดลองของเรียงกระแสและกรองแรงดัน เมื่อ $R_L = 100k\Omega$	54
4.5 ผลการทดลองของรั้งไฟตรง +12V,+5V และ -5V ที่ค่าโหลดต่างๆ.....	57
4.6 ผลการทดสอบแรงดันอาดีพุต (ทดสอบที่กำลัง 6 วัตต์).....	61

บทที่1

บทนำ

1.1 ความเป็นมาและความสำคัญ

โดยปกติงานค้านอิเล็กทรอนิกส์แรงดันไฟฟ้าที่วงจรใช้ในการทำงานจะเป็นแรงดันไฟฟ้ากระแสตรงที่มีค่าคงตัว ดังนั้นจึงมีความจำเป็นที่จะต้องมีอุปกรณ์สำหรับแปลงแรงดันไฟฟ้ากระแสสลับให้เป็นแรงดันไฟฟ้ากระแสตรงที่มีแรงดันไฟฟ้าที่เหมาะสมกับวงจร ซึ่งอุปกรณ์ดังกล่าวมีอยู่สองแบบคือ แหล่งจ่ายไฟแบบเชิงเส้น (Linear power supply) และแหล่งจ่ายแบบสวิตชิ่งเพาเวอร์ซัพพลาย (Switching power supply)

แหล่งจ่ายไฟแบบเชิงเส้น เป็นวงจรที่สามารถถอดออกแบบได้จ่าย อุปกรณ์ที่ใช้ในวงจนี้มีจำนวนน้อย แต่ก็มีข้อเสียคือ มีประสิทธิภาพต่ำ ย่านการรับแรงดันไฟฟ้ากระแสสลับแคบทำให้วงจรทำงานผิดพลาดหรือพังเสียหายได้ในกรณีที่ไฟตกหรือไฟเกิน หม้อแปลงที่ใช้มีขนาดใหญ่ซึ่งทำให้แหล่งจ่ายไฟประเภทนี้มีขนาดใหญ่และมีน้ำหนักค่อนข้างมาก

สวิตชิ่งเพาเวอร์ซัพพลาย เป็นแหล่งจ่ายไฟชนิดหนึ่งที่นิยมนิยมนำมาใช้กับงานค้านอิเล็กทรอนิกส์เนื่องจากเป็นแหล่งจ่ายไฟตรงที่สามารถแปลงแรงดันไฟฟ้ากระแสสลับแรงดันสูง ให้เป็นไฟฟ้ากระแสตรงแรงดันต่ำ

เมื่อพิจารณาเพาเวอร์ซัพพลายทั้งสองแบบพบว่ามีการใช้หม้อแปลงในการลดทอนแรงดันสูงให้เป็นแรงดันต่ำเข่นเดียวกัน แต่สวิตชิ่งเพาเวอร์ซัพพลายจะใช้หม้อแปลงที่มีขนาดเล็ก และน้ำหนักน้อย เมื่อเทียบกับแหล่งจ่ายไฟเชิงเส้น อีกทั้งสวิตชิ่งเพาเวอร์ซัพพลายยังมีประสิทธิภาพสูงกว่า

ในปัจจุบันสวิตชิ่งเพาเวอร์ซัพพลายได้เข้ามามีบทบาทกับชีวิตเรояย่างมาก เครื่องใช้อิเล็กทรอนิกส์ขนาดเล็กซึ่งต้องการแหล่งจ่ายไฟที่มีกำลังสูงแต่มีขนาดเล็ก เช่น เครื่องคอมพิวเตอร์ เครื่องโทรศัพท์ และ โทรศัพท์ จำเป็นจะต้องใช้สวิตชิ่งเพาเวอร์ซัพพลาย แนวโน้มการนำสวิตชิ่งเพาเวอร์ซัพพลายมาใช้ในเครื่องใช้อิเล็กทรอนิกส์ทุกประเภทจึงเป็นไปได้สูง อีกทั้งตามท้องตลาดที่มีขายนั้นมีเพียงบางส่วนเท่านั้นอาจจะไม่ตรงกับความต้องการของผู้ที่ออกแบบวงจรเฉพาะทางซึ่งได้พัฒนาวงจรของตน ดังนั้นจึงจำเป็นที่จะต้องสร้างสวิตชิ่งเพาเวอร์ซัพพลายเอง ดังนั้นการศึกษาหลักการทำงานและการออกแบบสวิตชิ่งเพาเวอร์ซัพพลายจึงเป็นสิ่งจำเป็นที่ไม่อาจหลีกเลี่ยงได้ สำหรับผู้ที่เกี่ยวข้องกับงานอิเล็กทรอนิกส์ทุกประเภท



1.2. วัตถุประสงค์

สามารถออกแบบและสร้างแหล่งจ่ายไฟฟ้ากระแสตรงแบบสวิตชิ่งได้

1.3. ขอบเขตในการศึกษา

สามารถออกแบบและสร้างแหล่งจ่ายไฟฟ้ากระแสตรงแบบสวิตชิ่งแรงดันคงที่ 12 โวลต์ กำลังสูงสุด 12 วัตต์

1.4. ประโยชน์ที่คาดว่าจะได้รับ

1.4.1 สามารถนำความรู้พื้นฐานด้านอิเล็กทรอนิกส์มาใช้ในการออกแบบวงจรแหล่งจ่ายไฟกระแสตรงแบบสวิตชิ่ง

1.4.2 สามารถนำความรู้และทักษะกระบวนการนำไปสู่การพัฒนาวงจรแหล่งจ่ายไฟกระแสตรงแบบสวิตชิ่งในระดับอุดสาหกรรมต่อไป



บทที่ 2

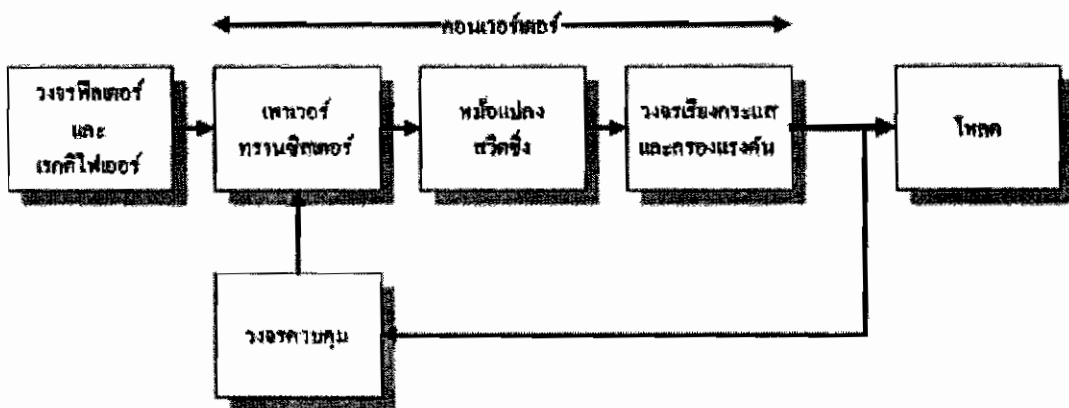
กฤษฎีที่เกี่ยวข้อง

2.1 บทนำเกี่ยวกับเพาเวอร์ชัพพลาย

สวิตซิ่งเพาเวอร์ชัพพลาย เป็นแหล่งจ่ายไฟตรงค่าแรงดันแบบหนึ่ง และสามารถเปลี่ยนแรงดันไฟจากไปกลับแรงดันสูงให้เป็นแรงดันไฟตรงค่าต่ำ เพื่อใช้ในงานอิเล็กทรอนิกส์ได้ เช่นเดียวกับแหล่งจ่ายไฟเชิงเส้น ถึงแม้เพาเวอร์ชัพพลายทั้งสองแบบจะต้องมีการใช้มือแปลงในการลดทอนแรงดันสูงให้เป็นแรงดันต่ำ เช่นเดียวกัน แต่สวิตซิ่งเพาเวอร์ชัพพลายจะต้องการใช้มือแปลงที่มีขนาดเล็ก และน้ำหนักน้อย เมื่อเทียบกับแหล่งจ่ายไฟเชิงเส้น อีกทั้งสวิตซิ่งเพาเวอร์ชัพพลายยังมีประสิทธิภาพสูงกว่าอีกด้วย

ซึ่งข้อได้เปรียบของสวิตซิ่งเพาเวอร์ชัพพลายเมื่อเปรียบเทียบกับแหล่งจ่ายไฟเชิงเส้นคือ ประสิทธิภาพที่สูง ขนาดเล็ก และน้ำหนักเบากว่าแหล่งจ่ายไฟเชิงเส้น เนื่องจากแหล่งจ่ายไฟเชิงเส้นใช้มือแปลงความถี่ต่ำ จึงมีขนาดใหญ่ และน้ำหนักมาก ขณะที่งานจะมีแรงดันและกระแสผ่านตัว มือแปลงตลอดเวลา กำลังงานสูญเสียที่เกิดจากหม้อแปลงจึงมีค่าสูง การคงค่าแรงดันแหล่งจ่ายไฟ เชิงเส้นส่วนมากจะใช้เพาเวอร์ทรานซิสเตอร์ต่ออนุกรมที่เอาต์พุตเพื่อจ่ายกระแสและคงค่าแรงดัน กำลังงานสูญเสียในรูปความร้อนจะมีค่าสูงและต้องใช้แผ่นระบายความร้อนขนาดใหญ่ซึ่งกินเนื้อที่ เมื่อเพาเวอร์ชัพพลายต้องจ่ายกำลังงานสูงๆ จะทำให้มีขนาดใหญ่และมีน้ำหนักมาก ปกติแหล่งจ่ายไฟ เชิงเส้นจะมีประสิทธิภาพประมาณ 30% หรืออาจทำได้สูงถึง 50% ในบางกรณี ซึ่งนับได้ว่าค่อนข้างดี เมื่อเปรียบเทียบกับสวิตซิ่งเพาเวอร์ชัพพลายซึ่งมีประสิทธิภาพในช่วง 65%-80% สวิตซิ่งเพาเวอร์ชัพพลายมีช่วงเวลาโคลสต์อพประมาณ 20×10^{-3} ถึง 50×10^{-3} วินาที ในขณะที่แหล่งจ่ายไฟเชิงเส้นจะทำได้เพียงประมาณ 2×10^{-3} วินาที ซึ่งมีผลต่อการขัดหาแหล่งจ่ายไฟสำรองเพื่อป้องกันการหยุดทำงาน ของอุปกรณ์ที่ใช้กับเพาเวอร์ชัพพลายเมื่อเกิดการหยุดจ่ายแรงดันไฟกลับ รวมทั้งสวิตซิ่งเพาเวอร์ชัพพลายสามารถทำงานได้ในช่วงแรงดันอินพุตค่อนข้างกว้างซึ่งคงสามารถทำงานได้เมื่อเกิดกรณีแรงดันไฟตกอีกด้วย อย่างไรก็ตาม สวิตซิ่งเพาเวอร์ชัพพลายจะมีเสถียรภาพในการทำงานที่ต่ำกว่า และก่อให้เกิดสัญญาณรบกวนได้สูงเมื่อเปรียบเทียบกับแหล่งจ่ายไฟเชิงเส้น รวมทั้งสวิตซิ่งเพาเวอร์ชัพพลายยังมีความซับซ้อนของวงจรมากกว่าและมีราคาสูง ที่กำลังงานต่ำๆ แหล่งจ่ายไฟเชิงเส้นจะประยุคกว่าและให้ผลดีเท่าเทียมกัน ดังนั้นสวิตซิ่งเพาเวอร์ชัพพลายจึงมักนิยมใช้กันในงานที่ต้องการกำลังงานตั้งแต่ 20 วัตต์ขึ้นไปเท่านั้น

สวิตซิ่งเพาเวอร์ซัพพลายโดยทั่วไปมีองค์ประกอบพื้นฐานที่คล้ายคลึงกัน และไม่ซับซ้อนมากนัก ดังแสดงในภาพประกอบ 1 (เทคนิคและการออกแบบสวิตซิ่งเพาเวอร์ซัพพลาย. 2538: 2) และ พนวั่งจรอโนเวอร์เตอร์ในวงจรสวิตซิ่งเพาเวอร์ซัพพลายมีความสำคัญมากเนื่องจากทำหน้าที่ ลดทอนแรงดันและคงค่าแรงดันเอาต์พุต



ภาพประกอบ 2.1 องค์ประกอบพื้นฐานของสวิตซิ่งเพาเวอร์ซัพพลาย

ภาพประกอบ 2.1 แสดงส่วนประกอบด้านๆ ของวงจรสวิตซิ่ง โดยแรงดันไฟฟ้ากระแสสลับค่า สูงจะผ่านเข้ามาทางวงจร RFI ฟิลเตอร์ เพื่อกรองสัญญาณรบกวนและแปลงเป็นไฟฟ้ากระแสตรงค่า สูงด้วยจเรียงกระแสและกรองแรงดัน เพาเวอร์ทรานซิสเตอร์จะทำหน้าที่ตัดต่อแรงดันเป็นช่วงๆ ที่ความถี่ประมาณ 20-200 KHz จากนั้นจะผ่านไปยังหม้อแปลงสวิตซิ่งเพื่อลดแรงดันลง เอาต์พุตของ หม้อแปลงจะต้องกับวงจรเรียงกระแส และกรองแรงดันให้เรียบ การคงค่าแรงดันจะทำได้โดยการ ป้อนกลับค่าแรงดันที่เอาต์พุตกลับมาข้างจรวจความคุณ เพื่อควบคุมให้เพาเวอร์ทรานซิสเตอร์นำกระแส มากขึ้นหรือน้อยลงตามการเปลี่ยนแปลงของแรงดันที่เอาต์พุต ซึ่งจะมีผลทำให้แรงดันเอาต์พุตคงที่ได้

2.2 คอนเวอร์เตอร์ (Converter)

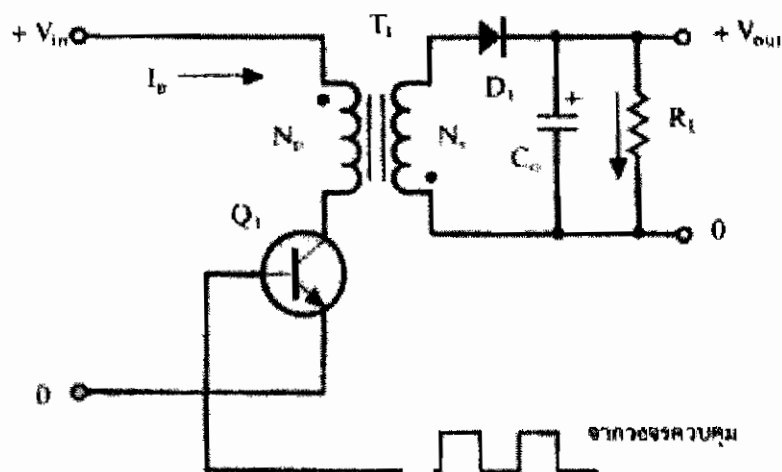
คอนเวอร์เตอร์นับว่าเป็นส่วนสำคัญที่สุดในสวิตซิ่งเพาเวอร์ซัพพลาย มีหน้าที่ลดทอน แรงดันไฟตรงค่าสูงลงมาเป็นแรงดันไฟตรงค่าต่ำ และสามารถคงค่าแรงดันได้ คอนเวอร์เตอร์มีหลาย แบบขึ้นอยู่กับลักษณะการจัดวงจรภายใน โดยคอนเวอร์เตอร์แต่ละแบบจะมีข้อดีข้อเสียที่แตกต่างกัน ออกไป ในที่นี้จะกล่าวถึงเฉพาะคอนเวอร์เตอร์ที่นิยมใช้เป็นในอุตสาหกรรมของสวิตซิ่งเพาเวอร์ซัพ พลาย คือ

1. ฟลายแบนคคอนเวอร์เตอร์ (Flyback converter)
2. ฟอร์เวิร์ดคอนเวอร์เตอร์ (Forward converter)
3. พุช-พูลคอนเวอร์เตอร์ (Push-Pull converter)
4. ฮาล์ฟบริดจ์คอนเวอร์เตอร์ (Half-Bridge converter)
5. ฟูลบริดจ์คอนเวอร์เตอร์ (Full-Bridge converter)

คอนเวอร์เตอร์ทั้ง 5 แบบนี้ มีลักษณะการทำงานที่ไม่แตกต่างกันมากนักขึ้นอยู่กับลักษณะของการใช้งาน โดยแต่ละประเภทยังสามารถแบ่งย่อยได้อีก โดยการเพิ่มรายละเอียดและเงื่อนไขของ การควบคุมและการทำงานตามความต้องการของผู้ออกแบบ ซึ่งในที่นี้จะกล่าวถึงแต่เพียงการทำงานพื้นฐาน

2.2.1 ฟลายแบนคคอนเวอร์เตอร์

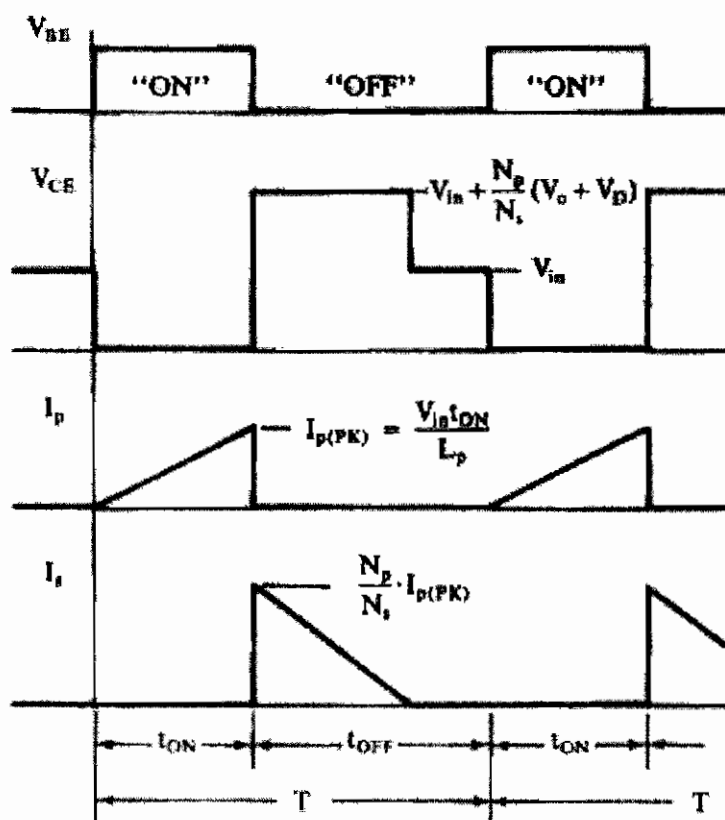
ฟลายแบนคคอนเวอร์เตอร์เป็นคอนเวอร์เตอร์ที่เน้นไปที่การสร้างสวิตชิ่งเพาเวอร์ซัพ พลายน้ำที่มีกำลังข้าออกในช่วง 50 วัตต์ ถึง 150 วัตต์ ซึ่งใช้อุปกรณ์น้อยและมีราคาถูก แต่ฟลายแบนคคอนเวอร์เตอร์ มีข้อเสีย คือแรงดันเอาต์พุตที่ได้จะมีแรงดันกระเพื่อม (ripple) ค่อนข้างสูงและเมื่อใช้กับ เพาเวอร์ทรานซิสเตอร์ ในวงจรต้องทนแรงดันได้สูงประมาณ 800 โวลต์ ถึง 1000 โวลต์



ภาพประกอบ 2.2 วงจรพื้นฐานของฟลายแบนคคอนเวอร์เตอร์

จากภาพประกอบ 2.2 (เทคนิคและการออกแบบสวิตชิ่งเพาเวอร์ซัพ พลายน้ำ 2538 : 12) แสดงวงจรพื้นฐานของฟลายแบนคคอนเวอร์เตอร์ โดยเพาเวอร์ทรานซิสเตอร์ Q_1 ในฟลายแบนคคอน

เวอร์เตอร์จะทำงานในลักษณะเป็นสวิตช์ และจะนำกระแสตามคำสั่งของพัลส์ตี่เหลี่ยมที่ป้อนให้ทางขาเบส เนื่องจากหม้อแปลง T_1 จะกำหนดค่าปัจจุบันและทุติยภูมิให้มีลักษณะกลับเพื่อกันอยู่ ดังนี้เมื่อ Q_1 นำกระแส ไดโอด D_1 จึงอยู่ในลักษณะถูกใบแอสกัลันและไม่นำกระแส จึงมีการสะสนับพลังงานที่beck ไฟฟาร์ของหม้อแปลง T_1 แทน เมื่อ Q_1 หยุดนำกระแส สามารถแม่เหล็ก T_1 ยุบตัวทำให้เกิดการกลับขั้วแรงดันที่beck ปัจจุบันและทุติยภูมิ D_1 ก็จะอยู่ในลักษณะถูกใบแอสกัลันและตรง พลังงานที่สะสนับใน Beck ไฟฟาร์ของหม้อแปลงก็จะถูกถ่ายเทออกไปยังเดคันตาร์ และมีกระแสไหลผ่านไดโอด D_1 ไปยังตัวเก็บประจุआต์พุด C_O และโหลดได้ ค่าของแรงดันที่आต์พุดของคอนเวอร์เตอร์จะขึ้นอยู่กับค่าความถี่การทำงานของ Q_1 ช่วงเวลานำกระแสของ Q_1 อัตราส่วนจำนวนรอบของหม้อแปลงและค่าของแรงดันที่อินพุต โดยจะพบลักษณะกระแสและแรงดันของวงจรคอนเวอร์เตอร์ในช่วงขณะทำงานซึ่งแสดงดังภาพประกอบ 2.3 (เทคนิคและการออกแบบสวิตชิ่งเพาเวอร์ชัพพลา.y. 2538 : 15)



ภาพประกอบ 2.3 ลักษณะกระแสและแรงดันของวงจรคอนเวอร์เตอร์ในช่วงขณะทำงาน

จากภาพประกอบ 2.3 เมื่อพิจารณาของทำงานอยู่ในสถานะคงที่ ค่าแรงดันเอาต์พุตที่ได้จากค่อนเวอร์เตอร์นี้ค่าดังสมการ

$$V_{out} = \frac{t_{ON} \times (N_s / N_p)(V_{in} - V_{CE(sat)})}{(T - t_{ON})} - V_D \quad (2.1)$$

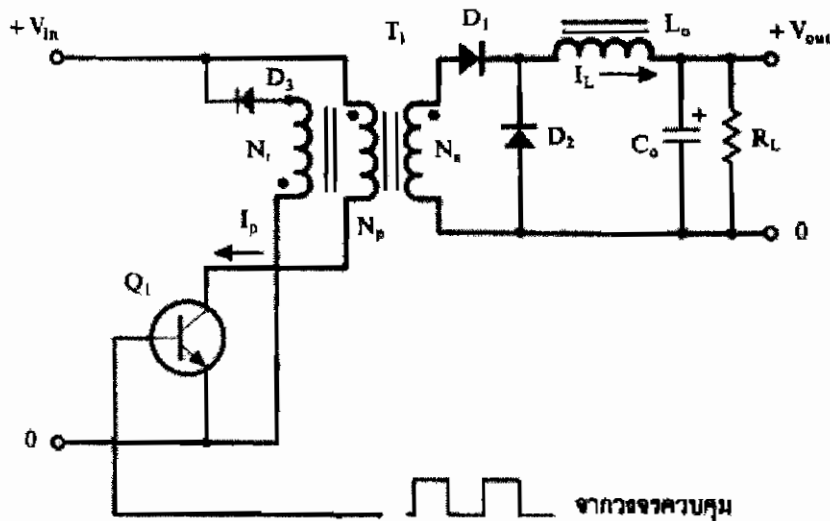
โดย

T	ค่าเวลาการทำงานของ Q_1 เป็นวินาที
t_{ON}	ช่วงเวลา
N_p	จำนวนรอบของคลปั๊มน้ำ
N_s	จำนวนรอบของคลติดภูมิ
V_{out}	แรงดันที่เอาต์พุตของค่อนเวอร์เตอร์ เป็นโวลต์
V_{in}	แรงดันที่อินพุตของค่อนเวอร์เตอร์ เป็นโวลต์
$V_{CE(sat)}$	แรงดันตกคร่อม Q_1 ขณะนำกระแสที่บุคคลอื่นตัว เป็นโวลต์
V_D	แรงดันตกคร่อมไคโอด D_1 ขณะนำกระแส เป็นโวลต์

2.2.2 พ่อร์เวิร์คค่อนเวอร์เตอร์

ฟอร์เวิร์คค่อนเวอร์เตอร์หมายความว่าสำหรับสวิตซ์เพาเวอร์ซัพพลายที่ให้กำลังงานในช่วง 100 วัตต์ ถึง 200 วัตต์ และถึงแม้ว่าจะมีค่าใช้จ่ายในการสร้างมากกว่าฟลัตแบบค่อนเวอร์เตอร์ แต่เนื่องจากค่อนเวอร์เตอร์นี้ข้อได้เปรียบทด้ายประการที่เหนือกว่าฟลัตแบบค่อนเวอร์เตอร์ดังนั้นที่กำลังงานสูงไม่เกิน 200 วัตต์ ฟอร์เวิร์คค่อนเวอร์เตอร์จึงเป็นค่อนเวอร์เตอร์อีกแบบหนึ่งที่นิยมใช้ในสวิตซ์เพาเวอร์ซัพพลายและพบว่าฟอร์เวิร์คค่อนเวอร์เตอร์นี้ลักษณะใกล้เคียงกับฟลัตแบบค่อนเวอร์เตอร์ แต่พื้นฐานการทำงานจะแตกต่างกัน คือหน้าแปลงในฟอร์เวิร์คค่อนเวอร์เตอร์จะทำหน้าที่ส่งผ่านพลังงานในช่วงที่เพาเวอร์ทรานซิสเตอร์นำกระแสต่างจากฟลัตแบบค่อนเวอร์เตอร์ซึ่งหน้าที่แปลงจะสะสมพลังงานในช่วงที่เพาเวอร์ทรานซิสเตอร์นำกระแสแล้วจึงถ่ายเทพลังงานออกไปขณะที่เพาเวอร์ทรานซิสเตอร์หยุดนำกระแส ซึ่งแสดงดังภาพประกอบ 2.4 (เทคนิคและการออกแบบ สวิตซ์เพาเวอร์ซัพพลาย. 2538 : 27)

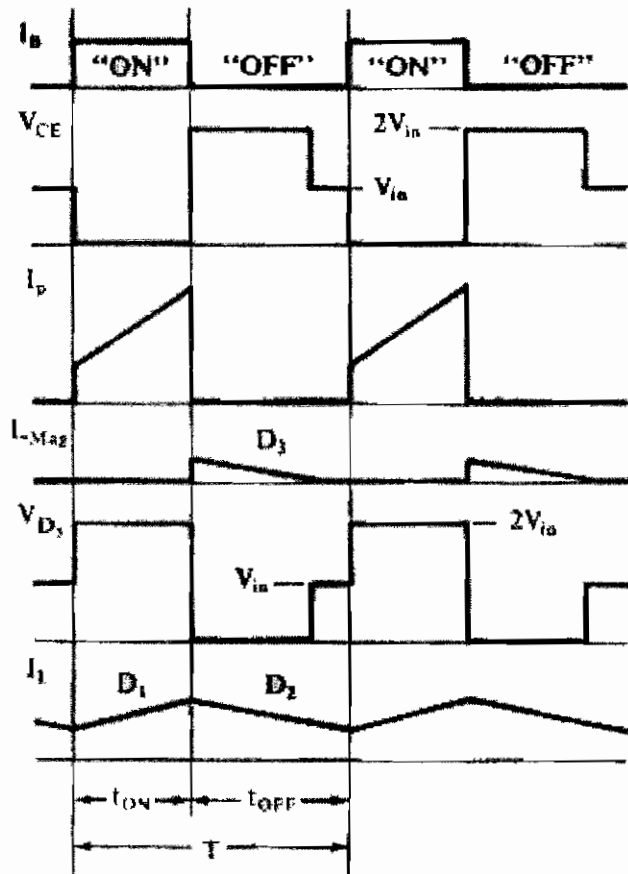




ภาพประกอบ 2.4 วงจรการทำงานของฟอร์เวิร์ดคอนเวอร์เตอร์

จากภาพประกอบ 2.4 แสดงวงจรพื้นฐานของฟอร์เวิร์ดคอนเวอร์เตอร์ โดยเพาเวอร์ทรานซิสเตอร์ Q_1 จะทำงานโดยนำกระแสและหยุดนำกระแสสลับกันไป เมื่อ Q_1 นำกระแสจะมีกระแส I_p ไหลผ่านขดปูนภูมิ N_p และตัวมันเนื่องจากหม้อแปลง T_1 ในฟอร์เวิร์ดคอนเวอร์เตอร์จะกำหนดขนาดปูนภูมิและทุติยภูมิให้มีเฟสตรงกัน ดังนั้นไดโอด D_1 จึงถูกใจแอกสตรองทำให้มีกระแสไหลที่ทุติยภูมิ N_s ผ่านตัวหนี่บวน L_o ไปยังตัวเก็บประจุआर्टपुट C_o และโหลดได้ขณะที่มีกระแสไหลผ่าน L_o จะมีการสะส่วนพลังงานไว้ในตัวมันตัวย่ ส่วนไดโอด D_2 จะอยู่ในลักษณะไม้แอสกัลันจึงไม่มีการนำกระแสเข้าเดียวกันไดโอด D_3 เนื่องจากคดีเมกเน่ไดซิ่ง N_s ถูกพันไว้ในทิศตรงข้ามกับขดปูนภูมิ N_p ไดโอด D_3 จึงอยู่ในลักษณะไม้แอสกัลัน และไม่มีกระแสไหล เมื่อ Q_1 หยุดนำกระแสไดโอด D_1 จะถูกใจแอกสตรองและไม่มีกระแสไหลจากขดทุติยภูมิ N_s แต่ในขณะเดียวกันสามารถแม่เหล็กที่เกิดขึ้นใน L_o บุบตัวทำให้มีการกลับขั้วแรงดันที่ L_o ไดโอด D_2 จึงถูกใจแอกสตรองพลังงานที่ถูกสะสมไว้ใน L_o จะถูกถ่ายเทออกมาทำให้มีกระแสไหลผ่านไดโอด D_2 ไปยังตัวเก็บประจุ C_o และโหลดได้กระแสที่ไหลผ่านโหลดซึ่งมีลักษณะต่อเนื่อง ทั้งในช่วงที่ Q_1 นำกระแสและหยุดนำกระแสทำให้มีการกระแสเพื่อนของแรงดันที่เอาต์พุตต่ำกว่าฟลายแบคคอนเวอร์เตอร์ ในขณะที่ Q_1 หยุดนำกระแสสามารถแม่เหล็กที่ตอกค้างภายในหม้อแปลงจะมีการบุบตัวและกลับขั้วแรงดันที่ขด N_p , N_s และ N_s' ไดโอด D_3 จะอยู่ในลักษณะถูกใจแอกสตรองทำให้มีการถ่ายเทพลังงานที่เหลือค้างนี้ออกไปได้ คดลวดคีเมกเน่ไดซิ่ง N_s และไดโอด D_3 นี้มีความสำคัญมาก เพราะถ้าไม่มีการถ่ายเทพลังงานที่ตอกค้างออกไปจากขดทุติยภูมิในขณะที่ Q_1 หยุดนำกระแส เมื่อ Q_1 เริ่มน้ำกระแสอีกครั้งสามารถแม่เหล็กที่เหลืออยู่จะทำให้ Q_1 เป็นอันตรายได้ โดยจะพบลักษณะกระแสและแรงดันของวงจร

ฟอร์เวิร์คคอนเวอร์เตอร์ในช่วงขณะทำงาน ซึ่งแสดงดังภาพประกอบ 2.5 (เทคนิคและการออกแบบ
สวิตซ์เพาเวอร์ชัพพลาย. 2538 : 28)



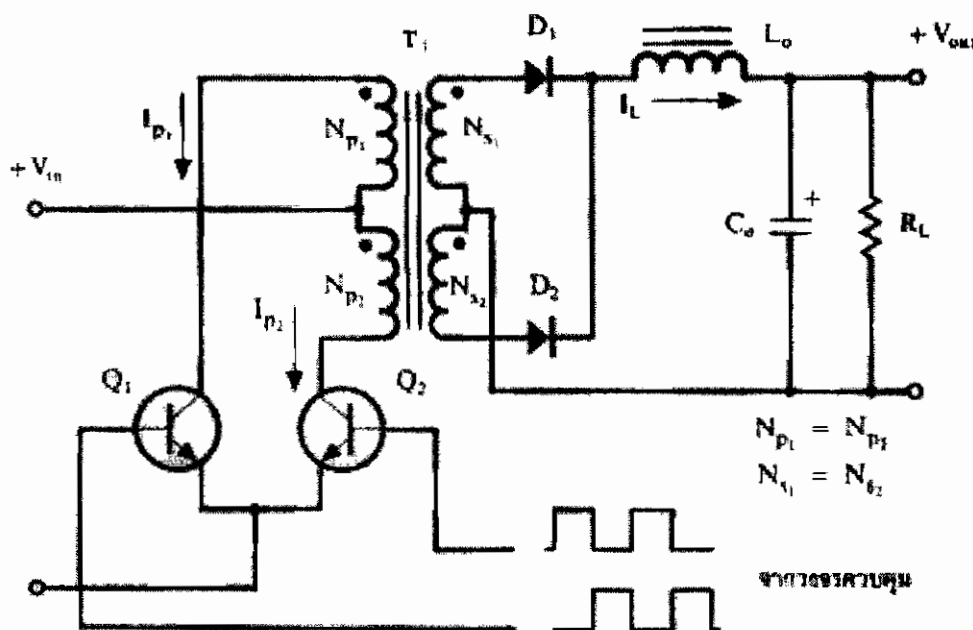
ภาพประกอบ 2.5 ลักษณะการทำงานกระแสและแรงดันในช่วงขณะทำงาน

สำหรับฟอร์เวิร์คคอนเวอร์เตอร์ เมื่อวงจรทำงานอยู่ในสภาวะคงที่ ค่าแรงดันเอาต์พุตที่ได้จากคอนเวอร์เตอร์พิจารณาได้ดังสมการ

$$V_{out} = \frac{(N_p / N_s)(V_{in} - V_{CE(sat)})t_{ON}}{T} - V_D \quad (2.2)$$

2.2.3 พุช-พุลคอนเวอร์เตอร์

การทำงานของพุช-พุลคอนเวอร์เตอร์เปรียบเสมือนการนำไฟฟ้าฟอร์เวิร์คคอนเวอร์เตอร์ส่องชุดมาต่อทำงานร่วมกัน โดยผลักกันทำงานในแต่ละครั้งเวลาในขณะกลับเฟส ทำให้พุช-พุลคอนเวอร์เตอร์สามารถจ่ายกำลังได้สูง ในช่วง 200 ถึง 1000 วัตต์ อย่างไรก็ตาม เพาเวอร์ทรานซิสเตอร์ในวงจรขังคงมีระดับแรงดันต่ำกว่าของหุ่นนำกระแสสัตอันข้างสูง เช่นเดียวกับฟอร์เวิร์คและฟลัตแบบคอนเวอร์เตอร์รวมทั้งปัญหาการเกิดการไม่สมมาตรของฟลักซ์ในแกนเฟอร์ไรต์ของวงจรทำให้เพาเวอร์ทรานซิสเตอร์พังเสียหายได้ง่าย ในปัจจุบันเทคนิคการควบคุมดูมแบบควบคุมกระแสชั่วขณะปัญหานี้ลงได้ดังนี้พุช-พุลคอนเวอร์เตอร์จึงเป็นคอนเวอร์เตอร์ที่น่าสนใจสำหรับสวิตซ์เพาเวอร์ซัพพลายที่ต้องการกำลังสูง พุช-พุลคอนเวอร์เตอร์เป็นพื้นฐานของชาล์ฟบริดจ์และฟูลบริดจ์คอน-เวอร์เตอร์ซึ่งมีการทำงานคล้ายกัน แต่มีข้อบกพร่องน้อยกว่า ดังภาพประกอบ 2.6 (เทคนิคและการออกแบบสวิตซ์เพาเวอร์ซัพพลาย. 2538 : 41)



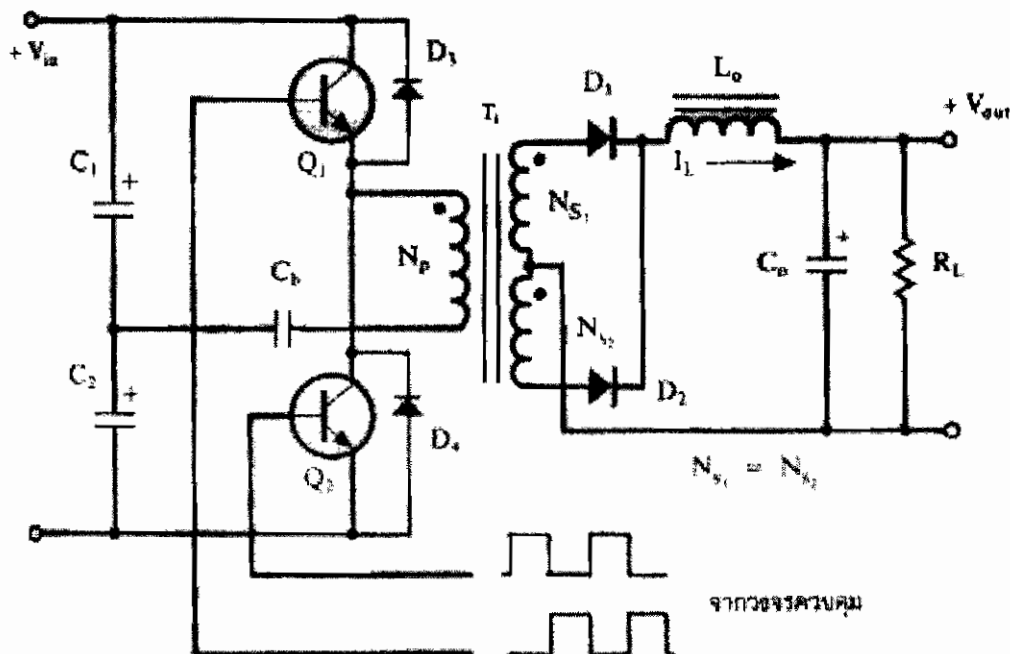
ภาพประกอบ 2.6 วงจรพื้นฐานของพุช-พุลคอนเวอร์เตอร์

จากภาพประกอบ 2.6 เป็นการแสดงการทำงานของวงจรพื้นฐานของพุช-พุลคอนเวอร์เตอร์ซึ่งจะมีลักษณะการทำงานโดยเพาเวอร์ทรานซิสเตอร์ Q_1 และ Q_2 จะสลับกันทำงานโดยสลับกันนำกระแสในแต่ละครั้งเวลา T ในขณะที่ Q_1 นำกระแสจะมีกระแส I_p ไหลผ่านคปฐมภูมิ N_{P_1} และไดโอด D_1 จะถูกไนแอสกัลับ ส่วนไดโอด D_2 จะถูกไนแอสตรอง ทำให้มีกระแสไหลที่

ขดปัจจุบันภูมิ N_{S2} ผ่านไอดีโอต D_2 และ L_o ไปยังตัวเก็บประจุ C_o และโอลด์ ในช่วงระหว่างนี้แรงดันตกคร่อม Q_2 จะมีค่าเป็น $2V_m$ (จำนวนรอบ $N_{P1} = N_{P2}$ และ $N_{S1} = N_{S2}$) ในท่านองเดียวกันขณะที่ Q_2 นำกระแส Q_1 และ D_2 จะไม่นำกระแสเนื่องจากถูกใบแผลกัด D_1 ซึ่งถูกใบแผลกรุงจะนำกระแสจากขดทุกภูมิ N_{S1} ผ่าน L_o ไปยังตัวเก็บประจุ C_o และโอลด์ จะเห็นได้ว่าในหนึ่งความเวลาการทำงาน ขดทุกภูมิจะให้กระแสไฟหล่อผ่าน L_o ได้ถึงสองครั้ง พุช-พูลคอนเวอร์เตอร์จึงสามารถจ่ายกำลังงานได้มากเป็นสองเท่าของฟอร์วิร์คคอนเวอร์เตอร์ที่ค่ากระแสสูงสุดด้านปัจจุบันนี้ค่าเท่ากัน และโอลด์มีกระแสไฟหล่อต่อเนื่องตลอดเวลา กระแสที่ได้ทางเอาต์พุตจึงค่อนข้างเรียบ

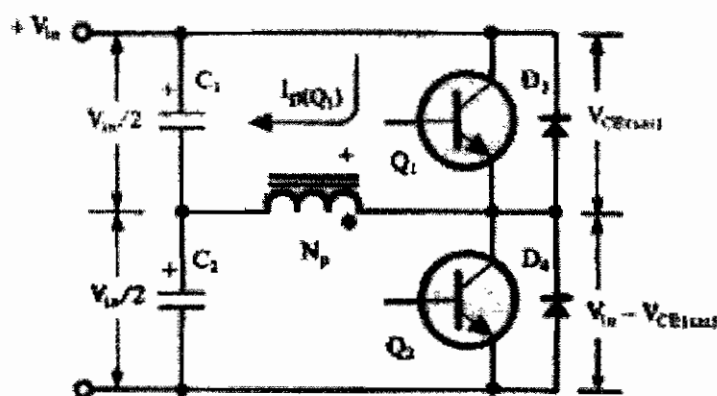
2.2.4 ยาล์ฟบริดจ์คอนเวอร์เตอร์

ยาล์ฟบริดจ์คอนเวอร์เตอร์จัดอยู่ในพวกเดียวกับพุช-พูลคอนเวอร์เตอร์ แต่ลักษณะการจัดวงจรจะทำให้เพาเวอร์ทรานซิสเตอร์ในวงจรนี้แรงดันตกคร่อมขดหุตนำกระแสเพียงคราวเดียว แรงดันอินพุตเท่านั้น ทำให้เพาเวอร์ทรานซิสเตอร์ที่ใช้มีราคาถูก และหาได้ง่ายกว่า และลดข้อจำกัดเมื่อใช้กับระบบแรงดันไฟสูง ได้มาก รวมทั้งยังไม่มีปัญหาการไม่สมมาตรของฟลักซ์ในแกนเพอร์เมต์ติของหม้อแปลงได้ด้วย

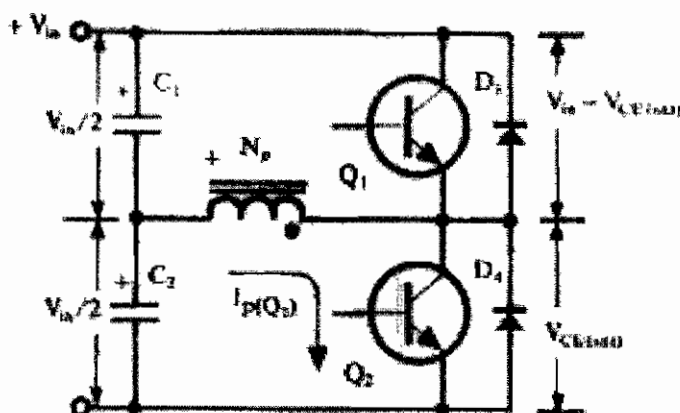


ภาพประกอบ 2.7 วงจรพื้นฐานของยาล์ฟบริดจ์คอนเวอร์เตอร์

จากภาพประกอบ 2.7 (เทคนิคและการออกแบบสวิตช์เพาเวอร์ชัพพลาย. 2538 : 55) แสดงวงจรพื้นฐานของชาล์ฟบริดจ์คอนเวอร์เตอร์ซึ่งจะมีลักษณะการทำงานโดยตัวเก็บประจุ C_1 และ C_2 ถูกกำหนดให้มีค่าเท่ากัน ต้องบุกรณกันอยู่ทางด้านอินพุตเพื่อแบ่งครึ่งแรงดัน แรงดันดังคร่อม C_1 และ C_2 จึงมีค่าเท่ากับครึ่งหนึ่งของแรงดันที่อินพุต เพาเวอร์ทรานซิสเตอร์ Q_1 และ Q_2 จะสลับกันทำงานตัวละครึ่งความเวลา เช่นเดียวกับพูช-พูลคอนเวอร์เตอร์ เพื่อให้ง่ายต่อการพิจารณา จะพิจารณาในกรณีที่ไม่มีตัวเก็บประจุ C_b ต่ออยู่ในวงจร โดยให้ปลายของขดปัจจุบัน N_p ที่ต่ออยู่กับ C_1 นั้นต่อโดยตรงเข้ากับจุดต่อระหว่างตัวเก็บประจุ C_1 และ C_2 ดังแสดงดังภาพประกอบ 2.7



(ก)



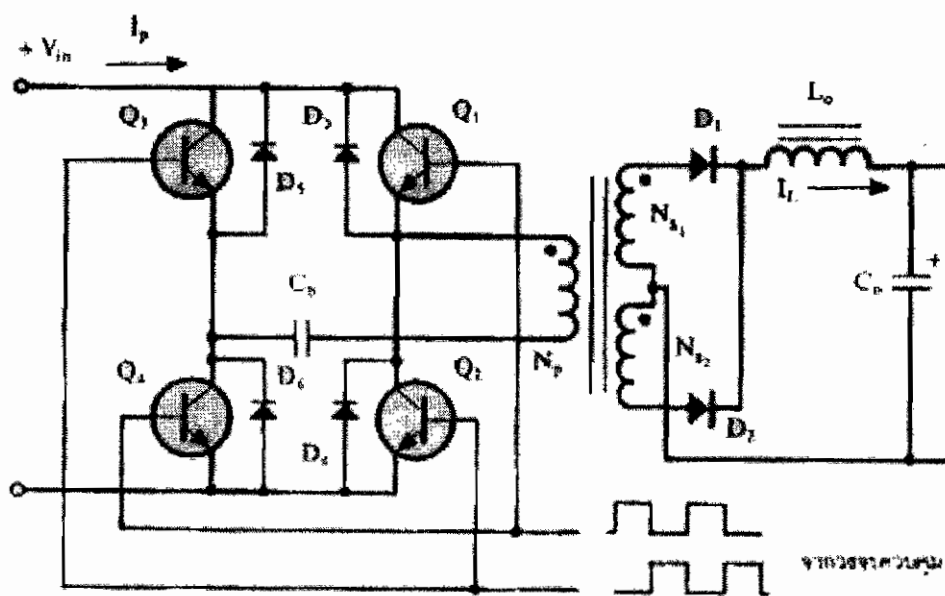
(ห)

ภาพประกอบ 2.8 (ก) วงจรพูช-พูลคอนเวอร์เตอร์ขั้นตอน Q_1 นำกระแส
 (ห) วงจรพูช-พูลคอนเวอร์เตอร์ขั้นตอน Q_2 นำกระแส

จากภาพประกอบ 2.8 (เทคนิคและการออกแบบสวิตชิ่งเพาเวอร์ซัพพลาย. 2538 : 56)แสดงวงจรพุช-พุคลコンเวอร์เตอร์ขั้นตอนที่ 1 ที่มีตัวตัดต่อ Q_1 และ Q_2 นำกระแส โดยเมื่อ ทรานซิสสเตอร์ Q_1 เริ่มน้ำกระแสและ Q_2 ไม่น้ำกระแส(ภาพประกอบ 2.8 (ก)) แรงดันตกค่อน Q_2 จะมีค่าเท่ากับ $V_{in} - V_{ce(sat)}$ ส่วนแรงดันตกคร่อมของไพร์มารี่ N_p จะมีค่าเท่ากับ $V_{c1} - V_{ce(sat)}$ หรือมีค่าเท่ากับ $(V_{in}/2) - V_{ce(sat)}$ นั้นเอง ในทำนองเดียวกัน เมื่อ Q_2 นำกระแส และ Q_1 ไม่น้ำกระแส(รูปที่ 2.8 ข) แรงดันตกคร่อม Q_1 จะมีค่าเท่ากับ $V_{in} - V_{ce(sat)}$ เช่นเดียวกัน แรงดันตกคร่อมที่คปฐมภูมิ N_p ก็ยังคงมีค่าเท่ากับ $(V_{in}/2) - V_{ce(sat)}$ เนื่องจาก $V_{ce(sat)}$ มีค่าประมาณ 0.5-1 โวลต์ ดังนั้นจะเห็นได้ว่า แรงดันตกคร่อม Q_1 และ Q_2 ขณะหยุดนำกระแสจะมีค่าเพียงแรงดันอินพุตเท่านั้น ผลของการทำงานของ Q_1 และ Q_2 ที่ด้านทุกดิจิทัลจะมีลักษณะเดียวกันกับพุช-พุคลコンเวอร์เตอร์

2.2.5 พูลบริจค่อนเวอร์เตอร์

พูลบริจค่อนเวอร์เตอร์ ขณะทำงานจะมีแรงดันตกคร่อมที่คปฐมภูมิเท่ากับแรงดันอินพุต แต่ แรงดันตกคร่อมเพาเวอร์ทรานซิสเตอร์มีค่าเพียงครึ่งหนึ่งของแรงดันอินพุตเท่านั้น และค่ากระแสสูงสุดที่เพาเวอร์ทรานซิสเตอร์แต่ละตัวนั้น มีค่าเป็นครึ่งหนึ่งของค่ากระแสสูงสุดในขาล'ฟบริจค่อนเวอร์เตอร์ที่กำลังข้าอกเท่ากัน เนื่องจากข้อจำกัดด้านเพาเวอร์ทรานซิสเตอร์ลดลงอย่างไป กำลังงานสูงสุดที่ได้จากพูลบริจค่อนเวอร์เตอร์จึงมีค่าสูง ตั้งแต่ 500 - 1000 วัตต์



ภาพประกอบ 2.9 วงจรพื้นฐานของพูลบริจค่อนเวอร์เตอร์

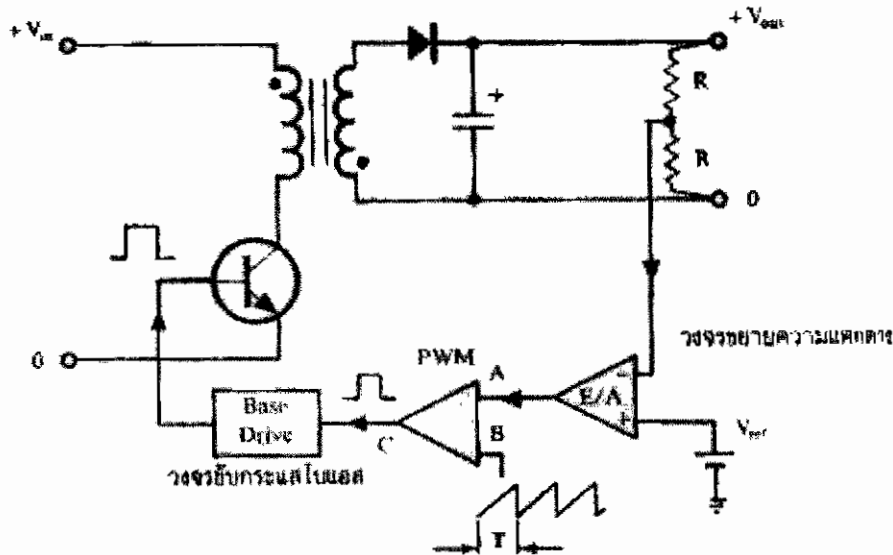
จากภาพประกอบ 2.9 (เทคนิคและการออกแบบสวิตซ์เพาเวอร์ชัพพลาญ. 2538 : 66) เป็นการแสดงการทำงานของวงจรพื้นฐานของฟูลบริจค่อนเวอร์เตอร์ ซึ่งจะมีลักษณะการทำงานโดยเพาเวอร์ทรานซิสเตอร์ทั้ง 4 ตัวจะทำงาน ซึ่งจะนำกระแสและหยุดนำกระแสสลับกันเป็นคู่ๆ ในแต่ละครึ่งเวลา Q_1 และ Q_4 จะนำกระแสพร้อมกันในครึ่งเวลา และเมื่อยกหยุดนำกระแส Q_2 และ Q_3 จะนำกระแสพร้อมกันในครึ่งเวลาที่เหลือ สลับกันเข่นนี้เรียกว่า ลักษณะการทำงานของวงจรที่ได้จึงเป็นเช่นเดียวกับยาล์ฟบริจค่อนเวอร์เตอร์ ยกเว้นแรงดันต่อกรุ่นของปฐมนิเทศมีค่าเท่ากับ $V_m - 2V_{ce(sat)}$ ดังนั้นผลของการทำงานของวงจรจึงเหมือนกับผลที่ได้จากพุช-พูด ค่อนเวอร์เตอร์ นั้นเอง ส่วนตัวเก็บประจุบล็อกกิ้ง C_b จะมีผลเช่นเดียวกับวงจรยาล์ฟบริจค่อนเวอร์เตอร์ จะเห็นได้ว่าแรงดันที่ต่อกรุ่น Q_1 และ Q_4 จะมีหยุดนำกระแสและมีค่าเท่ากับ $V_{in} - V_{ceQ2(sat)}$ และ $V_{in} - V_{ceQ3(sat)}$ ตามลำดับ ส่วนแรงดันที่ต่อกรุ่น Q_2 และ Q_3 จะมีหยุดนำกระแสและมีค่า $V_{in} - V_{ceQ1(sat)}$ และ $V_{in} - V_{ceQ4(sat)}$ ตามลำดับเช่นเดียวกัน ส่วนไดโอด $D_3 - D_6$ ทำหน้าที่เป็นคอมมิวเตอร์ไดโอดให้กับวงจร เพื่อป้องกัน $Q_1 - Q_4$ เช่นเดียวกับยาล์ฟบริจค่อนเวอร์เตอร์

2.3 วงจรควบคุม (Control)

ค่อนเวอร์เตอร์เกือบทุกรูปแบบ จะคงค่าแรงดันที่เอาท์พุตได้ด้วยการควบคุมช่วงเวลาการนำกระแส (t_{ON}) ของเพาเวอร์ทรานซิสเตอร์ ดังนั้นวงจรควบคุมการทำงานของค่อนเวอร์เตอร์ โดยทั่วไปนิยมใช้เทคนิคพัลส์วิทมอดูลেชัน (Pulse Width Modulation) หรือ PWM เป็นหลัก การใช้ PWM เมื่อควบคุมช่วงเวลาการนำกระแสของเพาเวอร์ทรานซิสเตอร์ สามารถทำได้ใน 2 ลักษณะคือ การควบคุมในโหมดควบคุมแรงดันและการควบคุมในโหมดควบคุมแรงดัน

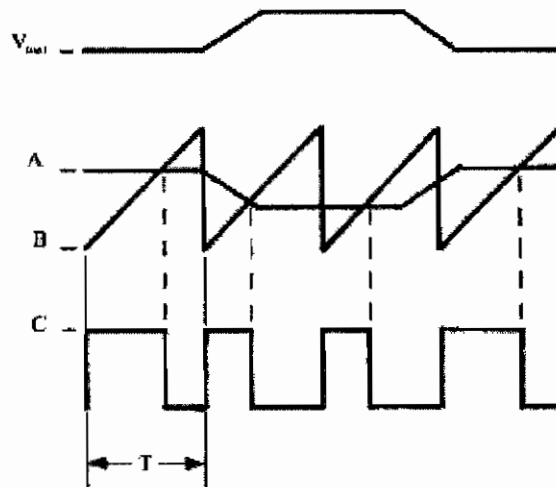
2.3.1 วงจรควบคุมในโหมดควบคุมจากแรงดัน (Voltage Mode Control)

การทำงานของวงจรควบคุมในโหมดแรงดัน (Voltage Mode Control) จะอาศัยการตรวจจับการเปลี่ยนแปลงค่าของแรงดันที่เอาด์พุตมาควบคุมช่วงเวลานำกระแสของเพาเวอร์ทรานซิสเตอร์ เพื่อการคงค่าแรงดันเอาด์พุตเป็นหลัก ซึ่งแสดงวงจรพื้นฐานเป็นดังภาพประกอบ 2.10 (เทคนิคและการออกแบบสวิตซ์เพาเวอร์ชัพพลาญ. 2538 : 128)



ภาพประกอบ 2.10 วงจรพื้นฐานสำหรับการควบคุมในโหมดควบคุมจากแรงดัน

จากการประกอบ 2.10 แสดงวงจรพื้นฐานสำหรับการควบคุมในโหมดควบคุมจากแรงดัน โดยวงจรควบคุมจะอาศัยการป้อนกลับค่าแรงดันที่เอาต์พุตและเปรียบเทียบกับแรงดันอ้างอิง V_{ref} ของ วงจร เพื่อตรวจสอบการเปลี่ยนแปลงของแรงดันที่เอาต์พุต ค่าความแตกต่างที่ได้จะถูกขยายโดย วงจรขยายความแตกต่าง E/A ก่อนที่จะส่งต่อไปยังวงจร PWM โดยค่าแรงดันที่ได้จากการขยายความ แตกต่าง E/A ที่ตำแหน่ง A จะถูกเปรียบเทียบกับแรงดันรูปฟินเลือยที่ตำแหน่ง B ของ PWM อีกรั้ง หนึ่ง เอาต์พุตที่ได้จากการ PWM จะมีลักษณะเป็นพัลส์สี่เหลี่ยม ซึ่งมีความเวลาคงที่เท่ากับความเวลา ของแรงดันรูปฟินเลือยและมีความกว้างของพัลส์ซึ่งเปลี่ยนแปลงไปตามผลอนุญาตชั้นของค่าแรงดันที่ ตำแหน่ง A และ B ค่าความกว้างของพัลส์นี้เองที่จะเป็นตัวกำหนดช่วงเวลานำกระแสของเพาเวอร์ ทรานซิสเตอร์ในคอนเวอร์เตอร์

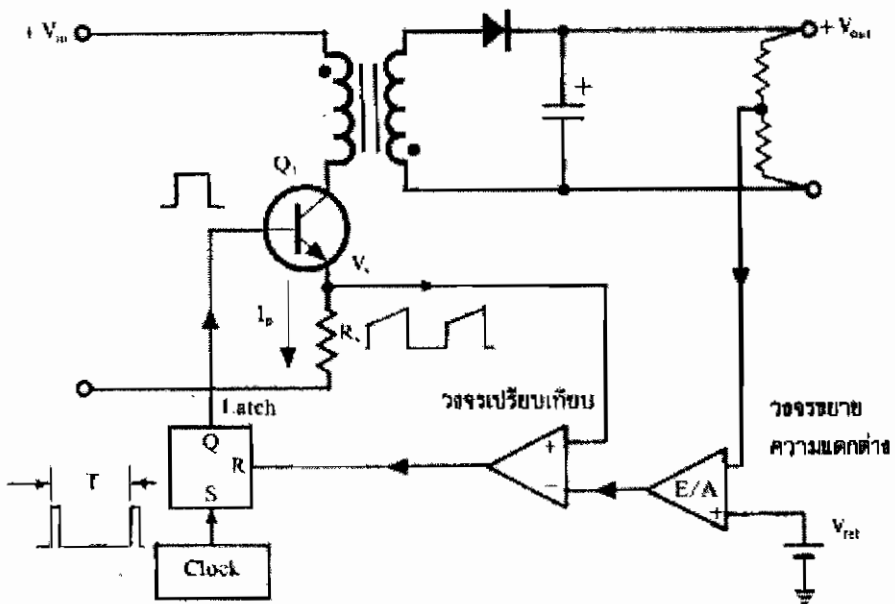


ภาพประกอบ 2.11 ลักษณะความกว้างของพัลส์จาก PWM

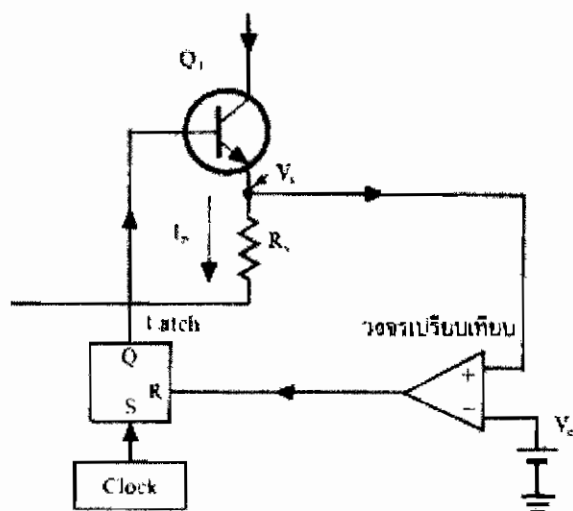
เนื่องจากค่าแรงดันป้อนกลับจะถูกส่งมาข้างขวาของเขายาขความแตกต่าง E/A ที่ขาอินเวอร์ตติ้ง ผลต่างของแรงดันเอาต์พุต และแรงดันอ้างอิงที่จุด A จึงมีลักษณะกลับเฟสอยู่ 180 องศา กล่าวคือ เมื่อ แรงดันเอาต์พุตมีค่ามากขึ้น แรงดันที่จุด A จะมีค่าลดลง ความกว้างของพัลส์ที่เอาต์พุตของวงจร PWM จึงมีค่าลดลงด้วย และช่วงเวลานำกระแสของเพาเวอร์ทรานซิสเตอร์ t_{ON} ก็จะมีค่าลดลง ถ้า แรงดันเอาต์พุตมีค่าลดลง แรงดันที่จุด A จะมีค่าเพิ่มขึ้น ความกว้างพัลส์ที่เอาต์พุตของวงจร PWM จึง มีค่าเพิ่มขึ้น t_{ON} ก็จะมีค่าเพิ่มขึ้น ทำให้ค่อนเวอร์เตอร์สามารถคงค่าแรงดันเอาต์พุตไว้ได้ ลักษณะ รูปคลื่นแรงดันของวงจรทำงานจะเป็นดังภาพประกอบ 2.11 (เทคนิคและการออกแบบสวิตชิ่ง เพาเวอร์ซัพพลาย. 2538 : 129)

2.3.2 วงจรควบคุมในโหมดควบคุมจากกระแส (Current Mode Control)

การคงค่าแรงดันเอาต์พุตของคอนเวอร์เตอร์ ด้วยวงจรควบคุมในโหมดควบคุมจากกระแส (Current Mode Control) นี้ข้อดีหลักประการที่เหนือกว่าโหมดควบคุมจากแรงดัน จึงเป็นวงจร ควบคุมที่นิยมใช้กันมาก วงจรควบคุมในโหมดควบคุมจากกระแสนี้ยังคงใช้เทคนิคพัลส์วิคท์มอ- คุเลชั่น(PWM)เช่นกัน ซึ่งแสดงวงจรพื้นฐานดังภาพประกอบ 2.12 (เทคนิคและการออกแบบสวิตชิ่ง เพาเวอร์ซัพพลาย. 2538 : 130)



เพื่อให้ง่ายต่อการพิจารณา เราจะแยกคิดการทำงานของวงจรควบคุมด้วยการตัดวงจรขยายความแผลกต่าง E/A ออกไปก่อน และกำหนดขาอินเวอร์ติ้งของวงจรเปรียบเทียบให้ต่อเข้ากับแรงดันอ้างอิง V_e ซึ่งแสดงดังรูป 2.13 (เทคนิคและการออกแบบสวิচชิ่งเพาเวอร์ชัพพาลัย. 2538 : 3-8) วงจร latch จะทำงานโดยขา Q ของวงจร latch จะมีสถานะเป็น high เมื่อมีการกระตุ้นที่ขา S และขา Q จะมีสถานะเป็น Low เมื่อมีการกระตุ้นที่ขา R

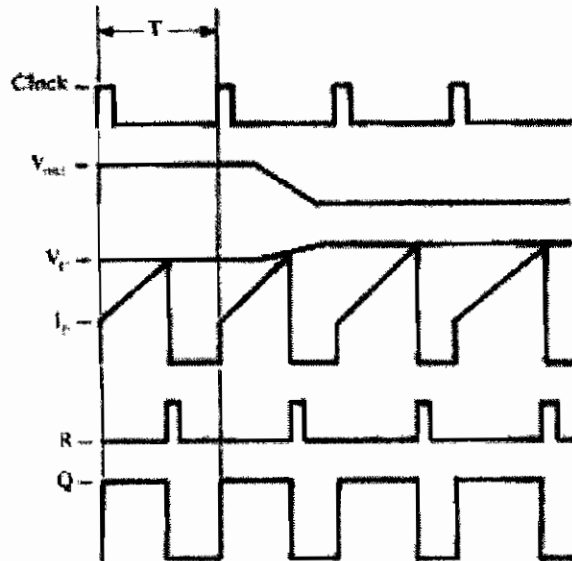


ภาพประกอบ 2.13 แสดงวงจรควบคุมเมื่อตัดตัวขยายความแผลกต่างออก

จากภาพประกอบ 2.13 แสดงวงจรควบคุมเมื่อตัวเข้าข่ายความแตกต่างของ โดยมีวงจรทำงานจะคำนวณสัญญาณนาฬิกา ให้คำนวณสัญญาณนาฬิกาที่มีความเวลาคงที่ไปกระตุ้นที่ขาของ latch ขา Q จึงมีสถานะเป็น high เพาเวอร์ทรานซิสเตอร์ Q_1 จะเริ่มน้ำกระแส เมื่อ Q_1 นำกระแสจะมีกระแสไหลผ่านขาดปัจจุบันภูมิและตัวต้านทาน R_s ที่ต่ออนุกรมไว้กับ Q_1 ทำให้เกิดแรงดัน V_s ตกคร่อมที่ตัวต้านทาน R_s ด้วย

แรงดันตกคร่อม R_s ที่เกิดขึ้นจะถูกเปรียบเทียบกับแรงดันอ้างอิง V_{er} โดยวงจรเปรียบเทียบดังนี้เมื่อค่าของ V_s เพิ่มขึ้นจนมีค่ามากกว่าค่าของแรงดันอ้างอิง V_{er} เอาต์พุตของวงจรเปรียบเทียบจะมีสถานะเป็น High และไปกระตุ้นที่ขา R ของวงจร latch ทำให้ขา Q มีสถานะเป็น Low และเพาเวอร์ทรานซิสเตอร์ Q_1 หยุดนำกระแส จนกว่าที่ขา R ของวงจร latch จะได้รับการกระตุ้นจากสัญญาณนาฬิกาอีกรั้ง จะเห็นได้ว่าความกว้างของเอาต์พุตพัลส์ที่ขา Q ของวงจร latch จะถูกควบคุมโดยค่าของแรงดัน V_s ที่ตกคร่อมตัวต้านทาน R_s ถ้าค่าแรงดันอินพุตของคอนเวอร์เตอร์นี้ค่าเพิ่มขึ้น แรงดัน V_s จะเพิ่มขึ้นจนมีค่ามากกว่าแรงดันอ้างอิง V_{er} ได้เร็วขึ้นด้วย ทำให้ความกว้างของเอาต์พุตพัลส์ลดลง เพาเวอร์ทรานซิสเตอร์จะมีช่วงเวลานำกระแสแส่น้ำเบล ในทางกลับกัน ถ้าแรงดันอินพุตของคอนเวอร์เตอร์มีค่าลดลง แรงดัน V_s จะเพิ่มขึ้นได้ช้า ความกว้างของเอาต์พุตพัลส์จะเพิ่มขึ้น เพาเวอร์ทรานซิสเตอร์จะมีช่วงเวลานำกระแสมากขึ้นด้วย จะเห็นได้ว่าเมื่อโหลดคงที่ คอนเวอร์เตอร์จะสามารถค่าแรงดันเอาต์พุตเมื่อมีการเปลี่ยนแปลงของแรงดันอินพุตได้ โดยไม่ต้องอาศัยการป้อนกลับแรงดันที่เอาต์พุตเลย ทำให้คอนเวอร์เตอร์ตอบสนองการเปลี่ยนแปลงของแรงดันอินพุตได้อย่างรวดเร็ว

พิจารณาวงจรควบคุมอีกรั้งตามวงจรในภาพประกอบ 2.12 เมื่อต่อวงจรข่ายความแตกต่าง E/A เพิ่มเข้ามา วงจรในลักษณะนี้เมื่อแรงดันเอาต์พุตมีค่าลดลง เอาต์พุตของวงจรข่ายความแตกต่าง E/A จะมีค่ามากขึ้น เพาเวอร์ทรานซิสเตอร์จะใช้เวลานำกระแสมากขึ้นด้วย เพื่อให้ค่าแรงดัน V_s มากกว่าแรงดันที่เอาต์พุตของวงจรข่ายความแตกต่าง E/A ในทางกลับกัน เมื่อแรงดันเอาต์พุตของคอนเวอร์เตอร์มีค่าเพิ่มขึ้น เอาต์พุตของวงจรข่ายความแตกต่าง E/A จะมีค่าลดลง เพาเวอร์ทรานซิสเตอร์จะใช้เวลานำกระแสลดลงด้วย ดังนั้นคอนเวอร์เตอร์จะสามารถค่าแรงดันที่เอาต์พุต เอาไว้ได้เมื่อมีการเปลี่ยนแปลงที่โหลด ลักษณะรูปคลื่นกระแสแรงดันจะมีที่ทำงานซึ่งแสดงดังภาพประกอบ 2.14 (เทคนิคและการออกแบบสวิตช์เพาเวอร์ชัพพลาย. 2538 : 132)



ภาพประกอบ 2.14 ลักษณะการทำงานที่สำคัญๆ ของวงจร

จากลักษณะการทำงานดังกล่าว ทำให้ร่วงความคุณในโหนดควบคุมจากการเปลี่ยนแปลงของแรงดันอินพุต ได้รวดเร็วกว่า ทำให้ลดปัญหาการคงค่าแรงดันที่เอาด้วยเมื่อกีดกรานเชี้ยนส์และการกระแสเพื่อมของแรงดันสูงที่แรงดันอินพุต เพราะไม่ต้องรอสัญญาณป้อนกลับจากเอาด์พุต

1. ตอบสนองการเปลี่ยนแปลงของแรงดันอินพุต ได้รวดเร็วกว่า ทำให้ลดปัญหาการคงค่าแรงดันที่เอาด์พุตเมื่อกีดกรานเชี้ยนส์และการกระแสเพื่อมของแรงดันสูงที่แรงดันอินพุต เพราะไม่ต้องรอสัญญาณป้อนกลับจากเอาด์พุต
2. สามารถป้องกันกระแสโลหดเกินได้ ด้วยการจำกัดค่ากระแสสูงสุดที่ขดไฟร์มาร์ทในลักษณะพัลส์ต่อพัลส์อย่างรวดเร็ว
3. ให้ค่าไอลน์เรกูเลชันที่ดีมาก
4. โดยการจำกัดกระแสสูงสุดที่ขดไฟร์มาร์ท ปัญหาการไม่สมมาตรฟลักซ์แม่เหล็กของพุช-พุดคอนเวอร์เตอร์จะไม่เกิดขึ้น
5. สามารถต่อขนาดคอนเวอร์เตอร์ที่หลากหลายเข้าด้วยกันได้ เพื่อให้ขับกระแสได้มากขึ้น และกระแสเฉลี่ยที่คอนเวอร์เตอร์แต่ละชุดจะมีค่าเท่ากัน

2.4 การจะเลือกใช้คอนเวอร์เตอร์

การจะเลือกใช้คอนเวอร์เตอร์แบบใดสำหรับสวิตซิ่งเพาเวอร์ซัพพลายนั้นมีข้อควรพิจารณาจากลักษณะพื้นฐานของคอนเวอร์เตอร์แต่ละแบบดังนี้คือ

2.4.1 ลักษณะการแยกกันทางไฟฟ้าระหว่างอินพุตกับเอาด์พุตของคอนเวอร์เตอร์

- 2.4.2 ค่าแรงดันอินพุตที่จะนำมาใช้กับคอนเวอร์เตอร์
- 2.4.3 ค่ากระแสสูงสุดที่แหล่งผ่านเพาเวอร์ทรานซิสเตอร์ในคอนเวอร์เตอร์ขั้นตอนทำงาน
- 2.4.4 ค่าแรงดันสูงสุดที่ตัดครั่อมเพาเวอร์ทรานซิสเตอร์ในคอนเวอร์เตอร์ขั้นตอนทำงาน
- 2.4.5 การรักษากระแสดับแรงดันในกรณีที่คอนเวอร์เตอร์มีเอาท์พุตหลากลับค่าแรงดัน
- 2.4.6 การกำเนิดสัญญาณรบกวน RFI/EMI ของคอนเวอร์เตอร์

2.5 ข้อกำหนดคุณสมบัติในการออกแบบสวิตชิ่งเพาเวอร์ชัพพลาย

การออกแบบสวิตชิ่งเพาเวอร์ชัพพลายจำเป็นต้องกำหนดคุณสมบัติของสวิตชิ่งเพาเวอร์ชัพพลายที่จะสร้างก่อน เพื่อเป็นการพิจารณาเลือกวิธีและส่วนประกอบต่างๆ ที่จะใช้ในสวิตชิ่งเพาเวอร์ชัพพลายได้อย่างเหมาะสม ซึ่งจะต้องกำหนดคุณสมบัติของสิ่งเหล่านี้

2.5.1 กำลังงานขาออก (Output Power)

คือความสามารถในการจ่ายกำลังให้กับโหลดของสวิตชิ่งเพาเวอร์ชัพพลาย โดยคิดจากค่าผลคูณกระแสและแรงดันรวมที่เอาท์พุตและที่โหลดค่าสูงสุด

2.5.2 ประสิทธิภาพ (Efficiency)

คือความสามารถในการส่งผ่านกำลังงานจากแหล่งจ่ายแรงดัน ไปยังโหลดที่เอาท์พุตของสวิตชิ่งเพาเวอร์ชัพพลาย โดยคิดจากอัตราส่วนกำลังงานขาออกที่จ่ายให้กับโหลดต่อกำลังงานขาเข้าที่สวิตชิ่งเพาเวอร์ชัพพลายใช้ไปเป็นเบอร์เซ็นต์ ค่าประสิทธิภาพที่แสดงให้เห็นถึงกำลังงานสูญเสียที่เกิดขึ้นในด้วนสวิตชิ่งเพาเวอร์ชัพพลาย หากประสิทธิภาพมีค่าต่ำ จะแสดงให้เห็นว่า กำลังสูญเสียที่เกิดขึ้นมีค่าสูง โดยทั่วไปของสวิตชิ่งเพาเวอร์ชัพพลายจะอยู่ระหว่าง 60-80 %

2.5.3 ช่วงของแรงดันอินพุต (Input Voltage)

คือช่วงของแรงดันที่อินพุต ที่สวิตชิ่งเพาเวอร์ชัพพลายสามารถคงค่าแรงดันที่เอาท์พุตตามข้อกำหนดเอาไว้ได้ ปกติสวิตชิ่งเพาเวอร์ชัพพลายจะถูกออกแบบให้สามารถทำงานได้ที่แรงดันอินพุตในช่วงกว้างๆ โดยโครงงานนี้จะใช้ช่วงแรงดัน 24-36 โวลต์ ที่แรงดันปกติ 30 โวลต์

2.5.4 แรงดันและกระแสสาขาออก (Output Voltage and Current)

คือค่ากระแสและแรงดันสาขาออกที่มีการรักษากระแสแรงดันให้คงที่ (regulate) โดยสวิตชิ่งเพาเวอร์ชัพพลาย การกำหนดค่าแรงดันและกระแสจะกำหนดจากความต้องการในการใช้งาน และกำลังสาขาออกที่ทำได้ของสวิตชิ่งเพาเวอร์ชัพพลาย โดยค่าแรงดันสามารถกำหนดได้หลายค่า

2.5.5 ไอลน์เรกูเลชัน (Line Regulation)

คือการเปลี่ยนแปลงของแรงดันเอาท์พุตเนื่องมาจากการเปลี่ยนแปลงของแรงดันไฟฟ้าที่อินพุตเป็นเบอร์เซ็นต์ เมื่อโหลดที่เอาท์พุตมีค่าคงที่

2..6 โหลดเรกูเลชัน (Load Regulation)

คือการเปลี่ยนแปลงของแรงดันเอาท์พุตเนื่องมาจากการเปลี่ยนแปลงของโหลดที่เอาท์พุตเป็นเบอร์เซนต์ เมื่อแรงดันไฟสัลบันพุตมีค่าคงที่

2.5.7 แรงดันกระเพี้ยมและนอยส์ (Ripple and Noise)

แรงดันกระเพี้ยมคือ แรงดันที่ไฟสัลบันที่ผ่านออกมาร่วมได้กับแรงดันไฟตรงที่เอาท์พุตทำให้เกิดการกระเพี้ยม

2.5.8 ค่าเวลาไฮลด์อัพ (Hold up Time)

คือเวลาที่สวิตซิ่งเพาเวอร์ซัพพลายบังสามารถคงค่าแรงดันต่อไปได้อีก เมื่อจะหยุดจ่ายแรงดันที่อินพุต (ที่โหลดค่าสูง) ปกติช่วงไฮโลพะจะมีค่าประมาณ 20×10^{-3} ถึง 50×10^{-3} วินาที

2.5.9 สัญญาณรบกวนจากสวิตซิ่งเพาเวอร์ซัพพลาย (RFI/EMI)

RFI (Radio Frequency Interference) และ EMI (Electromagnetic Interference) เป็นสัญญาณรบกวนที่เกิดขึ้นกับสวิตซิ่งเพาเวอร์ซัพพลาย เนื่องจากการทำงานที่มีความถี่สูงๆของสวิตซิ่งเพาเวอร์ซัพพลาย ค่าของสัญญาณรบกวนที่เกิดขึ้นจะด้องต่ำกว่ามาตรฐานที่กำหนด

2.5.10 การตอบสนองโหลดภาวะชั่วครู่ (Transient Response)

คือการคืนค่าแรงดันกลับเข้าสู่ภาวะปกติที่เอาท์พุตหลังจากที่มีการเปลี่ยนแปลงของโหลดอย่างทันทีทันใด ซึ่งเมื่อโหลดมีการเปลี่ยนแปลงอย่างทันทีทันใดจะเกิดลักษณะพุ่งของเอาท์พุตตามการเปลี่ยนแปลง การตอบสนองโหลดภาวะชั่วครู่นี้จะวัดได้โดยใช้ค่าเวลาคืนตัว (Recovery Time) และค่าแรงดันพุ่งสูงสุดที่เกิดขึ้น

2.5.11 การแยกกันทางไฟฟ้า (Isolation)

คือ ความสามารถในการกันแรงดันไฟสัลบันออกจากไฟตรงที่เอาท์พุต ไม่ให้มีการไหลผ่านกระแสสัมภาระกัน ได้เพื่อป้องกันอันตรายจากการถูกไฟดูดของผู้ใช้ โดยอาจวัดค่าแรงดันสูงสุดที่ต่อกันระหว่างอินพุตกับเอาท์พุตโดยยังไม่มีกระแสไหลหรือเกิดเบรกดาวน์ ทั้งนี้รวมไปถึงการแยกส่วนของเส้นไฟสูงและการลดลงของอินพุตด้วย

2.5.12 ความถี่การทำงานของสวิตซิ่งเพาเวอร์ซัพพลาย (Switching Frequency)

คือ ความถี่ที่กำหนดความเวลาการทำงานของเพาเวอร์ทรานซิสเตอร์ภายในสวิตซิ่งเพาเวอร์ซัพพลาย ปกติจะมีค่าอยู่ในช่วง 20-200 KHz ขึ้นอยู่กับการจัดการวงจรภายในและความสามารถของเพาเวอร์ทรานซิสเตอร์เป็นหลัก

2.6 วงจรอินพุตและเอาต์พุต

2.6.1 วงจรอินพุต

สวิตซิ่งเพาเวอร์ซัพพลายโดยส่วนใหญ่ถูกออกแบบให้ใช้ได้กับระบบแรงดัน 220 โวลต์ แรงดันไฟลับจะถูกเปลี่ยนเป็นแรงดันไฟตรงคัวบวกของอินพุตของสวิตซิ่งเพาเวอร์ซัพพลาย เพื่อส่งไปยังคอนเวอร์เตอร์เพื่อคงค่าแรงดันอิฐที่ วงจนี้จะรับแรงดันจากไฟบ้านโดยตรงซึ่งไม่ผ่านหน้าแปลง

วงจรอินพุตของสวิตซิ่งเพาเวอร์ซัพพลายแบ่งได้ 3 ส่วนคือ

1. เรกดิไฟเออร์ (Rectifier)
2. ฟิวส์ (Fuse)
3. RFI ฟิวเตอร์ (RFI Input Filter)

ก. เรกดิไฟเออร์ (Rectifier)

วงจรเรกดิไฟเออร์นั้นเป็นส่วนสำคัญที่สุดของวงจรอินพุตของสวิตซิ่งเพาเวอร์ซัพพลายและจะเป็นตัวกำหนดค่าอัตราหานกระแสของฟิวส์และRFIฟิลเตอร์ วงจรเรกดิไฟเออร์จะประกอบไปด้วยอุปกรณ์สำคัญ 3 ตัวคือ ตัวด้านท่านจำกัดกระแส R_s ตัวเก็บประจุฟิลเตอร์และไอดิโอเดกติไฟเออร์ $D_1 - D_4$ มีหน้าที่หลักคือเปลี่ยนแรงดันไฟลับให้เป็นแรงดันไฟตรงเพื่อเป็นแรงดันอินพุตให้กับคอนเวอร์เตอร์ต่อไป

- ตัวด้านท่านจำกัดกระแส R_s

ตัวด้านท่านจำกัดกระแส R_s มีประโยชน์มากในวงจรเรกดิไฟเออร์ R_s จะเป็นตัวจำกัดกระแสแรกที่เกิดขึ้นในวงจร โดยเฉพาะขณะघะเปิดเครื่องให้ทำงาน ตัวเก็บประจุจะชาร์จประจำเมื่อเสร็จภาระแล้ว ตัวค่าของตัวเก็บประจุสูงก็จะทำให้เกิดกระแสแรกขณะเปิดเครื่องสูงด้วย การกำหนดตัวด้านท่านจำกัดกระแส R_s ไว้วางใจทำให้การไหลของกระแสขณะเปิดเครื่องเป็นไปได้อย่างช้าๆ และลดกระแสแรก ตัวด้านท่าน R_s จะต้องมีการกำหนดค่าอย่างเหมาะสม เนื่องจากไอดิโอเดกติไฟเออร์ที่มีตัวเก็บประจุฟิลเตอร์นั้น ค่าของแรงดันที่ได้จากการจะขึ้นอยู่กับค่าของ R_s และกำลังงานที่วงจรเรกดิไฟเออร์ที่ต้องจ่ายออกไป

- ตัวเก็บประจุฟิลเตอร์ C

ตัวเก็บประจุฟิลเตอร์ C จะเป็นตัวกรองแรงดันไฟตรงที่ได้จากการเรียงกระแสของไอดิโอเดกติ $D_1 - D_4$ ให้มีค่าเรียบมากขึ้น และช่วยให้กระแสที่ได้มีค่าเพียงพอตามที่คอนเวอร์เตอร์ต้องการ การทำงานของตัวเก็บประจุฟิลเตอร์ C ในวงจรเรกดิไฟเออร์จะเป็นไปในลักษณะการชาร์จประจุและคาบประจุ

-การเลือกใช้ตัวเก็บประจุฟิลเตอร์

ตัวเก็บประจุฟิลเตอร์ในวงจรอินพุตนี้ควรเลือกใช้ตัวเก็บประจุชนิดอิเล็กโทรไลต์ที่สามารถดูดแรงดันได้ 1.5 เท่าของแรงดันไฟตรงเอาท์พุต ในการกำหนดค่าความจุนี้ต่ำกว่า จุของตัวเก็บประจุฟิลเตอร์ ความมีค่าไม่ต่ำกว่า $1,000 \mu F$ ต่อกระแสโอลด์ 1 แอมป์

-ไดโอดเรกติไฟเออร์

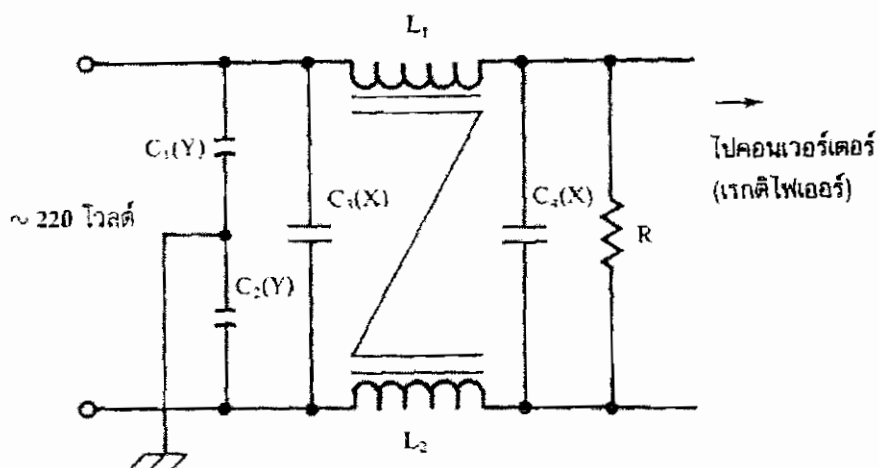
ไดโอดเรกติไฟเออร์ $D_1 - D_4$ มีหน้าที่หลักคือเปลี่ยนแรงดันไฟสลับให้เป็นแรงดันไฟตรง โดยไดโอดที่จะนำมาใช้เป็นไดโอดเรกติไฟเออร์นั้น ต้องสามารถกระแสสูงสุดเมื่อไดร์บันการໄบ้แอกสกัดบันสูงสุดได้

ข. ฟิวส์ (Fuse)

ฟิวส์ในวงจรอินพุตของเพาเวอร์ซัพพลาย จะมีหน้าที่หลักประการคือ ป้องกันอุปกรณ์เสียหายเนื่องจากกระแสไฟเกิน และเพื่อแยกส่วนวงจรออกจากแหล่งจ่ายไฟในการณ์ที่มีการลัดวงจรเกิดขึ้น

ค. RFI ฟิลเตอร์

การทำงานของสวิตชิ่งเพาเวอร์ซัพพลายเป็นการทำงานในลักษณะการเปลี่ยนแปลงกระแสแบบฉับพลันที่ค่าสูงๆ สวิตชิ่งเพาเวอร์ซัพพลายจึงเป็นเป็นแหล่งกำเนิดสัญญาณรบกวน RFI ได้เป็นอย่างดี วิธีการลดสัญญาณรบกวน RFI ที่จะออกไปภายนอกคือ การต่อ LC ฟิลเตอร์คันที่อินพุต กับระบบแรงดันไฟสลับเพื่อลดสัญญาณ RFI ทั้งสัญญาณโหมดความแตกต่าง (differential mode) และที่สัญญาณโหมดร่วม(common mode) การต่อ LC ฟิลเตอร์ทำได้ดังภาพประกอบ 2.15 (เทคนิคและการออกแบบสวิตชิ่งเพาเวอร์ซัพพลาย. 2538 : 212)



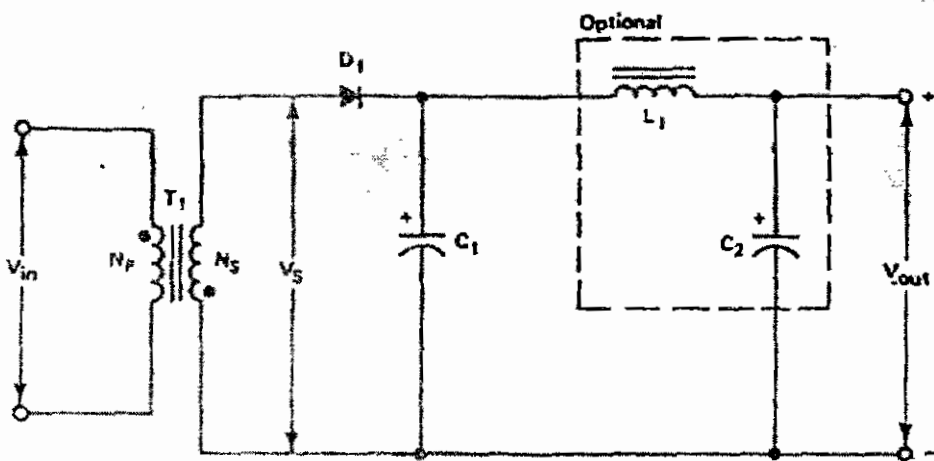
ภาพประกอบที่ 2.15 ตัวอย่างการต่อ LC ฟิลเตอร์เพื่อลดสัญญาณ RFI

2.6.2 ภาคเอาท์พุต

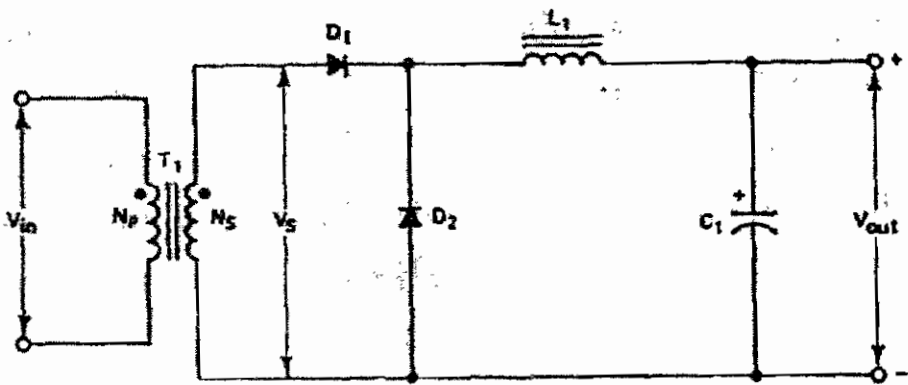
โดยทั่วไปแล้วภาคเอาท์พุตของแหล่งจ่ายสวิตชิ่งเพาเวอร์ซัพพลายนั้นสามารถออกแบบให้จ่ายแรงดันได้ไม่ว่าจะเป็นเพียงระดับเดียวหรือหลายๆระดับ (ขึ้นอยู่กับการออกแบบหน้าอแปลงว่าจะจ่ายแรงดันด้านทุกดิบกูนิต้องการกี่ระดับ กี่คันนั่งเอง) ส่วนกำลังไฟฟ้าของแหล่งจ่ายสวิตชิ่งที่พบเห็นในท้องตลาดก็มีตั้งแต่ตัวจนถึงตัวต่อสูงๆ เป็นพันวัตต์เลยทีเดียว

ในภาคเอาท์พุตของแหล่งจ่ายสวิตชิ่งเพาเวอร์ซัพพลายที่ต้องการคุณภาพสูงๆ นั้นแน่นอนย่อมจะต้องใช้อุปกรณ์ที่มีคุณภาพดีเป็นพิเศษ ไม่ว่าจะเป็นไดโอดชนิด Schottky หรือชนิด Fast Recovery ตัวเก็บประจุแบบ ESR ต่ำจนกระทั่งตัวเหนี่ยวนำที่ใช้สำหรับสะสมพลังงาน ในทางทฤษฎีนั้นก็เพื่อที่จะลดสัญญาณรบกวนที่จะเกิดขึ้นที่ภาคเอาท์พุตให้น้อยที่สุด

การที่จะเลือกว่าแหล่งจ่ายไฟสวิตชิ่งจะใช้งานร่วมกับเรียงกระแสและวงจรกรองแรงดันรูปแบบใดนั้นย่อมขึ้นอยู่กับชนิดของแหล่งจ่ายสวิตชิ่งนั้น เช่นแหล่งจ่ายไฟที่ใช้ Converter แบบ Flyback เมน้ำที่จะใช้ภาคเอาท์พุตดังภาพประกอบ 2.16 (แหล่งจ่ายไฟแบบสวิตชิ่ง (Switching power supply). 2541 : 100) โดยทั่วไปหน้าอแปลง T_1 ทำหน้าที่เป็นตัวเหนี่ยวนำที่ใช้สำหรับสะสมพลังงานในตัวไดโอด D_1 กับ ตัวเก็บประจุ C_1 เป็นตัวเรียงกระแสและกรองแรงดันเพื่อให้แรงดันไฟตามต้องการสำหรับการสำหรับตัวเหนี่ยวนำ L_1 และตัวเก็บประจุ C_2 ในการอ่านเส้นประสีเหลี่ยมนั้น จะใส่เพื่อต้องการลดแรงดันกระชาจาก การสวิตชิ่งเมื่อความถี่สูง



ภาพประกอบ 2.16 ภาคเอาท์พุตของสวิตชิ่งเพาเวอร์ซัพพลายแบบฟลายแบคค่อนเวอร์เตอร์

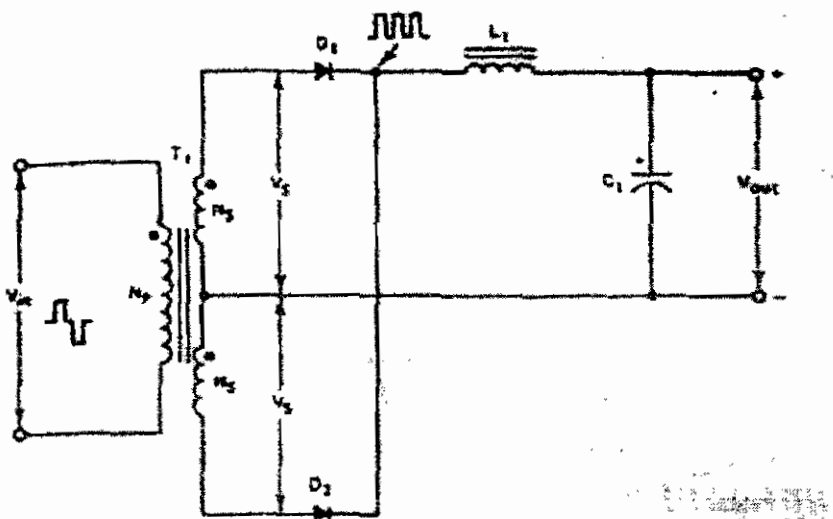


ภาพประกอบ 2.17 ภาคเอาท์พุตของสวิตชิ่งเพาเวอร์ซัพพลายแบบฟอร์เวิร์ดコンเวอร์เตอร์

แฟลกเตอร์ที่จำเป็นอย่างยิ่งในการออกแบบภาคเอาท์พุตที่น่าสนใจคือ อัตราหันแรงดันไฟ อย่างน้อยที่สุดของ ไดโอดเรียงกระแส (Minimum DC blocking Voltage) ซึ่ง Converter แบบ Flyback นั้นไดโอดเรียงกระแส D_1 ควรจะมีอัตราหันแรงดันไฟตรงขอนกลับ(Reverse Voltage rating) เท่ากับ $\left[1.2V_{in}\left(\frac{N_s}{N_p}\right)\right]$ เป็นอย่างน้อย ส่วนภาคเอาท์พุตของコンเวอร์เตอร์แบบ Forward แสดงดัง

ภาพประกอบ 2.17 (แหล่งจ่ายไฟแบบสวิตชิ่ง (Switching power supply). 2541 : 100)

ไดโอด D_1 กับ D_2 จะสลับกันนำกระแสเข้าเป็นผลให้กระแสไฟล์ไปยังเอาท์พุตอย่างเดียวที่ โดยอัตราหันแรงดันเท่ากับ $\left[1.2V_{in}\left(\frac{N_s}{N_p}\right)\right]$ เป็นอย่างน้อยเข่นเดียวกับコンเวอร์เตอร์แบบ Flyback



ภาพประกอบ 2.18 ภาคเอาท์พุตของสวิตชิ่งเพาเวอร์ซัพพลายแบบพูช-พูล , ยาร์ฟบอร์ดจ์และฟูลบอร์ดจ์コンเวอร์เตอร์

สำหรับภาคเอาท์พุตของคอนเวอร์เตอร์แบบพูช-พูด , สาร์ฟบิริจ์และแบบฟูลบิริจ์ นั้นจะแสดงดังภาพประกอบ 2.18 (แหล่งจ่ายไฟแบบสวิตชิ่ง (Switching power supply). 2541 : 100) การทำงานเหมือนกับวงจรฟอร์วิร์คคอนเวอร์เตอร์ทุกประการ แต่อัตราที่แรงดันกลับอย่างน้อยที่สุดจะเท่ากับ $\left[2.4V_{out} \left(\frac{V_{in(max)}}{V_{in(min)}} \right) \right]$

2.7 การควบคุมความกว้างพัลส์ (Pulse Width Modulated , PWM)

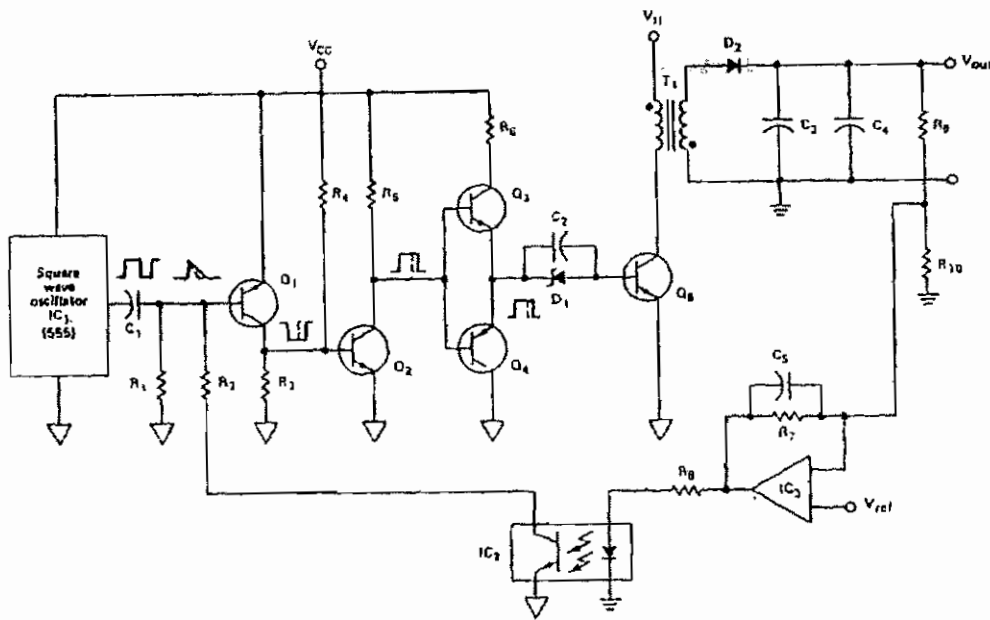
ในการควบคุมระดับแรงดันของสวิตชิ่งเพาเวอร์ซัพพลาย โดยทั่วไปจะใช้เทคนิคการควบคุมความกว้างพัลส์ (PWM) ซึ่งเป็นการควบคุมโดยเปลี่ยนแปลงช่วงเวลาที่อุปกรณ์สวิตช์ อิเล็กทรอนิกส์ เช่น ทรานซิสเตอร์ นอสเฟท หรืออินจั้น น้ำกระแส เป็นผลให้เกิดการควบคุมแรงดันที่เอาท์พุตให้ได้ค่าตามที่ต้องการ ซึ่งข้อดีของการควบคุมแรงดันแบบ PWM คือสามารถรักษาระดับแรงดันให้คงที่ได้สูง เพราะมีการป้อนกลับระดับแรงดันที่เอาท์พุตมาใช้ในการควบคุมด้วย รวมทั้งทำให้เกิดความสูญเสียกำลังงานในการควบคุมแรงดันต่ำส่งผลให้มีเสถียรภาพต่อการเปลี่ยนแปลงของอุณหภูมิและการใช้งานสูง

ลักษณะการทำงานโดยทั่วไปของ PWM โดยทั่วไปมี 3 ลักษณะคือ

1. เปลี่ยนแปลงทั้งความถี่และความกว้างพัลส์ (Variation of frequency and pulse width)
2. เปลี่ยนแปลงความถี่ โดยความกว้างของพัลส์คงที่ (Constant pulse width with variable frequency)
3. เปลี่ยนแปลงความกว้างพัลส์ โดยความถี่คงที่ (Constant frequency width with variable pulse)

การทำงานทั้ง 3 ลักษณะนี้มีข้อดีและข้อเสียที่แตกต่างกันไป โดยการทำงานลักษณะที่ 2 และที่ 3 จะดีกว่าการทำงานในลักษณะที่ 1 เนื่องจากสามารถกำหนดความถี่หรือช่วง t_{ON} ที่จะทำให้สวิตชิ่งเรกเกลเตอร์ทำงานได้อย่างมีประสิทธิภาพสูงสุด แต่แบบที่ 1 ความถี่และความกว้างพัลส์กำหนดขึ้นเองจากวงจรจังอ้างจะไม่ใช่ความถี่ที่เหมาะสมที่สุดสำหรับการทำงานก็ได้ ดังนั้นวงจร PWM ส่วนใหญ่จึงใช้การทำงานในลักษณะที่ 2 เป็นส่วนใหญ่





ภาพประกอบ 2.19 วงจร PWM ที่ใช้ในสวิตชิ่งเพาเวอร์ซัพพลายแบบฟลายแบคค่อนเวอร์เตอร์

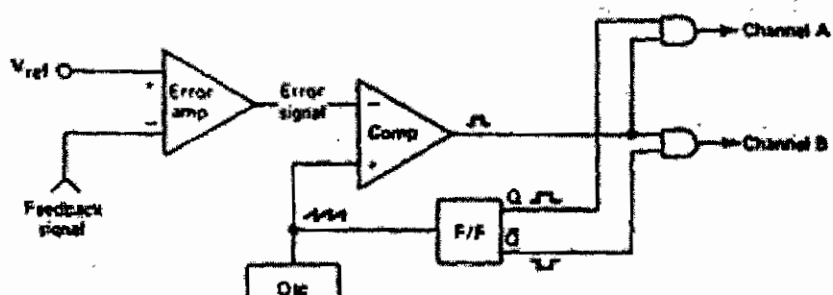
จากภาพประกอบ 2.19 (แหล่งจ่ายไฟแบบสวิตชิ่ง (Switching power supply). 2541 : 120) แสดงวงจร PWM ที่ใช้ในสวิตชิ่งเพาเวอร์ซัพพลายแบบ FLYBACK โดย IC_1 (555) จะเป็นตัวกำเนิดพัลส์โดยในที่นี้สามารถนำ IC เบอร์ 555 มาใช้เป็นตัวกำเนิดพัลส์ได้ทันที จากนั้นสัญญาณพัลส์ สัญญาณพัลส์สี่เหลี่ยมจะถูกเปลี่ยนให้เป็นสัญญาณรูปฟันเดือย โดยวงจรคิฟเฟอเรนเชียล (Differential) โดยตัวด้านทาน R_1 และตัวเก็บประจุ C_1 เพื่อนำไปใช้ขับทรานซิสเตอร์ Q_1 (ปกติจะปิด วงจรนำกระแส) สัญญาณที่ขากอlectrode ของทรานซิสเตอร์ Q_1 จะถูกส่งไปที่ขา鞭ของ ทรานซิสเตอร์ Q_2 สังเกตว่าสัญญาณที่ขากอlectrode ของทรานซิสเตอร์ Q_2 และสัญญาณที่ขา กอlectrode ของทรานซิสเตอร์ Q_1 จะมีลักษณะพัลส์ที่มีเฟสตรงกันข้าม

สำหรับทรานซิสเตอร์ Q_3 และ Q_4 จะเป็นชุดขับสัญญาณที่ได้จากทรานซิสเตอร์ Q_2 ให้กับ ทรานซิสเตอร์สวิตชิ่ง Q_5 สวิตชิ่ง-ปีกวงจรที่จาก IC_1 ผลของการปีก-ปีกวงจรของทรานซิสเตอร์ Q_5 อย่างรวดเร็วทำให้เกิดการส่งถ่ายพลังงานขึ้นที่หม้อแปลง T_1 เกิดแรงดันตกคร่อมที่ขดลวดทุกดิบภูมิ โดยแรงดันนี้จะถูกเรียงการแสและกรองแรงดันให้เรียบโดยโอด D_2 และตัวเก็บประจุ C_3 กับ C_4 เกิดเป็นแรงดันเอาท์พุต V_{out} ตามต้องการส่วนตัวเก็บประจุ C_2 และชีวนอร์ไดโอด D_1 เป็นวงจรช่วยลด ช่วงเวลาสะสมของทรานซิสเตอร์ Q_5 ทำให้ทรานซิสเตอร์ Q_5 มีความเร็วในการสวิตช์สูงขึ้น

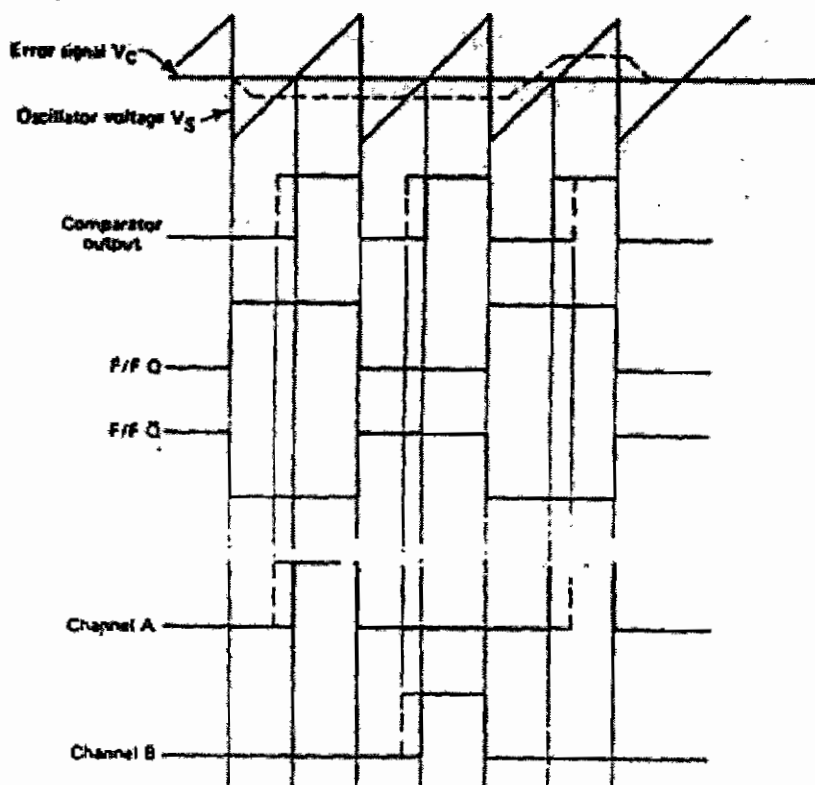
ในภาคป้อนกลับนั้นมีการทำงานโดย IC_3 เป็น IC เปรียบเทียบแรงดันระหว่างแรงดันที่ได้ จากการแบ่งแรงดันของตัวด้านทาน R_9 กับ R_{10} โดยนำมายเปรียบเทียบกับแรงดันอ้างอิงคงที่ V_{ref} ดังนั้น เมื่อแรงดันเอาท์พุต (V_{out}) เกิดการเปลี่ยนแปลงหรือโอลด้มีการเปลี่ยนแปลงก็ตาม จะทำให้ IC_3 จ่าย

แรงดันไฟแอดสตรองให้กับไฟฟ้าได้ออคใน IC_2 เกิดแสง เป็นผลให้ไฟฟ้าทรานซิสเตอร์ใน IC_2 นำกระแสเดียวกับ ที่ต้องการ ไปมากกว่าที่ต้องการ ทำให้ไฟฟ้าทรานซิสเตอร์ใน IC_2 นำกระแสมากขึ้นเท่านั้นและทำให้ช่วงเวลาในการเปิดช่วงของทรานซิสเตอร์ Q_1 สั้นลง(ดังเส้นประ)ซึ่งช่วงเวลาของแรงดันพัลส์ที่จะไปขับให้ทรานซิสเตอร์ Q_1 ปิดช่วงสั้นลงด้วย

ดังนั้นแรงดันเอาท์พุต(V_{out})ที่ได้จากการเรียงกระแสและการองแรงดันจึงลดลงทำให้วงจรที่มีการจ่ายแรงดัน V_{out} ที่เสียไปมากเนื่องจากมีการควบคุมแรงดันเอาท์(V_{out})ให้คงที่อยู่เสมอ



(a)



(b)

ภาพประกอบ 2.20 วงจรพื้นฐานของการสร้าง PWM

จากภาพประกอบ 2.20 (แหล่งจ่ายไฟแบบสวิตชิ่ง (Swiching power supply). 2541 : 122) แสดงบล็อก ໄຕอะแกรนพื้นฐานของการสร้าง PWM และสัญญาณรูปคลื่นที่สำคัญๆ ของวงจร โดยมี หลักการทำงานคือ ออกแบบเป็นตัวแรงดันคงที่เบรย์บ์ เทียบแรงดันระหว่างแรงดันที่ป้อนกลับมาจาก ด้านเอาท์พุต กับค่าแรงดันคงที่ V_{ref} ซึ่งผลต่างแรงดันที่ได้ (Error Signal) จะถูกป้อนกลับเข้าไปที่ ขาอินเวอร์สต์ ตั้งของอุปกรณ์เปิดที่ 2 เพื่อนำไปเบรย์บ์ เทียบกับแรงดันรูปฟินเลือบเพื่อสร้างพัลส์รูป สี่เหลี่ยมที่มีความกว้างพัลส์ตามต้องการที่จะนำไปควบคุมคอนเวอร์เตอร์ด่อไป

บทที่ 3

วิธีการคำนวณและการออกแบบ

วิธีการคำนวณ

1. ศึกษาทฤษฎีและก้านคว้าข้อมูลของสวิตซ์เพาเวอร์ชัพพลาย
2. ออกแบบแผนการทำงานของสวิตซ์เพาเวอร์ชัพพลาย
3. ออกแบบแผนการทำงานของวงจร
4. ทำการทดลองของตามลำดับ วิเคราะห์ผลการทดลอง สรุปผลการทดลอง
5. ออกแบบวงจรสวิตซ์เพาเวอร์ชัพพลาย ทำการทดลอง วิเคราะห์ผลการทดลอง แก้ไข วงจรและสรุปผล

การทำงานของสวิตซ์เพาเวอร์ชัพพลาย

การทำงานของสวิตซ์เพาเวอร์ชัพพลายแสดงในภาพประกอบ 3.1 โดยสวิตซ์เพาเวอร์ชัพพลายทำงานดังนี้ แรงดันอินพุต 12 - 36 V จะผ่านเข้ามาทางด้านเรกคิดไฟเออร์และฟิลเตอร์เพื่อกรองกรองสัญญาณให้เป็นไฟตรงและเรียบขึ้น จากนั้นภาคคอนเวอเรอร์จะทำการสวิทช์ดักต่อแรงดันไฟตรงเป็นพัลส์สีเหลืองความถี่สูงประมาณ 20-400 KHZ ซึ่งวงจรสวิตซ์นี้จะสร้างจากเพาเวอร์มอสเฟตซ์เพาเวอร์มอสเฟตจะทำงานเป็นเพาเวอร์คอนเวอเรอร์โดยการตัดต่อแรงดันเป็นช่วงๆ จากนั้นจะผ่านไปยังหน้อแปลงสวิตซ์ซึ่งหลักการทำงานจะทำงานในลักษณะสวิตซ์และมีโหลดเป็นค่าวเหนี่ยวนำซึ่งผลที่ได้จะแตกต่างจากโหลดที่มีลักษณะเป็นตัวด้านทานเพาเวอร์

มอสเฟตต้องใช้เวลาส่วนหนึ่งในการเปลี่ยนสถานะของตัวมันเมื่อจะเริ่มน้ำกระแส(Turn on) และเมื่อจะหยุดน้ำกระแส(Turn off) รวมทั้งเพาเวอร์มอสเฟตขึ้นมีแรงดันตกคร่อมตัวมันขณะนำกระแส(V_{DS(on)}) การเปลี่ยนสถานะและแรงดันตกคร่อมขณะนำกระแสจะทำให้เกิดกำลังงานสูญเสียในรูปความร้อน(Power Dissipation) ขึ้นในตัวมันเองด้วยและแรงดันที่ได้จะส่งเข้าไปยังภาคเรกคิดไฟเออร์และฟิลเตอร์ทางด้านเอาท์พุตเพื่อทำการเรียงกระแสและกรองแรงดันไฟเสียก่อนจึงสามารถที่จะจ่ายกระแสให้แก่โหลดได้ สำหรับการคงค่าแรงดันนี้ทำได้โดยการป้อนค่าแรงดันที่เอาท์พุต มาข้างวงจรควบคุม วงจรควบคุมจะอาศัยการป้อนกลับค่าแรงดันที่เอาต์พุต และเปรียบเทียบกับแรงดันอ้างอิง V_{ref} ของวงจร เพื่อตรวจจับการเปลี่ยนแปลงของแรงดันที่เอาต์พุต สัญญาณเอาต์พุตของวงจนี้ที่ได้จะเป็นสัญญาณพัลส์ซึ่งจะถูกนำไปมอคูเลตกับสัญญาณพัลส์ที่ได้จากการกำหนด T_{ON(MAX)} ซึ่งเอาต์พุตของ PWM จะนำไปควบคุมการทำงานของเพาเวอร์มอสเฟตเพื่อควบคุมแรงดันเอาต์พุตให้คงที่

ประโยชน์ต่อไป

3. ส่วนควบคุมแรงดันเอาต์พุต ทำหน้าที่ควบคุมแรงดันเอาต์พุตให้คงที่แม้แรงดันอินพุตจะมีการเปลี่ยนรวมถึงโหลดมีการเปลี่ยนแปลงด้วย

ซึ่งในการออกแบบจะทำการออกแบบแยกเป็นส่วนๆแล้วจึงนำประกอบเข้าด้วยกันเพื่อทดสอบวงจรและแก้ไขให้สมบูรณ์ ในการออกแบบในส่วนต่างๆจะได้ก่อร่องต่อไปนี้

3.1 ภาคคอมเพอร์เตอร์

การทำงานของภาคนี้ประกอบด้วย หน้าจอแสดงไฟฟ้า อุปกรณ์สวิตซ์ ซึ่งจะได้กล่าวถึงการออกแบบในแต่ละส่วนดังนี้

3.1.1 การออกแบบหน้าจอแสดงไฟฟ้า

ในการออกแบบหน้าจอแสดงไฟฟ้าจะต้องกำหนดคุณสมบัติของสวิตชิ่งเพาเวอร์ซัพพลาย เสียก่อนซึ่งในโครงงานนี้ได้กำหนดคุณสมบัติของสวิตชิ่งเพาเวอร์ซัพพลายดังนี้

- แรงดันอินพุต 24-36 VDC

- แรงดันเอาต์พุต 12 VDC

- กำลังเอาต์พุต 12 W

- ความถี่ในการสวิตชิ่ง 50 KHz ($T = 20 \mu\text{s}$)

โดยขั้นตอนต่อไปจะทำการออกแบบหน้าจอแสดงไฟฟ้าซึ่งมีขั้นตอนดังนี้

1. คำนวณหาค่ากระแสสูงสุดของคลัวคปจุนภูมิ (I_p) ซึ่งสามารถพิจารณาจากสมการที่ (1)

$$I_p = \frac{2P_o}{\mu D_{\max} (V_{in(\min)} - V_{sat})} \quad (1)$$

ถ้ากำหนดให้ประสิทธิภาพของหน้าจอแลงเท่ากับ 80 % $D_{\max} = 0.4$

ดังนั้น $I_p = \frac{2 \times 12}{0.8 \times 0.4 \times (24 - 1)}$
 $I_p = 3.26A$

2. คำนวณหาค่าความเหนี่ยวนำของคลัวคปจุนภูมิ (L_p) ซึ่งสามารถพิจารณาจากสมการที่ (2)

$$L_p = \frac{(V_{in(\min)} - V_{sat}) \cdot T_{on(\max)}}{I_p} \quad (2)$$

ดังนั้น $L_p = \frac{(24 - 1) \times 8 \times 10^{-6}}{3.26}$
 $L_p = 56.44 \mu\text{H}$

3. คำนวณหาเพื่อการพันขาดลวด ($A_s A_c$) ซึ่งสามารถพิจารณาจากสมการที่ (3)

$$A_e A_c = \frac{25.32 \cdot 10^8 \cdot L_p I_p D^2}{B_{\max}} \quad (3)$$

ເດືອກນາມເສັ້ນລວມ

$$400 \times 3.26 = 1304.348 \text{ circular mils}$$

จะได้ค่าเบอร์ 19 ซึ่งมีเส้นผ่าศูนย์กลาง 0.0391 นิวตัน

ถ้ากำหนดให้ $B_{max} = 1600 \text{ G}$

$$\begin{aligned} \text{ดังนั้น } A_e A_c &= \frac{25.32 \times 10^8 \times 56.44 \times 10^{-6} \times 3.26 \times 0.0391^2}{1600} \\ A_e A_c &= 0.445 \quad \text{cm}^4 \end{aligned}$$

เลือกแแกนหนึ่งมีเปล่งแสงบนบินที่ใช้ในการพันขาดลวด จากการหาค่า $A_e A_c$ จึงเลือกแแกนและบนบินเบอร์ ETD34 ซึ่งมีรายละเอียดดังนี้

$$A_e = 0.971 \text{ cm}^2 \quad A_c = 1.22 \text{ cm}^2$$

$$A_e A_c = 1.185 \text{ cm}^4$$

4. หาจำนวนรอบของคลาดปั้นภูมิ (N_p) ซึ่งสามารถพิจารณาจากสมการที่ (4)

$$N_p = \frac{L_p I_p \cdot 10^8}{A_e B_{\max}} \quad (4)$$

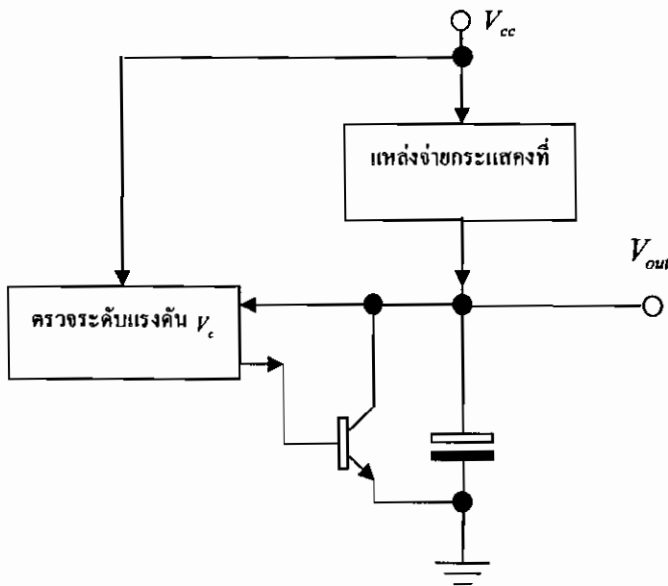
$$N_p = \frac{56.44 \times 10^{-6} \times 3.26 \times 10^8}{0.971 \times 1600}$$

$$N_p = 12 \quad \text{รอบ}$$

5. หาอัตราส่วนจำนวนคลาดปชุนภูมิกับทุติยภูมิ $\frac{N_p}{N_s}$ ซึ่งสามารถพิจารณาจากสมการที่ (5)

$$\frac{N_p}{N_s} = \frac{D_{\max} V_{m(\min)}}{(1 - D_{\max})(V_O + V_D)} \quad (5)$$

จากภาพประกอบ 3.2 จะเห็นว่าในการทำให้แรงดันที่ตอกคร่อมตัวเก็บประจุลดลงจนเป็นศูนย์จะต้องทำให้ตัวเก็บประจุหายประจุออกให้หมด จากเงื่อนไขที่ได้กล่าวมาจึงนำไปสู่การออกแบบวงจรสร้างสัญญาณฟินเดือย โดยองค์ประกอบของวงจรสร้างสัญญาณฟินเดือยแสดงดังภาพประกอบ 3.3

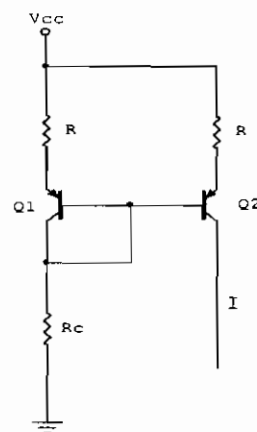


ภาพประกอบ 3.3 องค์ประกอบของวงจรสร้างสัญญาณฟินเดือย

ซึ่งจะได้กล่าวถึงการออกแบบองค์ประกอบต่างๆ ของวงจรดังนี้

3.2.1 วงจรแหล่งจ่ายกระแสแกงที่

ในโครงงานนี้เลือกใช้วงจรเรอร์เรนท์มิลเลอร์ดังแสดงในรูป 3.4 เพราะวงจรนี้สามารถควบคุมกระแสง่าย โดยเปลี่ยนค่าความต้านทาน R_c ที่สามารถควบคุมกระแส I ให้ได้ตามต้องการ



ภาพประกอบ 3.4 วงจรจ่ายกระแสแกงที่

จากภาพประกอบ 3.4 สามารถพิจารณาค่ากระแส I จากสมการ

$$I \cong \frac{V_{cc} - 0.6}{R + R_c} \quad (8)$$

3.2.2 วงจรตรวจระดับแรงดัน V_c

ในโครงการนี้ได้นำไอซีเบอร์ NE555 มาทำเป็นวงจรตรวจระดับแรงดัน V_c ซึ่งแรงดันอ้างอิงสูงสุดที่ยอนให้แรงดัน V_c เพิ่มขึ้นได้เท่ากับ $\frac{2}{3}V_{cc}$ จากสมการที่ (7) จะได้

$$\frac{2}{3}V_{cc} = \frac{It}{C} \quad (9)$$

จากสมการที่ (4) เมื่อกำหนดความถี่ที่ต้องการแล้วสามารถพิจารณากระแสคงที่ที่ใช้ในการประจุตัวเก็บประจุได้จากสมการ

$$I = \frac{2V_{cc}C}{3t} \quad (10)$$

ขั้นตอนการออกแบบวงจรสร้างสัญญาณฟินเลื่อย

1. กำหนดความถี่ที่ต้องการ เลือกค่าตัวเก็บประจุที่เหมาะสม ซึ่งในโครงการนี้ใช้แรงดันไฟฟ้า+5V ตัวเก็บประจุค่า $2.2nF$ ความถี่ในการสวิตชิ่ง $50kHz$ และคำนวณหาความเวลาโดยใช้สมการ $T = 1/f$ ทำให้ได้ความเวลาเท่ากับ $20\mu s$ หากกระแสที่ใช้ในการประจุตัวเก็บประจุจากสมการที่ (10) จะได้

$$I = \frac{2 \times 5 \times 2.2 \times 10^{-9}}{3 \times 20 \times 10^{-6}}$$

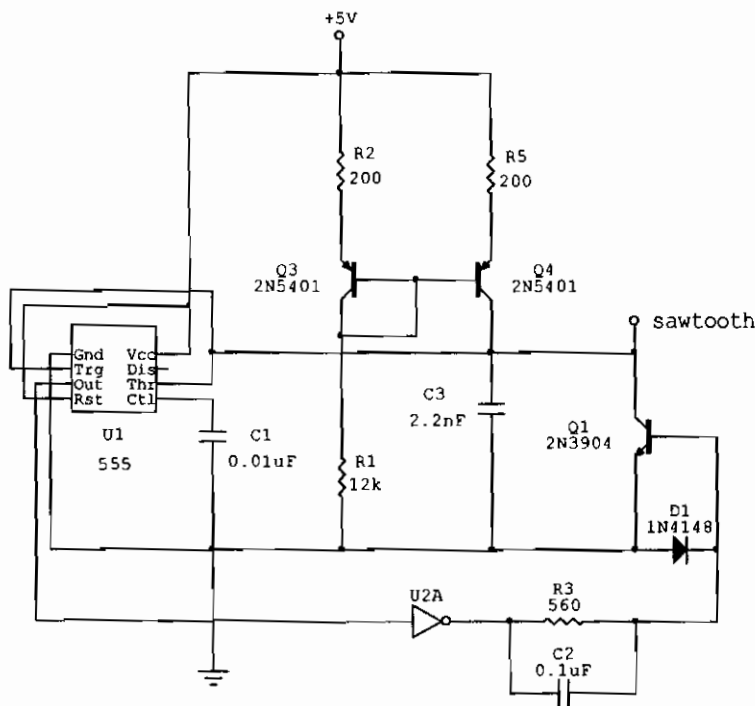
$$I = 0.3667mA$$

2. เมื่อทราบค่ากระแสที่ใช้ในการประจุตัวเก็บประจุสามารถคำนวณหาค่า R_c ได้จากสมการที่ (8) จะได้

$$0.3667 \times 10^{-3} = \frac{5 - 0.6}{R + R_c}$$

$$R + R_c = 11.9989k\Omega$$

แต่จากรูปที่ 3.4 จะเห็นว่า R_c ถูกต่ออนุกรมกับเอต์พุตดังนั้นในการเลือกค่าความด้านثان R_c ควรให้ R_c มีค่าน้อยๆเพื่อไม่ให้เกิดการแบ่งแรงดันขึ้นระหว่าง R_c กับเอต์พุตในโกรงงานนี้ใช้ค่า 200Ω ทำให้ได้ $R_c = 11.7989k\Omega$ วงจรที่ได้รับการออกแบบเรียบร้อยแล้วแสดงดังภาพประกอบ 3.5



ภาพประกอบ 3.5 วงจรสร้างสัญญาณฟินเลือยที่ใช้ในโกรงงาน

3.3 วงจรกำหนดคิวต์สูงสุด (D_{MAX})

โกรงงานนี้ทำการออกแบบสัญญาณพัลส์ที่มีคิวต์ใช้คิด 0.4 โดยเปรียบเทียบสัญญาณฟินเลือยกับแรงดันข้างอิงเพื่อบรนค่าคิวต์ใช้เกิดดังวงจรในภาพประกอบ 3.6 ซึ่งคิวต์ใช้เกิดสามารถพิจารณาได้จากสมการที่ (6)

$$D = \frac{T_{ON}}{T} \times 100\% \quad (6)$$

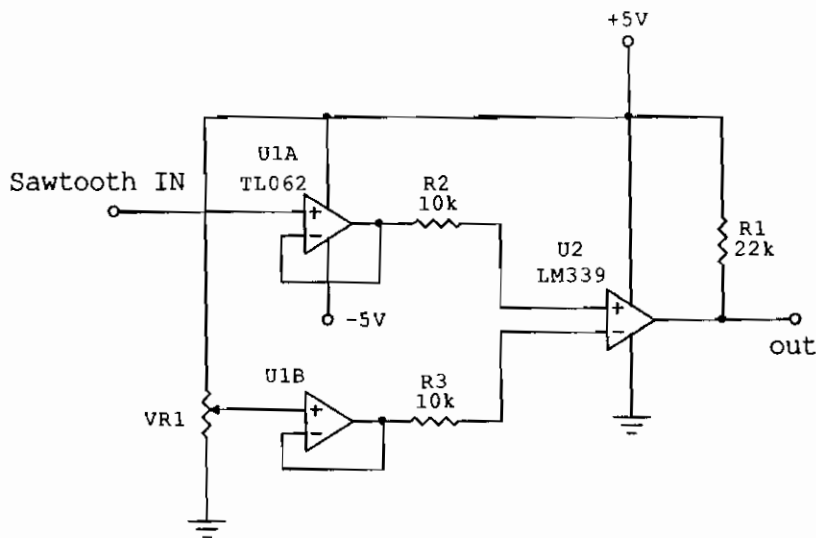
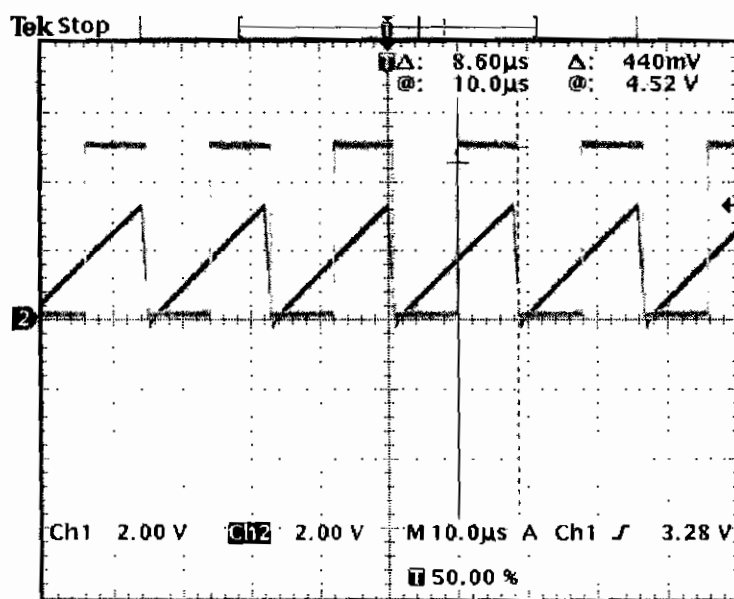
ซึ่ง T_{ON} สามารถพิจารณาได้จากสมการ

$$V_{ref} = \frac{V_{saw}}{T} (T - T_{ON})$$

$$T_{ON} = T - \frac{V_{ref} T}{V_{saw}} \quad (7)$$

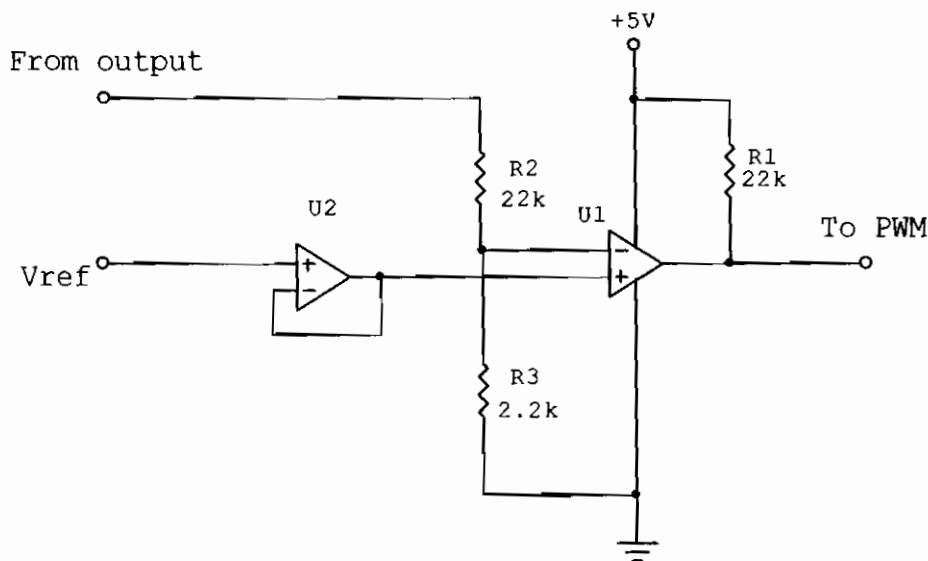
ดังนั้น

$$D = \left(1 - \frac{V_{ref}}{V_{saw}} \right) \times 100\% \quad (8)$$

ภาพประกอบ 3.6 วงจรกำหนด D_{MAX} ภาพประกอบ 3.7 สัญญาณเอาด้วยของวงจรกำหนด D_{MAX} (CH2)

3.4 วงจร (Errors Amp)

หลักการทำงานของวงจรนี้จะคล้ายกับวงจรสร้าง $T_{ON(MAX)}$ เพียงแต่สัญญาณที่นำมาเปรียบเทียบกับแรงดันอ้างอิงเป็นแรงดันไฟฟ้ากระแสตรงที่นำมาจากเอาต์พุต ซึ่งวงจรที่ทำการออกแบบแสดงดังภาพประกอบ 3.8



ภาพประกอบ 3.8 วงจร errors Amp ที่ออกแบบเรียบร้อยแล้ว

ซึ่งสามารถคำนวณหาแรงดันเอาต์พุตได้จากสมการ

$$V_{OUT} = \left(1 + \frac{R_2}{R_3}\right) V_{ref} \quad (9)$$

ในโครงการนี้ใช้แรงดันอ้างอิง 1V ต้องการแรงไฟฟ้าขาออก 12V เมื่อเลือกความต้านทาน R_2 หรือ R_3 ตัวใดตัวหนึ่งก็สามารถหาค่าความต้านทานอีktัวหนึ่งได้ซึ่งในที่นี้เลือกค่า R_3 เท่ากับ $2.2k\Omega$ จากสมการที่ (9) หากค่า R_3 ได้ดังนี้

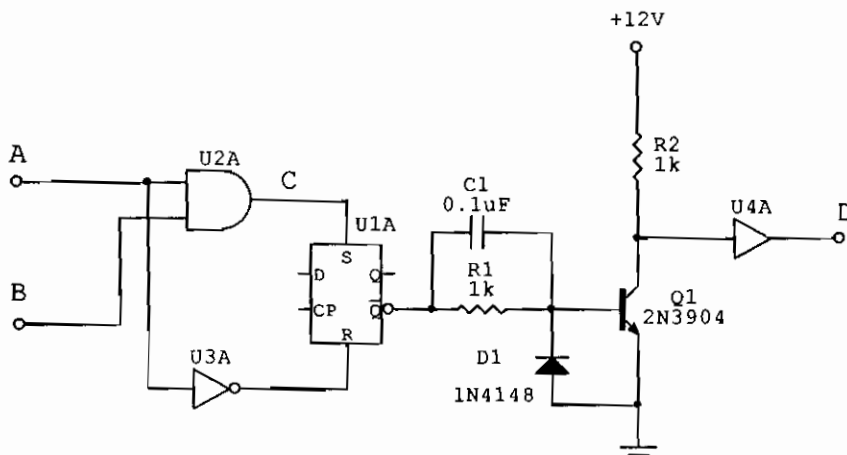
$$\text{แทน ; } \begin{aligned} 12 &= \left(1 + \frac{R_2}{2.2 \times 10^3}\right) \\ R_2 &= 11 \times 2.2 \times 10^3 \\ R_2 &= 24.2k\Omega \end{aligned}$$

จะเห็นว่าค่า R_3 เป็นค่าที่ไม่เป็นค่ามาตรฐานจึงเปลี่ยนวิธีการใหม่โดยทำการกำหนดค่า R_2 และ R_3 คงที่แล้วทำการปรับแรงดันอ้างอิงเพื่อกำหนดแรงดันเอาต์พุต ในที่นี้ให้ $R_2 = 22k\Omega$ และ

$$R_3 = 2.2k\Omega \text{ คั่งนั้น } V_{ref} = \frac{12}{11} = 1.091V$$

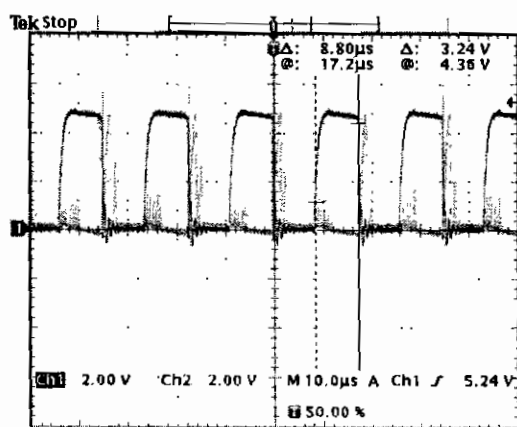
3.5 วงจร PWM (Pulse Width Modulation)

วงรสร่วมนี้จะนำสัญญาณจากวงจรกำหนด $T_{ON(MAX)}$ และวงจร errors Amp มาเปรียบเทียบกันแล้วนำผลที่ได้ไปควบคุมการนำกระแสและหยุดนำกระแสของ mosfet เพื่อควบคุมแรงดันไฟฟ้าข้อออกให้คงที่วงจรที่ได้ออกแบบแสดงไว้ดังภาพประกอบ 3.9(ก) และ 3.9(ข)

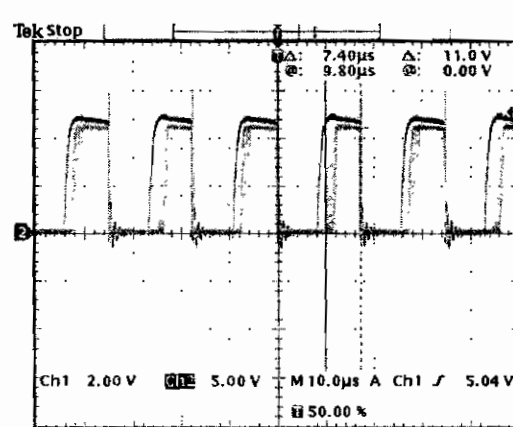


A=From Ton(max) setting

B=From errors Amp
(n)



CH1 สัญญาณที่จุด A CH2 สัญญาณที่จุด B



CH1 สัญญาณที่จุด A CH2 สัญญาณที่จุด D

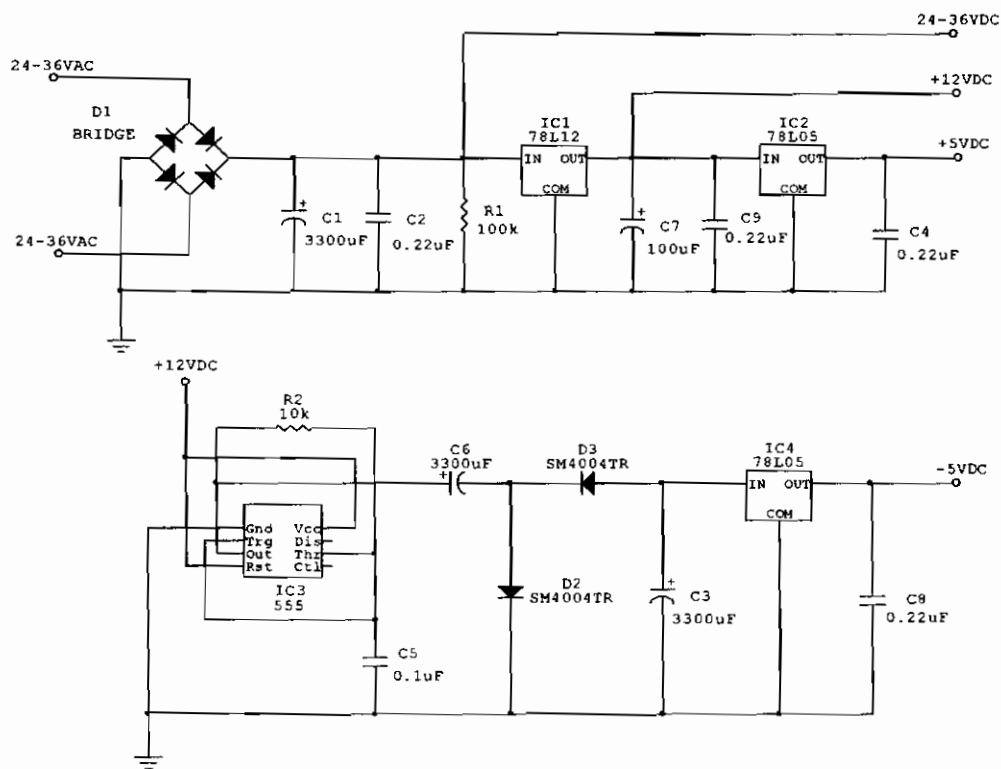
(ข)

ภาพประกอบ 3.9 (ก) วงจร PWM ที่ใช้งานจริงในโครงการ (ข) ลักษณะสัญญาณที่จุดต่างๆ

3.6 วงจรจ่ายไฟ

ส่วนนี้เป็นการออกแบบและทดสอบการทำงานของแหล่งจ่ายไฟเลี้ยง +12V,+5V และ -5V ให้สามารถนำไปใช้เป็นไฟเลี้ยง ไอซีในวงจรสวิচชิ่งเพาเวอร์ซัพพลาย โดยโดยที่วงจรสามารถคงแรงดันไฟเลี้ยง +12V,+5V และ -5V และสามารถจัดกระแสเอาท์พุตตามความต้องการของไอซีที่นำมาใช้

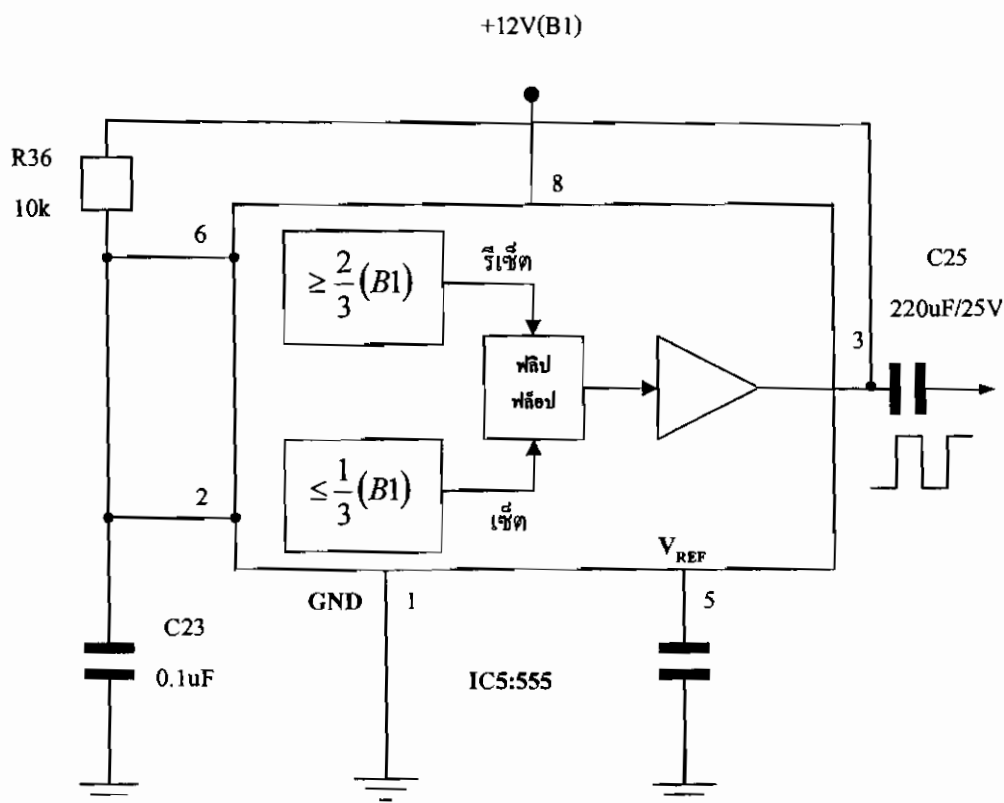
จากวงจรในภาพประกอบ 3.10 เป็นการลดระดับแรงดันจาก 24-36 โวลต์ เป็น 12 โวลต์ โดยใช้ ไอซีเรกเกอร์เตอร์(IC Regulator) เบอร์ 7812 เพื่อนำไปใช้เป็นไฟเลี้ยงในวงจร และนำแรงดันเอาท์พุต 12 โวลต์ ดังกล่าวลดระดับแรงดันให้เหลือ 5 โวลต์และ-5 โวลต์ โดยที่แรงดัน 5 โวลต์ จะใช้เป็นไอซีเรกเกอร์เตอร์(IC Regulator) เบอร์ 7905 และที่เอาท์พุตจะใช้ค่าปั๊สิเตอร์ขนาด $10\mu F$ เพื่อกรองสัญญาณเอาท์พุตก่อนนำไปใช้งาน ที่แรงดัน -5 โวลต์ จะใช้ ไอซีไทม์เมอร์เบอร์ 555 ทำหน้าที่ในการผลิตพัลซ์ที่มีค่าตัวแปร 50 % ที่ขา 3 ของ IC 555 จะมีกระแสเอาท์พุต กระแสเอาท์พุต จะไปชาร์จประจุให้กับค่าปั๊สิเตอร์ $330\mu F$ (คือ C_3 และ C_6) ทำให้ค่าปั๊สิเตอร์มีประจุเก็บไว้คิดเป็นแรงดันไฟไม่น้อยกว่า 10 โวลต์ โดยศักย์ของค่าปั๊สิเตอร์มีศักย์บวกเป็นกราว์นและที่จุดเอาท์พุตเป็นศักย์ลบ ดังนั้นขณะนี้ได้แรงดันเท่ากับ -10 โวลต์ แล้วนำแรงดัน -10 โวลต์ ส่งผ่าน ไอซีเรกเกอร์เตอร์เบอร์ 7905 เพื่อลดระดับไฟคงที่จาก -10 โวลต์ ให้เหลือแรงดันไฟคงที่ -5 โวลต์ โดยมีค่าปั๊สิเตอร์ $100\mu F$ ทำหน้าที่เป็นหน่วยสำรองไฟให้กับเอาท์พุตก่อนนำไปใช้งาน



ภาพประกอบ 3.10 วงจรจ่ายไฟ +12V , +5V และ -5V

โดยการทำงานของวงจรในส่วนที่ให้แรงดันขาออก -5V จะมีหลักการคือแรงดันไฟฟ้าที่เป็นแรงดันไฟฟ้า B1 ซึ่งมีระดับแรงดันไฟ +12 V จะถูกนำมาผลิตแรงดันไฟฟ้าด้วยการใช้ไอซี Timer 555 ทำหน้าที่ในการผลิตพัลส์ที่มีค่าต่อไปนี้ ค่าความต้านทานที่ต้องใช้คือ 50% โดยวงจรผลิตความถี่ที่เป็นสัญญาณพัลส์ ดังภาพประกอบ 3.11

จากวงจรภาพประกอบที่ 3.11 แรงดันไฟ B1 จะจ่ายเข้าไปยัง IC5 ซึ่งเป็นไอซี Timer 555 โดยปกติแล้วความถี่ของไอซีดังกล่าวจะ ค่าความต้านทานที่ต้องใช้คือ 50% กระทำได้มีอุปกรณ์เวลาของการชาร์จเท่ากับเวลาของการดิจชาร์จ



ภาพประกอบ 3.11 การทำงานของไอซี 555 ในการผลิตพัลส์ที่มีค่าความต้านทานที่ต้องใช้คือ 50%

จากหลักการดังกล่าวจึงมีการนำเอาแรงดันไฟทางด้านเอาต์พุตขา 3 ของ IC5 ต่อกลับเข้าไปยังวงจรอสซิลเลเตอร์ซึ่งอยู่ที่ขา 2 และ 6 ของ IC5 ที่ทำหน้าที่เป็นตัวเรเซ็ตและรีเซ็ตพลิปฟล็อปไปก้านนิตความถี่อย่างต่อเนื่อง โดยอุปกรณ์ที่เป็นตัวกำหนดความถี่ได้แก่ R_{36} และ C_{23} โดยเมื่อจ่ายเข้าไปยัง IC5 ในครั้งแรกนั้น แรงดันไฟฟ้าที่เกิดขึ้นที่ขา 2 และขา 6 ของ IC5 ขึ้นเป็นแรงดันไฟต่ำอยู่โดยเฉพาะแรงดันที่ขา 2 หากมีระดับแรงดันไฟต่ำกว่า 1 ใน 3 ของไฟเดี่ยววงจร (B_1) จะมีผลสั่งให้

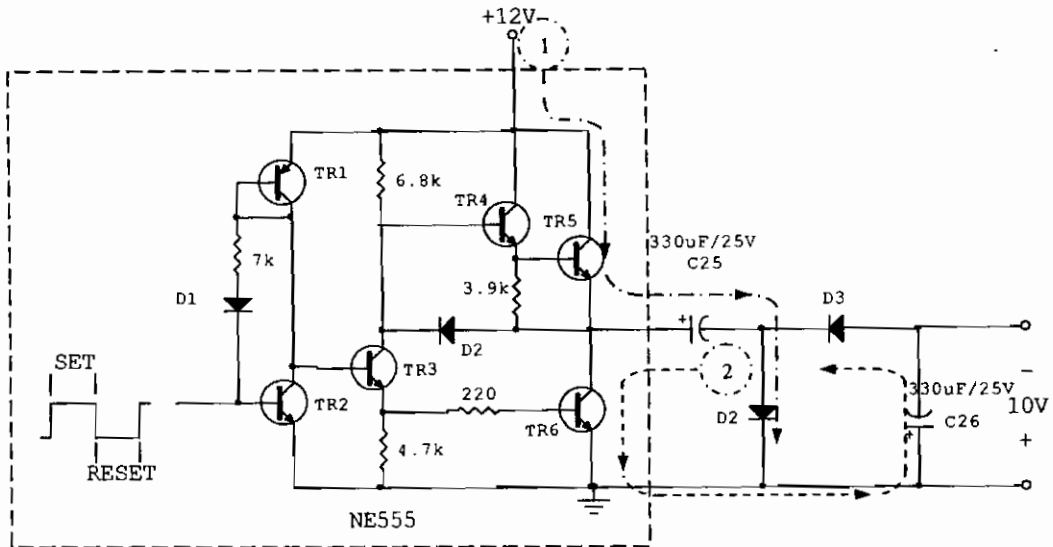
วงจรฟลิปฟลوبเข้าสู่สภาวะของการเชื่อมต่อก็หมายความว่าเมื่อเอาต์พุตของ ไอซีดังกล่าวมีเพียง เอาต์พุตเดียวคือเอาต์พุตที่ขา 3 เรียกว่าเอาต์พุตมีเพียง 1 บิตเมื่อฟลิปฟลอบสั่งงานเป็น สภาวะเช็ต จึง เท่ากับว่าขณะนี้ทำให้ขา 3 มีแรงดันไฟฟ้าเป็น ไช แรงดันไฟที่ขา 3 จึงขับสูงขึ้นไปถัดคีบกับ แหล่งจ่ายไฟ B_1 แรงดันไฟของขา 3 จึงจ่ายข้อนกลับนาบัง R_{36} และชาร์จประจุที่ C_{23} ทำให้ แรงดันไฟของคาปัซิเตอร์ C_{23} สูงขึ้นจนทำให้แรงดันไฟสูงขึ้นถึงระดับ 2 ใน 3 ของแหล่งจ่าย B_1 จึง ทำให้วงจรบังคับฟลิปฟลอบไปเข้าสู่สภาวะการรีเซ็ต นั่นหมายถึงว่าสภาวะของเอาต์พุตขา 3 ของ $IC5$ ตามรูป มีสภาวะเป็น โลว์ เมื่อขา 3 มีสภาวะเป็นโลว์หรือเท่ากับลักษณะขา 3 ไปหากราด์ ทำ ให้คาปัซิเตอร์ C_{23} ดิชาร์จประจุผ่าน R_{36} เพื่อเข้าไปที่ขา 3 และคาบประจุลงกราวด์เพื่อจะครบถ้วน กับคาปัซิเตอร์ C_{23} ซึ่งต่อไว้กับกราวด์ด้วยเดลว์ทำให้แรงดันไฟที่เป็นประจุของคาปัซิเตอร์ C_{23} ลดลง

เมื่อ C_{23} คาบประจุคล่องแรงดันไฟตกคร่อมคาปัซิเตอร์ C_{23} ลดลงจนถึงระดับตั้งแต่ 1 ใน 3 ของแหล่งจ่าย B_1 ย่อมเกิดผลต่อการทำงานของอินพุตขา 2 ของ $IC5$ ทำให้ไอซีเข้าสู่สภาวะ ของการสั่งฟลิปฟลีบอนให้เป็นเช็คกลับไปเหมือนกับตอนแรก เอาต์พุตขา 3 ของไอซีจึงมีสภาวะเป็น ไช ผลของสภาวะที่เป็นไชจึงส่งผลข้อนกลับนาบัง R_{36} และชาร์จเข้าไปที่ C_{23} อีกรั้งหนึ่ง การ ทำงานของ $IC5$ จึงมีการทำงานได้อย่างต่อเนื่อง ผลิตความถี่เป็นสัญญาณพัลส์ออกไปทางขา 3 อย่างต่อเนื่อง และมีค่าความถี่ใช้เคิลไปถัดคีบ 50% มากที่สุด

จากการทำงานดังภาพประกอบ 3.11 หากคุณพะเอาต์พุตที่บังคับโดยฟลิปฟลอบ สามารถ คุยกำเนิดแรงดันไฟ -10 V ได้จากภาพประกอบ 3.12 โดย สามารถเรียงลำดับการทำงานได้ ดังต่อไปนี้

1. ในสภาวะที่ฟลิปฟลีบอนสั่งงานเป็นสภาวะเช็ต

เมื่อฟลิปฟลอบสั่งงานเป็นสภาวะของการเช็ต พบร่วมทรานซิสเตอร์ภายในของ $NE555$ ซึ่ง อยู่ในรูปของ $TR1$ ทำหน้าที่เป็นหน่วยเรกูเลเตอร์ เพื่อจ่ายกระแสให้กับวงจรทางด้านเอาต์พุต โดยเฉพาะจ่ายเป็นใบอัสให้กับทรานซิสเตอร์ $TR2$ และ $TR3$ ในภาวะนี้ฟลิปฟลอบจ่ายแรงดันไฟ เป็นเช็ต หรือสภาวะไช ให้กับทรานซิสเตอร์ $TR2$ ทำให้ทรานซิสเตอร์ $TR2$ นำกระแสได้ การที่ ทรานซิสเตอร์ $TR2$ นำกระแสนั้นย่อมจะดึงใบอัสที่ส่งไปยังขาเบสของทรานซิสเตอร์ $TR3$ ให้ ลดลง ทำให้ทรานซิสเตอร์ $TR3$ หยุดการนำกระแส เมื่อทรานซิสเตอร์ไม่สามารถนำกระแสได้ แรงดันไฟ +12 V ที่จ่ายเข้าไปทางขา 8 ของไอซี $NE555$ จึงจ่ายผ่าน R ที่มีค่า $6.8k\Omega$ ไปยังขา เบสของทรานซิสเตอร์ $TR4$ และทรานซิสเตอร์ $TR4$ จะถูกเป็นหน่วยขับให้กับทรานซิสเตอร์ $TR5$



ภาพประกอบ 3.12 การทำงานของวงจรปั๊มแรงดันเพื่อกำเนิดไฟ -10 V

โดยไอซี Timer 555

เมื่อทรานซิสเตอร์ TR5 ได้รับไบแอสจากไครฟ์ทำให้ทรานซิสเตอร์ TR5 มีสภาวะของการเป็นสวิตช์ต่อวงจรแต่ทรานซิสเตอร์ TR6 จะไม่มีไบอัสจึงหยุดนำกระแส(เพราะทรานซิสเตอร์ TR6 จะนำกระแสได้นั้นจะได้รับไบอัสมาจาก TR3 เท่านั้น) ขณะนี้แรงดันไฟที่จ่ายออกไปที่ขา 3 ของไอซีจานแรงดันไฟไกคลีบิ่งกับ แรงดัน B_1 (+12 V) แรงดันไฟดังกล่าวจะชาร์จไปที่ C_{25} ผ่าน ไคโอด D_2 ไปหาแรงดันไฟศักย์ลบ ค่าปั๊ตเตอร์ C_{25} จะเก็บประจุไว้ได้ไกคลีบิ่ง +12V (ตามกระแสหมายเลข 1 ดังภาพประกอบ 3.12)

2. ในการวัดวงจรพลีบลีบสั่งงานรีเซ็ต

เมื่อวงจรพลีบลีบสั่งงานเป็นรีเซ็ต ย่อมทำให้ทรานซิสเตอร์ TR2 ไม่สามารถนำกระแสได้ ทรานซิสเตอร์ TR2 เปิดโอกาสให้กระแสที่ขาคอลเลกเตอร์ของ TR2 ไหลเข้าไปไบอัส ทรานซิสเตอร์ TR3 ได้ ผลจากการทำงานของทรานซิสเตอร์ TR3 ทำให้ทรานซิสเตอร์ไปดึงกระแสที่จะเข้าไปขึ้นบนของ TR4 ให้ผ่านทรานซิสเตอร์ TR3 แทนทำให้ทรานซิสเตอร์ TR4 ไม่สามารถนำกระแสได้ เมื่อ TR4 ไม่นำกระแสจะทำให้ TR5 ซึ่งรับกระแสไครเวอร์จาก TR4 หยุดนำกระแสไปอีกหนึ่งตัวด้วย และถ้าวงจร TR4 และ TR5 ขึ้นหยุดนำกระแสไม่ทันตามเวลา TR3 ขึ้นเมื่อไคโอด D_2 ที่ทำหน้าที่ดึงกระแสที่มาจากการชุดคนให้ผ่านไคโอดตัวนี้ และผ่านการทำงานของ TR3 เพื่อจะทำให้ทรานซิสเตอร์ TR3 ไบอัสให้กับ TR6 ได้อ้างเดิมที่ TR6 เมื่อได้รับกระแสไครเวอร์จาก TR3 จึงกลายเป็นสวิตช์ต่อวงจรนำเอาประจุของค่าปั๊ตเตอร์ C_{25} เข้าทางขา 3 ของไอซี ผ่าน TR6 ออกทางขา 1 ลงกราวด์(กลายเป็นกระแสหมายเลข 2) ผ่านไปชาร์จประจุให้ค่าปั๊ตเตอร์

เตอร์ C_{26} ก่อนจะส่งผ่านໄດ້ໂອດ D3 ຈຶ່ງທໍາຫັນທີ່ເປັນຕົວເຮັງກະຮະແສແລະໄປຄຣບກັນສັກຍົກລົມຂອງຄາປາຊີເຕອർ C_{25} ທຳໄໜ້ຄາປາຊີເຕອർ C_{26} ມີປະຈຸກົນໄວ້ຄືດເປັນຄ່າແຮງດັນໄຟໄມ່ນ້ອຍກວ່າ $10V$ ໂດຍສັກຍົກຂອງຄາປາຊີເຕອർ C_{26} ມີສັກຍົກວຸກເປັນກາວັດແລະສັກຍົກທີ່ຈຸດເອົາຕົ້ມູດເປັນສັກຍົກລົມ ນັ້ນກີ່ໝາຍດີ່ງໆ
ໝະນີເກີດແຮງດັນໄຟ $-10 V$ ຈຶ່ງນາແລ້ວ

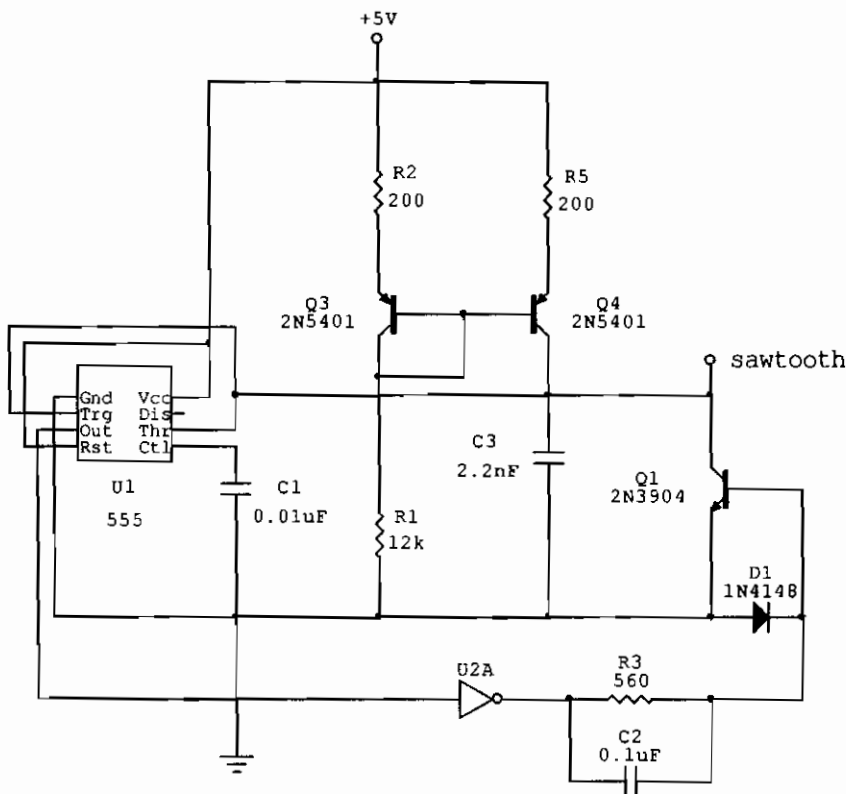
ແຮງດັນໄຟທີ່ການຂໍຍາຍສັງຢາຍທີ່ທຳກັງດ້ານອິນພຸດແລະທຳກັງດ້ານເອົາຕົ້ມູດຕ້ອງການຄື່ອແຮງດັນໄຟ $\pm 5V$ ແຮງດັນໄຟ $+5V$ ຈະໄດ້ມາຈາກການນຳເອາແຮງດັນໄຟ B_1 ສັງຜ່ານໄອຊີ REG 1 ເມອຣ 7805 ເພື່ອຈະໄໜ້ແຮງດັນໄຟ $+5V$ ເປັນແຮງດັນໄຟ B_2 ຈຶ່ງແສດງວ່າໄວ້ແລ້ວໃນຮູບ ສ່ວນແຮງດັນໄຟ $-5 V$ ນັ້ນ ຈະໄດ້ຈາກແຮງດັນໄຟ $-10 V$ ຈຶ່ງເກີດຂຶ້ນທີ່ດ້ວຍຄາປາຊີເຕອർ C_{26} ໂດຍນຳເອາແຮງດັນໄຟ $-10 V$ ສັງຜ່ານໄອຊີເຣກູເລເຕອຣ 3 ຂາ ທີ່ອູ້ໃນຮູບ REG 2 ເມອຣ 7905 ເພື່ອດັ່ງຮະດັບແຮງດັນໄຟຄົງທີ່ຈາກ $-10V$ ໄກສົດແຮງດັນໄຟຄົງທີ່ $-5 V$ ໂດຍມີຄາປາຊີເຕອർ C_3 ທໍາຫັນທີ່ເປັນໜ້າວ່າຍສໍາຮອງແຮງດັນໄຟ

บทที่ 4

ผลการทดลอง

4.1 วงจรสร้างสัญญาณฟันเดือย

ในการทดลองต่อวงจรดังภาพประกอบ 4.1 เพื่อทำการทดสอบว่าตัวเก็บประจุค่าต่างๆ จะต้องใช้กระแสเท่าใดในการชาร์ตตัวเก็บประจุเพื่อให้ได้ความถี่ที่ต้องการ โดยที่สัญญาณไม่เพี้ยน ในการทดลองได้เลือกตัวเก็บประจุ 2.2nF , 10nF และ 22nF ทำการเพิ่มกระแสจนได้ความถี่ที่ต้องการ บันทึกค่ากระแสในการชาร์ตตัวเก็บประจุ เพิ่มความถี่ที่ต้องการขึ้นไปจนสัญญาณที่สร้างเพี้ยน ทำเช่นนี้จนตัวเก็บประจุครบรั้งทั้งสามตัว ซึ่งผลการทดลองแสดงดังตาราง 4.1



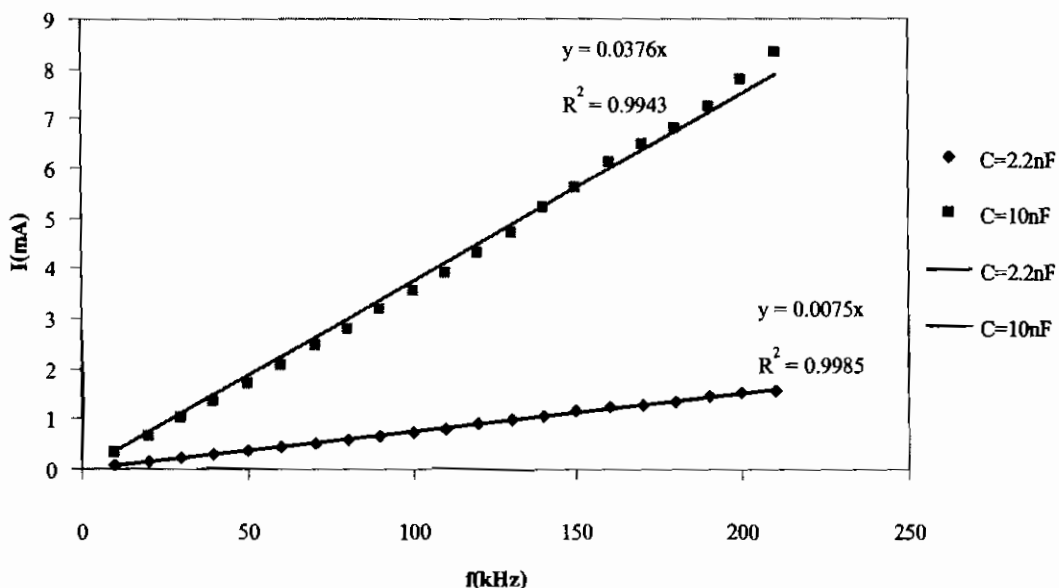
ภาพประกอบ 4.1 วงจรสร้างสัญญาณฟันเดือยที่ใช้ในโครงงาน

ตาราง 4.1 ค่ากระแสในการชาร์ตตัวเก็บประจุค่าต่างๆ เมื่อต้องการสัญญาณที่มีความถี่เพิ่มขึ้น

f(kHz)	I(mA)		
	$C_3 = 2.2nF$	$C_3 = 10nF$	$C_3 = 22nF$
10	0.0728	0.3318	0.7414
20	0.1445	0.6683	1.48
30	0.2192	0.9983	2.273
40	0.2869	1.3482	3.012
50	0.3618	1.7033	3.802
60	0.4326	2.045	4.56
70	0.5078	2.44	5.45
80	0.5804	2.8	6.135
90	0.6546	3.1886	6.99
100	0.7287	3.543	8.035
110	0.8032	3.913	8.8
120	0.9855	4.286	เพิ่มน
130	0.9735	4.7	เพิ่มน
140	1.046	5.199	เพิ่มน
150	1.168	5.588	เพิ่มน
160	1.2165	6.1048	เพิ่มน
170	1.2643	6.4839	เพิ่มน
180	1.3515	6.7383	เพิ่มน
190	1.4606	7.233	เพิ่มน
200	1.5035	7.77	เพิ่มน
210	1.5563	8.3	เพิ่มน
220	เพิ่มน	เพิ่มน	เพิ่มน

จากตาราง 4.1 พนวณกระแสที่จะเป็นตัวกำหนดความถี่ดังนั้นการเพิ่มความถี่ให้สูงขึ้นจะทำโดยการเพิ่มค่ากระแสไฟฟ้าจากแหล่งจ่ายกระแสที่เนื่องจากเมื่อกระแสที่ชาร์ตสูงขึ้นจะทำให้เวลาที่ใช้ในการชาร์ตตัวเก็บประจุมีค่าน้อยลงจึงเป็นผลให้ความถี่สูงขึ้น แต่กระแสที่สามารถเพิ่มได้สูงสุด

โดยที่สัญญาณเอต์พุตไม่เพียงจะถูกกำหนดโดยแรงดันเอต์พุตสูงสุดและค่าความด้านทานที่ต่ออยู่กับขาอิมิตเตอร์ของทรานซิสเตอร์ ซึ่งจากการทดสอบพบว่ากระแสสูงสุดประมาณ 8 mA เนื่องจากแรงดันที่ต่อกรุ่นตัวด้านทานและทรานซิสเตอร์จะต้องน้อยกว่า 1.6 V เพราะแรงดันเอต์พุตสูงสุดเท่ากับ 3.4 V ซึ่งถ้ากระแสมากกว่า 8 mA จะทำให้แรงดันที่ต่อกรุ่นตัวด้านทานและทรานซิสเตอร์นี้ค่ามากกว่า 1.6 V ทำให้สัญญาณเพี้ยน

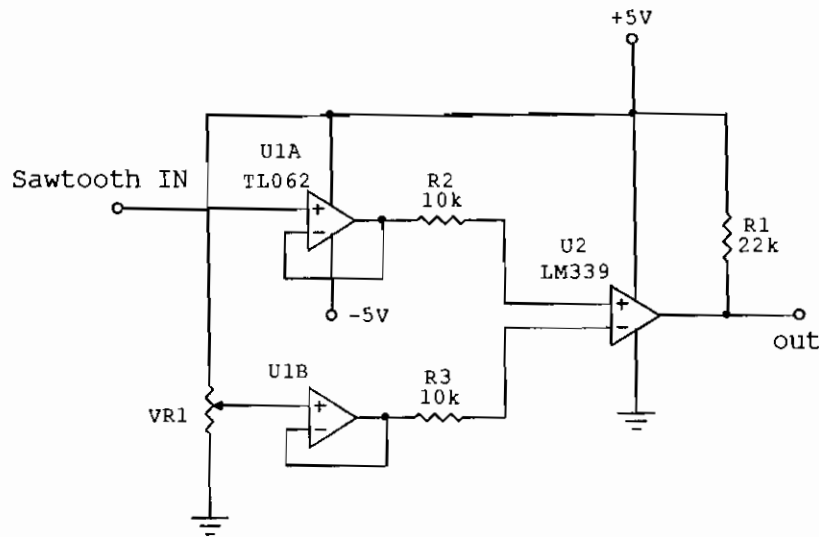


ภาพประกอบ 4.2 ความสัมพันธ์ระหว่างความถี่ที่สร้างได้กับกระแสที่ใช้ในการชาร์ตตัวเก็บประจุค่าต่างๆ

4.2 วงจรกำหนด $T_{ON(MAX)}$

ในการเลือกอุปกรณ์เพื่อทำหน้าที่เป็นวงจรคอมพาราเตอร์เพื่อเปรียบเทียบแรงดันอ้างอิงกับสัญญาณฟินเดื่อความสามารถพิจารณาโดยทดสอบค่าแรงดันอ้างอิงที่คิวตี้ไซเกลค่าต่างๆ ซึ่งในโครงการนี้เลือกทดสอบอุปกรณ์ NE5532 และ LM393 เนื่องจากเป็นอุปกรณ์ที่สามารถเข้าสู่สภาพการทำงาน (Active) ได้เร็ว

จากการทดสอบอุปกรณ์เบอร์ NE5532 ซึ่งมีคุณสมบัติดังๆ ดังรายละเอียดในภาคผนวก ก โดยทำการต่อวงจรดังภาพประกอบ 4.2 ป้อนสัญญาณฟินเดื่อไปแล้วทำการวัดสัญญาณเอต์พุตปรับ VR 1 ให้ได้ค่าคิวตี้ไซเกลที่ต้องการบันทึกแรงดันอ้างอิงที่วัดได้ ซึ่งได้ผลการทดสอบดังตาราง 4.2

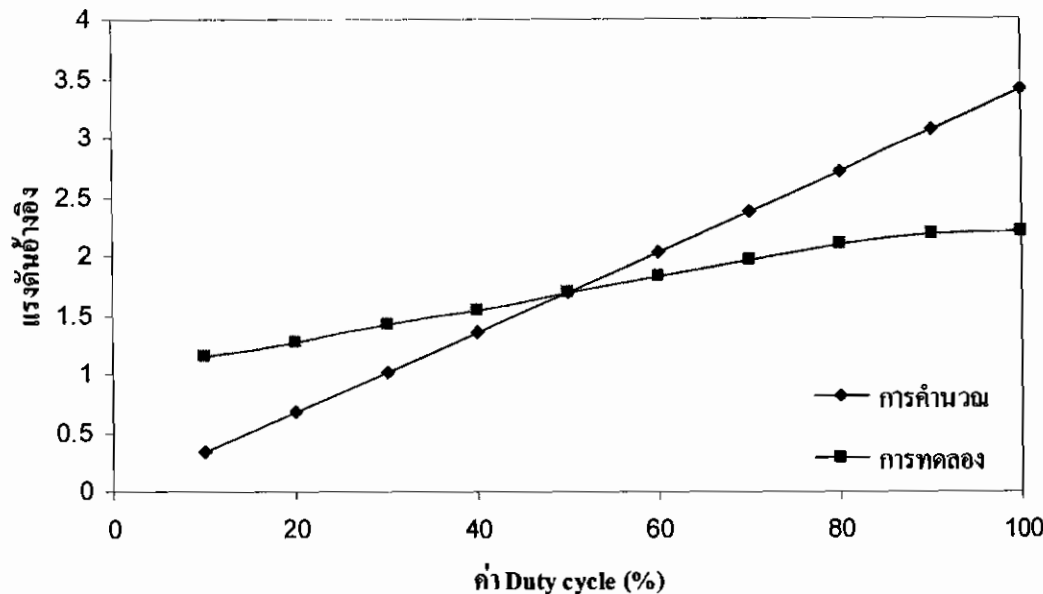


ภาพประกอบ 4.3 วงจรทดสูนอปเปอเรนปีเพื่อนำมาใช้เป็นคอมพาราเตอร์

ตาราง 4.2 แรงดันอ้างอิงที่วัดได้เมื่อเปลี่ยนค่าคิวตี้ไซเกิล โดยใช้อปเปอเรนปีเบอร์ NE5532 เป็นคอมพาราเตอร์

$D(\%)$	V_{ref}		
	จำนวน	ทดลอง	ความคลาดเคลื่อน(%)
10	0.34	1.16	241.17
20	0.68	1.27	173.53
30	1.02	1.42	117.65
40	1.36	1.55	55.88
50	1.70	1.69	2.90
60	2.04	1.83	61.76
70	2.38	1.96	123.53
80	2.72	2.1	182.35
90	3.06	2.18	258.82
100	3.4	2.21	350.00
ความคลาดเคลื่อนเฉลี่ย(%)			156.00

จากตาราง 4.2 พนว่าค่าแรงดันอ้างอิงที่ได้จากการทดสอบของอปเปอร์ NE5532 สามารถนำมาเปรียบเทียบค่าแรงดันอ้างอิงจากการคำนวณและการทดลองได้ดังภาพประกอบ 4.3



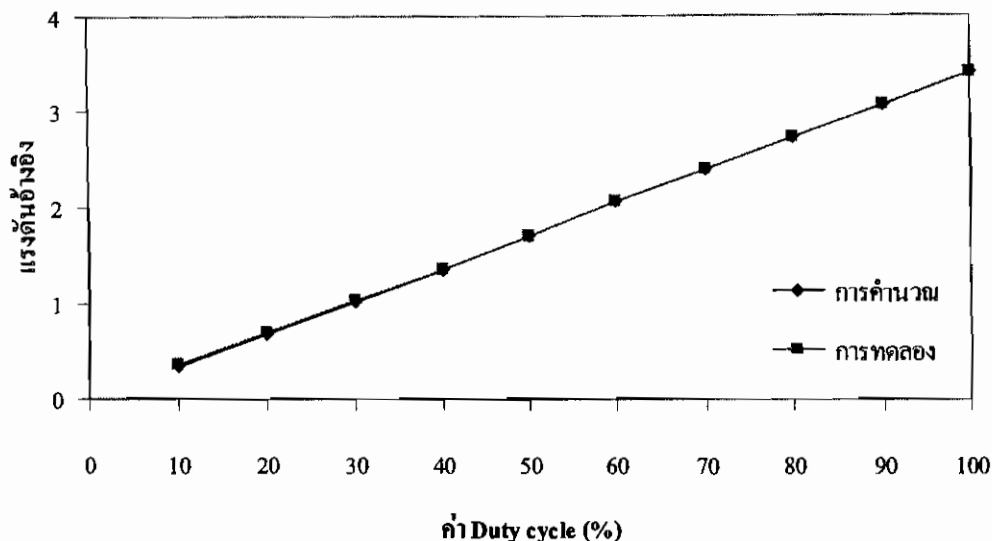
ภาพประกอบ 4.4 ค่าแรงดันอ้างอิงจากการคำนวณกับการทดลองเมื่อนำอปเปอร์ NE5532 เป็นคอมพาราเตอร์

ผลการทดสอบดังภาพประกอบ 4.3 พนว่าแรงดันอ้างอิงที่ได้จากการทดลองกับค่าที่ได้จากการคำนวณแตกต่างกันมากซึ่งให้ค่าความคลาดเคลื่อนเฉลี่ยร้อยละ 156 ซึ่งไม่เหมาะสมกับการนำมาสร้างวงจรกำหนด $T_{ON(MAX)}$ ดังนั้นจึงได้ทำการทดสอบของอปเปอร์ LM393 ซึ่งมีคุณสมบัติต่างๆ ดังรายละเอียดในภาคผนวก ก โดยวิธีการทดสอบจะหมื่นกับอปเปอร์ NE5532 ซึ่งได้ผลการทดสอบดังตาราง 4.3

ตาราง 4.3 แรงดันอ้างอิงที่วัด ได้เมื่อเปลี่ยนค่าความชื้นเกลต์ โดยใช้อุปกรณ์เบอร์ LM393 เป็นคอมพาราเตอร์

$D(\%)$	V_{CON}		
	คำนวณ	ทดลอง	ความคลาดเคลื่อน(%)
10	0.34	0.35	2.90
20	0.68	0.69	2.90
30	1.02	1.03	2.90
40	1.36	1.36	0.00
50	1.70	1.70	0.00
60	2.04	2.05	2.90
70	2.38	2.38	0.00
80	2.72	2.73	2.90
90	3.06	3.06	0.00
100	3.40	3.40	0.00
ความคลาดเคลื่อนเฉลี่ย			1.74

จากตาราง 4.3 ได้นำข้อมูลเขียนกราฟเพื่อเปรียบเทียบแรงดันอ้างอิงที่ได้จากการทดลองและการคำนวณได้ดังภาพประกอบ 4.4



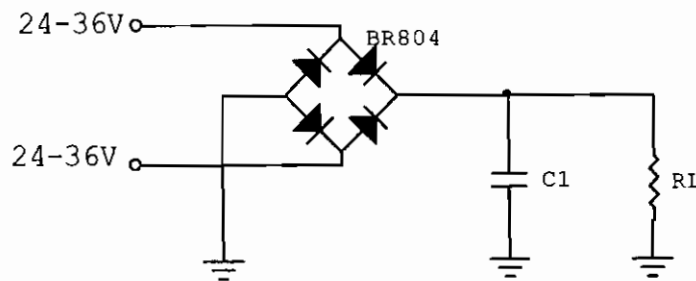
ภาพประกอบ 4.5 ค่าแรงดันอ้างอิงจากการคำนวณกับการทดลองเมื่อใช้ออปแอมป์เบอร์ LM 393 เป็นคอมพาราเตอร์

จากภาพประกอบ 4.4 พบร่วมกับค่าแรงดันอ้างอิงจากการคำนวณกับการทดลองของออปแอมป์เบอร์ NE5532 มีค่าที่ใกล้เคียงกันมากโดยมีความคลาดเคลื่อนเฉลี่ยร้อยละ 1.74 ซึ่งเหมาะสมที่จะนำมาใช้เป็นคอมพาราเตอร์

จากตาราง 4.2 และ 4.3 พบร่วมกับค่าแรงดันอ้างอิงที่ได้วัดได้ค่าต่างๆ เท่ากับร้อยละ 156 ซึ่งมีความคลาดเคลื่อนที่สูงมาก เมื่อเปรียบเทียบกับออปแอมป์เบอร์ LM393 ที่นำมาสร้างเป็นคอมพาราเตอร์ให้ค่าแรงดันอ้างอิงตามที่ออกแบบไว้โดยมีความคลาดเคลื่อนเฉลี่ยร้อยละ 1.79 ซึ่งน้อยมากและอยู่ในขอบเขตที่ยอมรับได้ ดังนั้นในโครงงานนี้จึงเลือกใช้ออปแอมป์เบอร์ LM393 เป็นคอมพาราเตอร์

4.3 การทดสอบค่าค่าปานิชเดอร์ในวงจรเรียงกระแสและวงจรกรองแรงดันด้านอินพุต

การออกแบบค่าค่าปานิชเดอร์ในวงจรเรียงกระแสและวงจรกรองแรงดันด้านอินพุตเพื่อให้ได้แรงดันไฟฟ์ที่มีริบเป็นหนึ่งใน 12-36 โวลต์ เพื่อเป็นแรงดันอินพุตของคอนเวอร์เตอร์ จะทำการทดสอบวงจรโดยป้อนแรงดันไฟฟ์ที่แรงกว่าจริงเรียงกระแสเดิมคลื่นดังภาพประกอบ 4.5 และพิจารณาแรงดันต่อกรุ่มโหลด $R_L = 100\text{k}\Omega$ ที่ค่าปานิชเดอร์ค่าต่างๆ ได้ผลดังตาราง 4.4

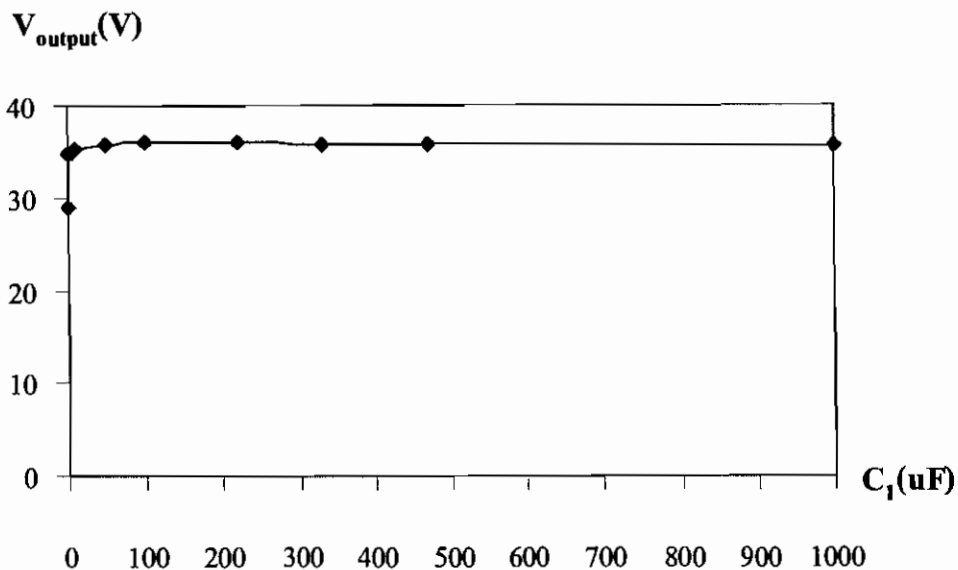


ภาพประกอน 4.6 วงจรเรียงกระแสและกรองแรงดัน

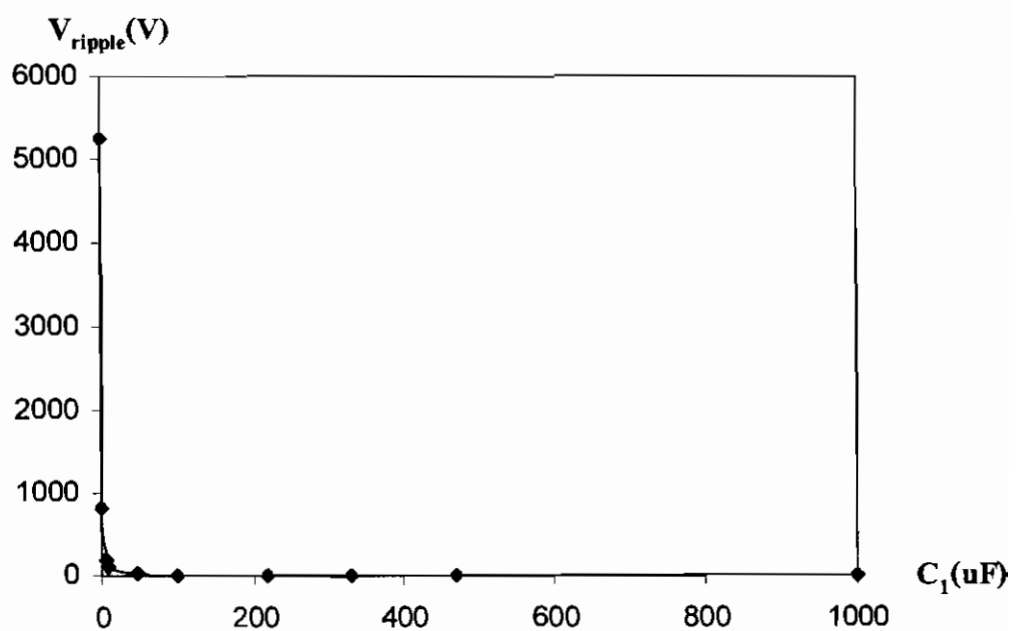
ตาราง 4.4 ผลการทดลองของวงจรเรียงกระแสและกรองแรงดัน เมื่อ $R_L = 100\text{k}\Omega$

$C_1(\mu\text{F})$	$V_o(V)$	$V_{ripple,rms}(mV)$
0.1	28.9	5230
1	34.8	800
4.7	35.07	200
10	35.15	95.03
47	35.77	22.5
100	35.87	7.5
220	35.9	5.01
330	35.75	3.7
470	35.70	2.7
1000	35.40	1.2
$V_{o,avg} = 34.83$		$V_{ripple,avg} = 636.77$

จากตาราง 4.4 สามารถนำค่าแรงดันขาออกและแรงดันริปเปิลมาเปรียบเทียบกันพบว่าเมื่อค่าคากาชีเตอร์มีค่าเพิ่มขึ้น แรงดันขาออกยังคงมีค่าใกล้เคียงกัน โดยจะมีค่าใกล้เคียงกับแรงดันเฉลี่ยคือ 34.83 โวลต์ซึ่งพิจารณาที่แรงดันริปเปิลจะพบว่าเมื่อค่าคากาชีเตอร์สูงขึ้น ริปเปิลจะลดลงเรื่อยๆ ซึ่งจะพิจารณาได้ดังภาพประกอน 4.7 และ 4.8



ภาพประกอบ 4.7 ความสัมพันธ์ระหว่างค่าความจุของตัวเก็บประจุค่าต่างๆ กับแรงดันเร่งดันเอาท์พุต



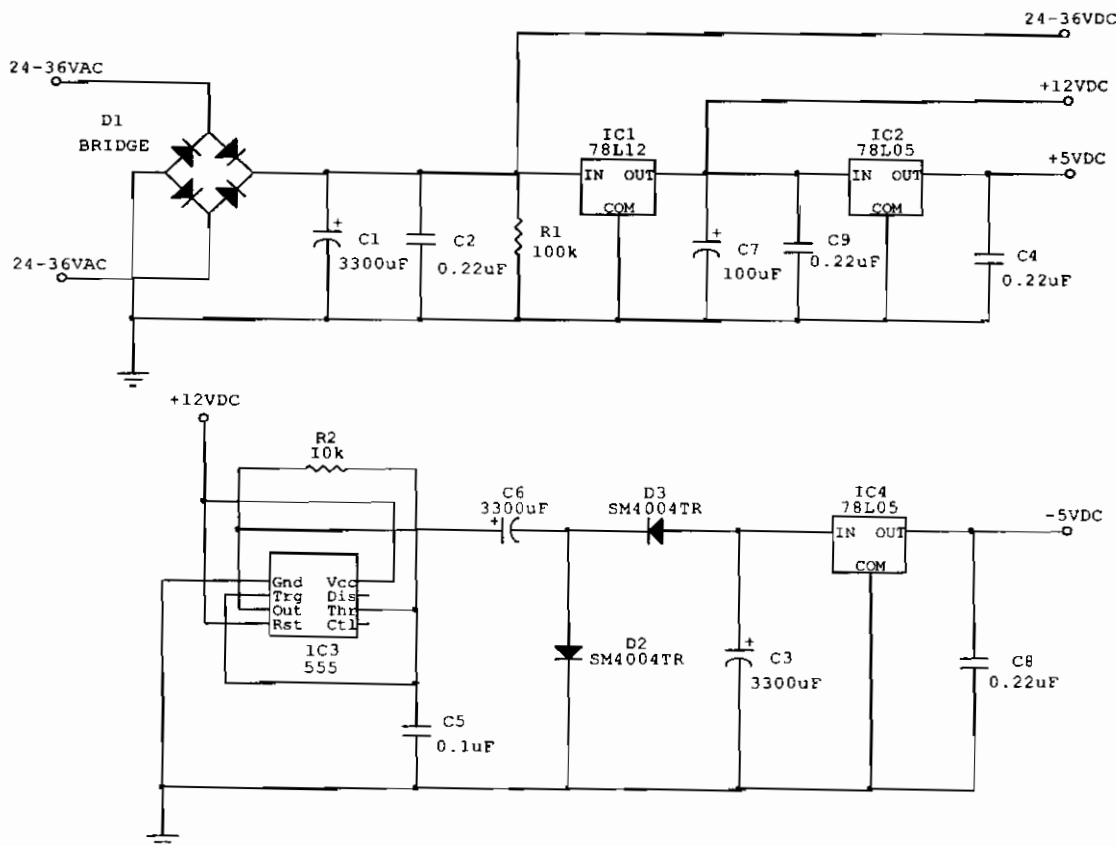
ภาพประกอบ 4.8 ความสัมพันธ์ระหว่างค่าความจุของตัวเก็บประจุค่าต่างๆ กับแรงดันเริงดันริปเปล

จากการทดสอบวัดค่าแรงดันตกคร่อมโหลดที่ค่าปั๊ซิเตอร์ค่าต่างๆ พบร่วมค่าปั๊ซิเตอร์ที่เหมาะสมต้องให้ค่าแรงดันขาออกตามที่ต้องการและมีค่าแรงดันริปเปลน้อย จากผลการทดสอบ

ข้างต้นพบว่าค่าความปานกลางค่าให้ค่าแรงดันขาออกไกด์เคียงกันซึ่งมีค่าเฉลี่ยเท่ากับ 34.83 และตรงตามช่วงที่ออกแบบคือ 24-36V ดังนั้นในการเลือกค่าปานกลางที่เหมาะสมจึงต้องพิจารณาค่าแรงดันริบเปิดประกอบด้วยนั้นในการเลือกค่าปานกลางที่ให้แรงดันขาออกและมีริบเปิดน้อยที่สุดค่าปานกลาง 1000 μ F ที่ให้แรงดันขาออก 35.4 โวลต์ และมีริบเปิด 1.2mV ซึ่งจะพบว่าความสามารถที่จะยอมรับค่าริบเปิด 1.2mV ได้มากที่สุดเมื่อเพิ่มค่าปานกลางให้สูงขึ้นแต่ในโครงงานสามารถที่จะยอมรับค่าริบเปิด 1.2mV ได้มากที่สุดค่าปานกลางค่าสูงๆก่อนข้างหลาย

4.4 วงจรจ่ายไฟตรง +12V,+5Vและ-5V

การออกแบบและทดสอบการทำงานวงจรแหล่งจ่ายไฟ +12V,+5Vและ-5V ให้สามารถนำไปใช้เป็นไฟเลี้ยงในอุปกรณ์และไอซีในวงจรสวิตซ์เพาเวอร์ซัพพลาย ได้โดยที่วงจรสามารถคงแรงดันไฟเลี้ยง +12V,+5Vและ-5V และสามารถจ่ายกระแสเอาท์พุตตามความต้องการของไอซีที่นำมาใช้ได้ จะทำการทดสอบโดยป้อนแรงดันไฟตรง 24-36V ที่ได้จากการเรียงกระแสและการองแรงดันและพิจารณาที่ค่าโหลดต่างๆดังภาพประกอบ 4.9

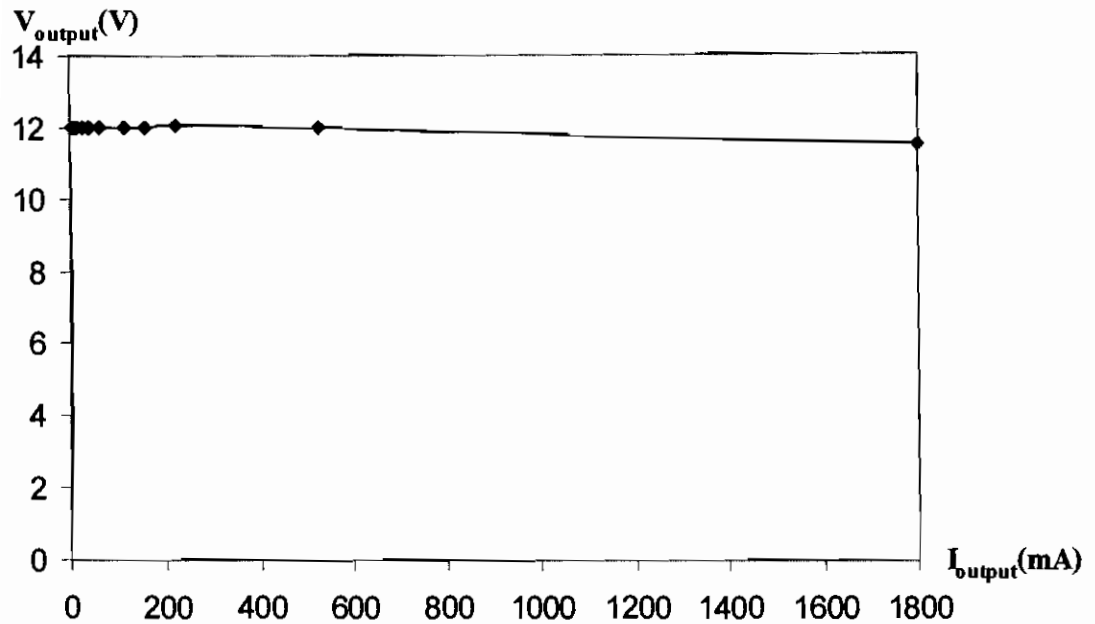


ภาพประกอบ 4.9 วงจรจ่ายไฟตรง +12V,+5Vและ-5V

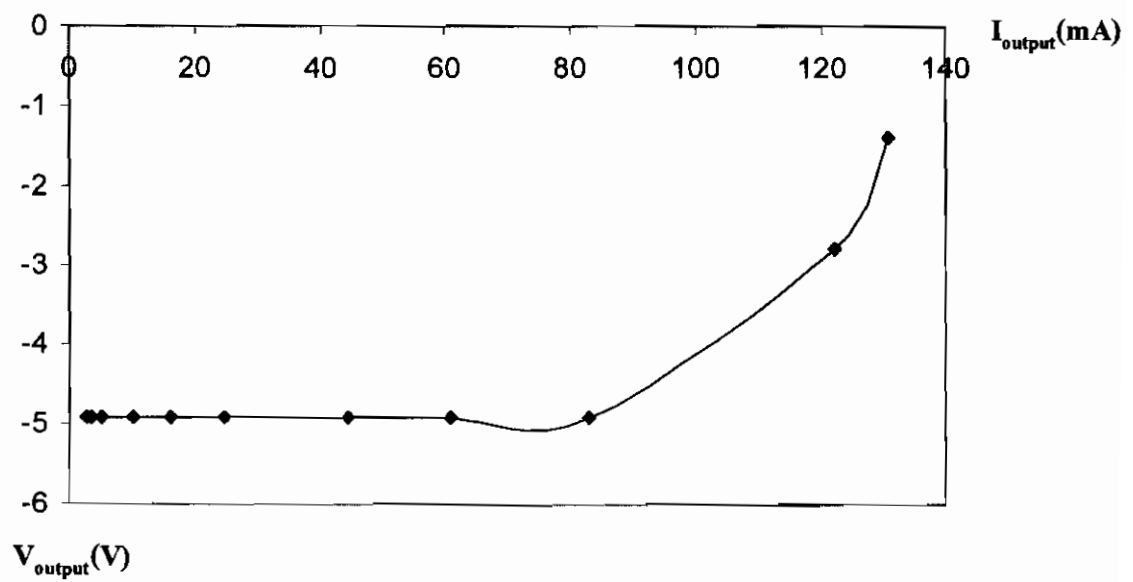
ตาราง 4.5 ผลการทดลองของวงจรจ่ายไฟตรง +12V,+5Vและ-5V ที่ค่า荷ลดต่างๆ

$R_L(\Omega)$	ผลการทดลอง					
	+12 V		+5 V		-5 V	
	V(V)	I(mA)	V(V)	I(mA)	V(V)	I(mA)
2k	12.01	6.09	5.00	2.53	-4.93	-2.5
1.5k	12.01	8.07	5.00	3.36	-4.93	-3.31
1k	12.01	12.15	5.00	5.05	-4.93	-4.98
500	12.01	24.07	5.00	9.95	-4.93	-9.82
300	12.01	38.81	5.00	16.18	-4.93	-15.97
200	12.01	60.23	5.00	24.87	-4.93	-24.55
100	12.01	111.8	5.00	47.42	-4.92	-44.36
76	12.01	157.8	5.00	61.71	-4.92	-60.7
54	12.03	221	5.00	84.55	-4.92	-83.3
22	12.01	525	5.08	223	-2.8	-122
10	11.53	1800	5.02	472	-1.4	-130.8

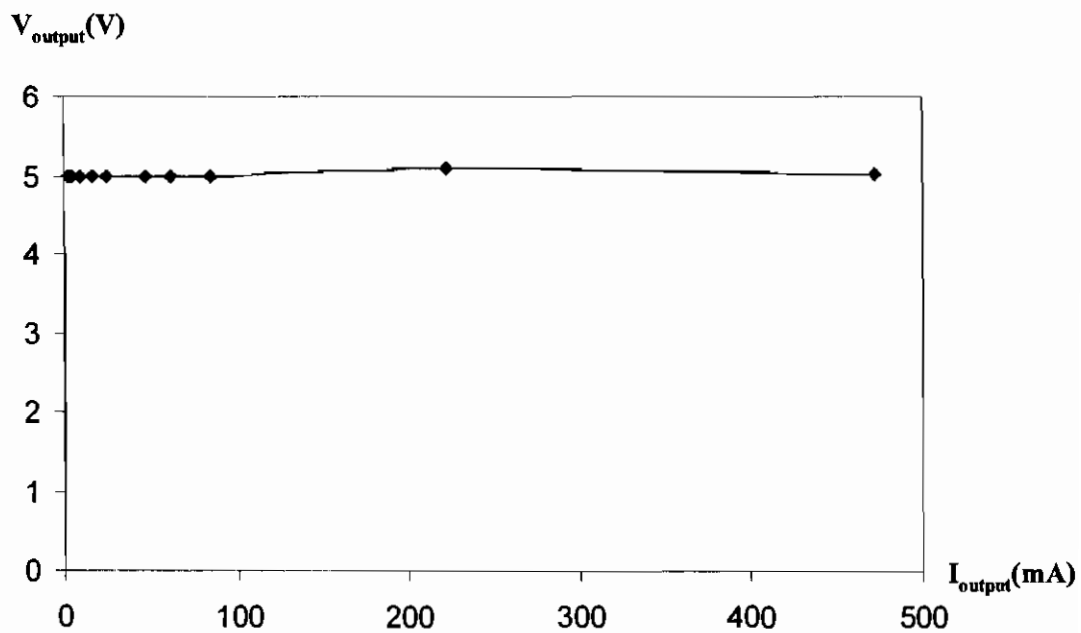
จากตาราง 4.5 เมื่อพิจารณาแรงดันขาออก +12 โวลต์ พบว่าเมื่อ R_L มีค่าเพิ่มขึ้นแรงดันขาออกมีค่าใกล้เคียงกับแรงดันที่ต้องการ 12 โวลต์แต่กระแสจะมีค่าลดลงเมื่อ荷ลดเพิ่มขึ้น ที่แรงดันขาออก +5V พบร้าแรงดันจะมีค่าใกล้เคียง 5V เมื่อ荷ลดมีค่าเปลี่ยนไป และกระแสมีค่าลดลงเมื่อ R_L เพิ่มขึ้น และที่แรงดันขาออก -5V จะพบว่าที่ R_L น้อยกว่า 54Ω วงจรไม่สามารถคงค่าแรงดัน -5V ได้ โดยแรงดันจะลดลงเมื่อพิจารณากระแสพบว่ากระแสจะลดลงเมื่อ R_L เพิ่มขึ้น จะเห็นว่าที่แรงดันไฟ +12V จะพบว่าที่กระแสน้อยกว่า 1800mA สามารถที่จะคงค่าแรงดันเอาท์พุต+12V ได้ ที่แรงดันไฟ-5V จะพบว่าที่กระแสน้อยกว่า 85 mA สามารถที่จะคงค่าแรงดัน -5V ได้ เมื่อกระแสเพิ่มสูงขึ้น วงจรไม่สามารถที่จะคงค่าแรงดันได้ โดยแรงดันเอาท์พุตจะลดลงเนื่องมาจากการกระแสที่เอาท์พุตของ Timer (555) (ภาพ ประกอบ 4.4) จ่ายกระแสได้เพียง 200mA และกระแสจะแบ่งไปใช้ในการชาร์ตประจุของตัวเก็บประจุ จึงเป็นผลให้แรงดันอินพุตของไอซี 7905 มีแรงดันลดลง นั่นคือที่กระแสมากกว่า 100 mA จึงไม่สามารถคงค่าแรงดันได้และที่แรงดันไฟ +5 V สามารถคงค่าแรงดันได้ที่กระแสสูงสุด 500 mA ดังนั้นจึงพิจารณาเปรียบเทียบระหว่างแรงดันกับกระแสดัง ภาพประกอบ 4.9, 4.10 และ 4.11



ภาพประกอบ 4.10 ความสัมพันธ์ระหว่าง I กับ V_{output} ของวงจรจ่ายแรงดันไฟ +12 V



ภาพประกอบ 4.11 ความสัมพันธ์ระหว่าง I กับ V_{output} ของวงจรจ่ายแรงดันไฟ -5 V

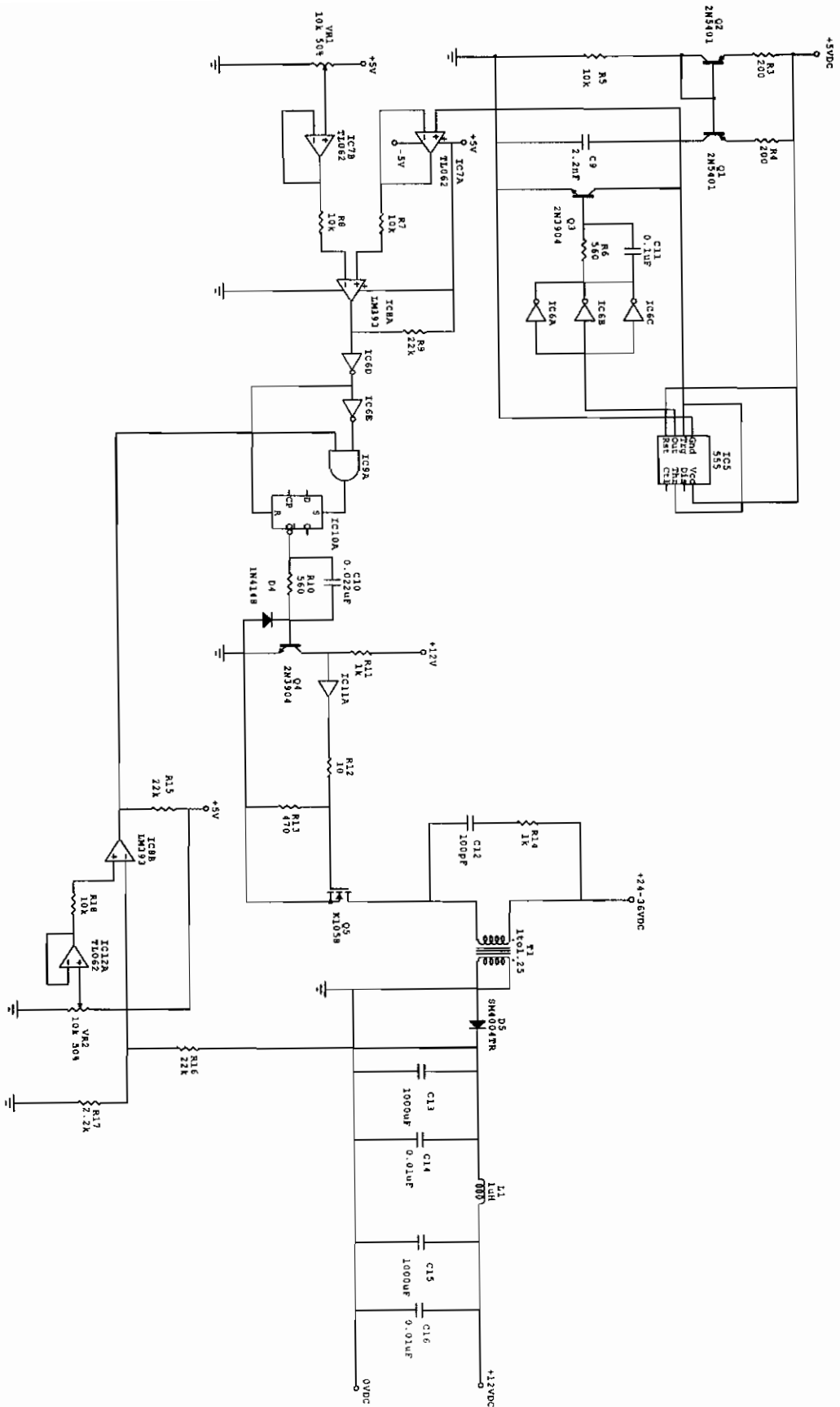


ภาพประกอบ 4.12 ความสัมพันธ์ระหว่าง I กับ V_{output} ของวงจรจ่ายแรงดันไฟ +5V

จากการทดสอบป้อนแรงดันให้กับอุปกรณ์ไอซีพบว่าที่แรงดัน 12 V,+5Vและ-5V ต้องการกระแสข้อขับสูตร $11.5\text{mA}, 20\text{mA}$ และ 6.67mA ซึ่งเมื่อพิจารณาที่แรงดัน 12V จะจ่ายกระแสให้ได้ ใกล้เคียงตามต้องการ 11.5mA ที่ $R_L = 1\text{k}\Omega$ ที่แรงดัน 5V จะจ่ายกระแสให้ได้ใกล้เคียงตามต้องการ 20mA ที่ $R_L = 200\Omega$ และที่แรงดัน -5V จะจ่ายกระแสให้ได้ใกล้เคียงตามต้องการ -6.67mA ที่ $R_L = 1\text{k}\Omega$ ดังนั้นวงจรจ่ายไฟตรง $+12V, -5V$ และ $+5V$ มีกำลังงานเพียงพอที่จะใช้ในการจ่ายให้กับ ไอซีชนิดต่างๆ ในวงจรสวิตชิ่งเพาเวอร์ชัพพลาย

4.5 วงจรสวิตชิ่งเพาเวอร์ชัพพลายที่ได้รับการออกแบบ

เมื่อนำวงจรในแต่ละส่วนที่ได้รับการออกแบบมาประกอบเข้าด้วยกันเพื่อทดสอบการทำงานของวงจรทั้งหมดซึ่งวงจรรวมและผลการทดสอบแสดงดังภาพประกอบ 4.13



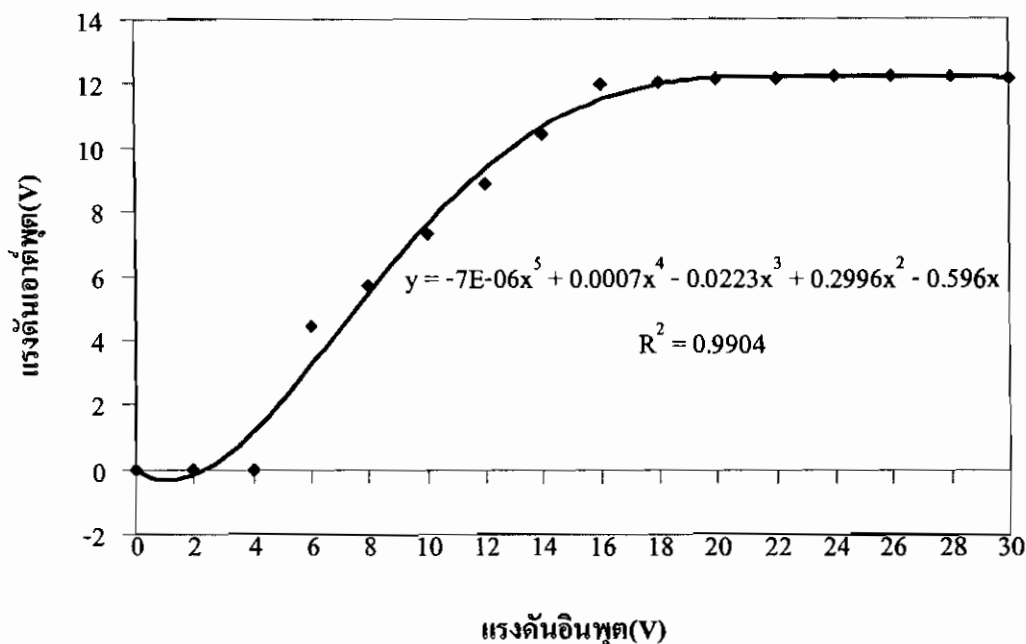
ภาพประกอบ 4.13 วงศ์สวิตซึ่งเพาเวอร์ชัพคลายที่ได้รับการออกแบบ

เมื่อนำงจรข้างต้นมาทำการทดสอบซึ่งได้ทดสอบที่กำลังเอาด้พุต 6 วัตต์ เนื่องจากเพาเวอร์ซัพพลายที่จ่ายแรงคันให้นั้นไม่สามารถจ่ายกระแสได้เพียงพอสำหรับการทดสอบที่กำลังเอาด้พุต 12 วัตต์ ซึ่งผลการทดสอบแสดงดังตาราง 4.6

ตาราง 4.6 ผลการทดสอบแรงดันเอาด้พุต (ทดสอบที่กำลัง 6 วัตต์)

$V_{IN}(V)$	$I_{IN}(A)$	$V_{OUT}(V)$	$I_{OUT}(A)$	$P_{IN}(W)$	$P_{OUT}(W)$	$\eta(\%)$
0	0	0	0.00	0.00	0.00	0.00
2	0	0	0.00	0.00	0.00	0.00
4	0	0	0.00	0.00	0.00	0.00
6	0.24	4.39	0.18	1.44	0.7902	54.875
8	0.29	5.67	0.23	2.32	1.3041	56.211
10	0.37	7.29	0.30	3.70	2.1870	59.108
12	0.44	8.87	0.37	5.28	3.2819	62.157
14	0.51	10.40	0.43	7.14	4.4720	62.633
16	0.58	11.96	0.49	9.28	5.8604	63.15
18	0.52	12.05	0.50	9.36	6.0250	64.369
20	0.48	12.16	0.50	9.60	6.0750	63.281
22	0.45	12.15	0.50	9.90	6.0800	61.414
24	0.42	12.21	0.50	10.08	6.1050	60.565
26	0.39	12.20	0.50	10.14	6.1000	60.158
28	0.36	12.18	0.50	10.08	6.0900	60.417
30	0.34	12.16	0.50	10.20	6.0800	59.608
ประสิทธิภาพเฉลี่ย						60.611

จากตาราง 4.6 สามารถเขียนกราฟแสดงความสัมพันธ์ได้ดังภาพประกอบ 4.14



ภาพประกอบที่ 4.14 ความสัมพันธ์ระหว่างแรงดันอินพุตกับแรงดันเอาต์พุต
(ทดสอบที่กำลัง 6 วัตต์)

จากภาพประกอบ 4.14 พบว่าแรงดันเอาต์พุตเริ่มคงที่เมื่อแรงดันอินพุตมากกว่า 16 V เพราะที่แรงดันอินพุตดังกล่าวมีกำลังเพียงพอที่จะจ่ายให้แก่โหลด และที่แรงดันอินพุตต่ำกว่า 16 V พบว่าแรงดันเอาต์พุตจะลดลงเรื่อยๆ เนื่องมาจากการทำงานของแหล่งจ่ายไฟเลี้ยงของวงจรควบคุมทำงานซึ่งไม่สมบูรณ์และที่แรงดันดังกล่าวมีกำลังไม่เพียงพอที่จะจ่ายให้แก่โหลดซึ่งทำให้แรงดันเอาต์พุตลดลง

บทที่ 5

สรุปและข้อเสนอแนะ

สรุป

โครงการนี้เป็นการศึกษาและออกแบบแหล่งจ่ายไฟฟ้ากระแสตรงแบบสวิตชิ่งซึ่งให้กำลังไฟฟ้าขนาด 12 วัตต์ จากการทดสอบพบว่าแหล่งจ่ายไฟฟ้ากระแสตรงแบบสวิตชิ่งที่สร้างขึ้นสามารถแปลงสัญญาณไฟฟ้ากระแสตรง 24-36 โวลต์ เป็นไฟฟ้ากระแสตรงขนาด 12 โวลต์ โดยความถี่ในการสวิตช์ 50 กิโลเฮริตซ์ มีค่าตัวเรซิสตันซ์ 40% ซึ่งสามารถจ่ายกระแสได้สูงสุด 1 แอม培ร์ มีแรงดันริบเปิดที่เอาต์พุตเท่ากับ 40 มิลลิโวลต์ ในการทดสอบส่วนการทำงานด้านอินพุต ซึ่งประกอบด้วยวงจรรองกระแทกและวงจรจ่ายแรงดันไฟเลี้ยงให้ส่วนการทำงานควบคุมแรงดัน พบว่าตัวเก็บประจุที่ใช้ในการกรองแรงดันเมื่อมีค่าสูงขึ้นจะทำให้แรงดันริบเปิดมีค่าที่ต่ำลง นอกจากนี้ได้ทำการทดสอบส่วนการทำงานของควบคุมแรงดันเอาต์พุต พบว่าในการเลือกอปเปอเรนซ์ที่จะใช้ในวงจรคอมพาราเตอร์ควรพิจารณาหลายเบอร์เพื่อให้ได้อปเปอเรนซ์ที่เหมาะสมในการใช้งานซึ่งในโครงการนี้ใช้อปเปอเรนซ์ LM393 เพราะให้ผลการทดลองที่ใกล้เคียงกับการคำนวณมากที่สุดและเมื่อนำมาอปเปอเรนซ์ดังกล่าวมาใช้ในวงจรควบคุมแรงดันเอาต์พุตพบว่าแหล่งจ่ายไฟฟ้ากระแสตรงแบบสวิตชิ่งที่ได้ทำการออกแบบสามารถคงค่าแรงดันเอาต์พุตได้

ข้อเสนอแนะ

1. เนื่องจากแรงดันด้านเอาต์พุตมีทรานเซิร์ฟอนข้างสูงจึงยังไม่สามารถนำไปใช้กับเครื่องใช้ไฟฟ้าได้ดังนั้นจึงควรศึกษาและทำการวิจัยเกี่ยวกับวงจรลดต่ำความดันเพิ่มเติม
2. ใน การออกแบบหน้าแดปเพลก์ควรคำนึงถึงความเห็นของผู้คนเพื่อผลของการรักษาแรงดันเอาต์พุต
3. เนื่องจากเมื่อแรงดันอินพุตมีค่าต่ำลงกระแสอินพุตจะสูงขึ้นเพื่อผลของการรักษาแรงดันเอาต์พุตให้คงที่ดังนั้นไม่ควรป้อนแรงดันอินพุตค่ากว่าค่าที่กำหนด



บรรณานุกรม



บรรณานุกรม

- สุวัฒน์ คัน. 2538. เทคนิคและการออกแบบสวิตชิ่งเพาเวอร์ซัพพลาย. กรุงเทพฯ : เอ็นแทลไทร.
- สมคิด วิริยประสิทธิชัยและสมบูรณ์ มาลานนท์. 2537. ทฤษฎีและการออกแบบแหล่งจ่ายไฟ
กระแสตรงแบบเชิงเส้น. กรุงเทพฯ : พิสิกส์เซ็นเตอร์.
- ชัด อินทะสี. 2540. วงจรไฟฟ้ากระแสตรง. กรุงเทพฯ : ชีเอ็ดยูเคชั่น, 688 หน้า.
- สมบูรณ์ มาลานนท์ และสมคิด วิริยประสิทธิชัย. 2541. แหล่งจ่ายไฟแบบสวิตชิ่ง
(Switching power supply). กรุงเทพฯ : พิสิกส์เซ็นเตอร์.
- พงศ์ธนวัช ชีพพิมลชัยและอ่อน ใจดินณี. สวิตชิ่งเพาเวอร์ซัพพลายเบื้องต้น. [online]. เข้าถึงได้จาก :
http://www.cpe.ku.ac.th/~yuen/204471/power/switching_regulator.

ภาคผนวก

ภาคผนวก ก.



2N5401

PNP Silicon Transistor

Description

- General purpose amplifier
- High voltage application

Features

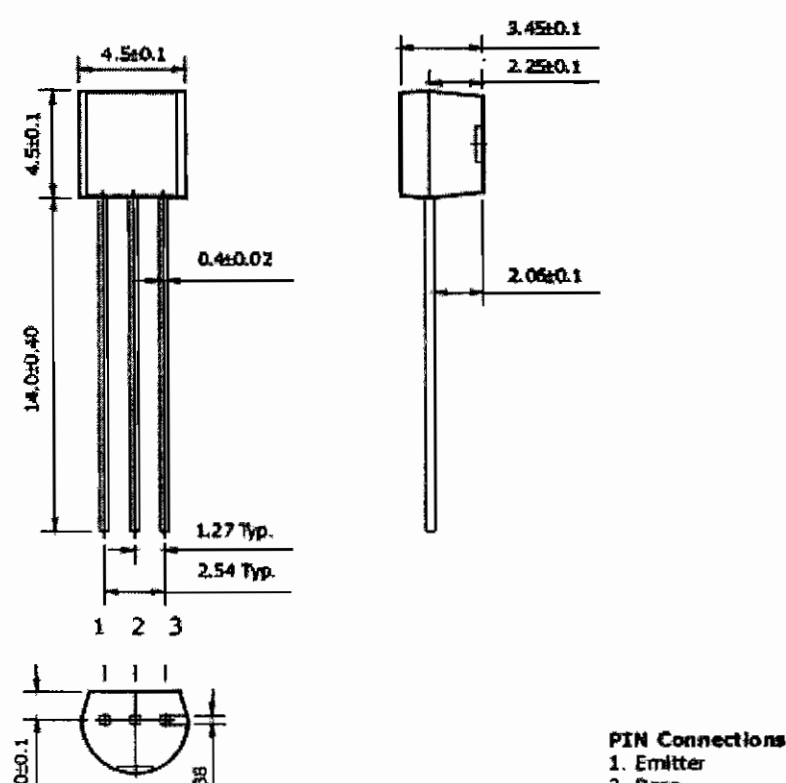
- High collector breakdown voltage : $V_{CEO} = -160V$, $V_{CEO} = -150V$
- Low collector saturation voltage : $V_{CE(sat)} = -0.5V$ (MAX.)
- Complementary pair with 2N5551

Ordering Information

Type NO.	Marking	Package Code
2N5401	2N5401	TO-92

Outline Dimensions

unit : mm



2N5401**Absolute maximum ratings**

(Ta=25°C)

Characteristic	Symbol	Ratings	Unit
Collector-Base voltage	V _{CBO}	-160	V
Collector-Emitter voltage	V _{CBO}	-150	V
Emitter-Base voltage	V _{EBO}	-5	V
Collector current	I _C	-600	mA
Collector dissipation	P _C	625	mW
Junction temperature	T _J	150	°C
Storage temperature	T _{stg}	-55~150	°C

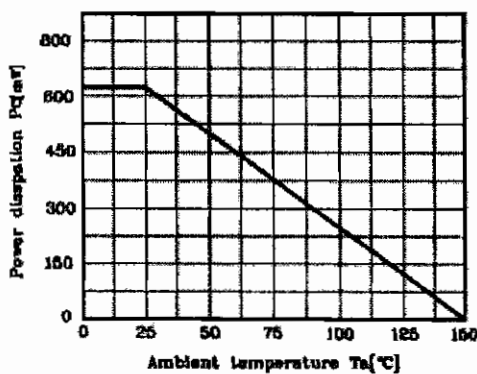
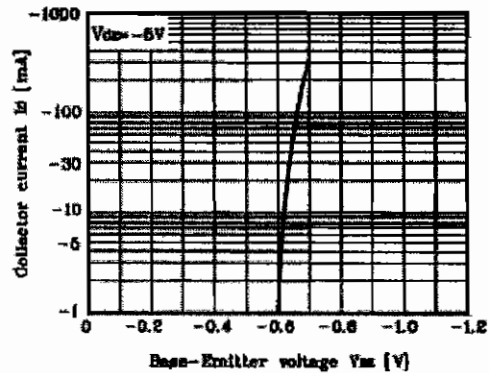
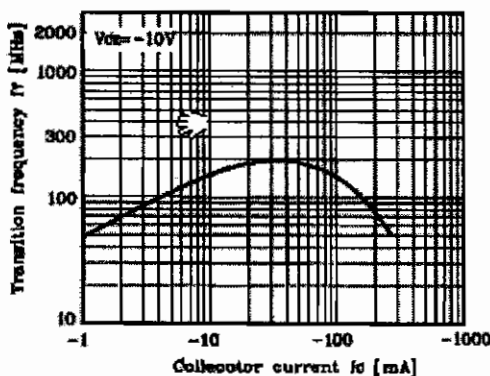
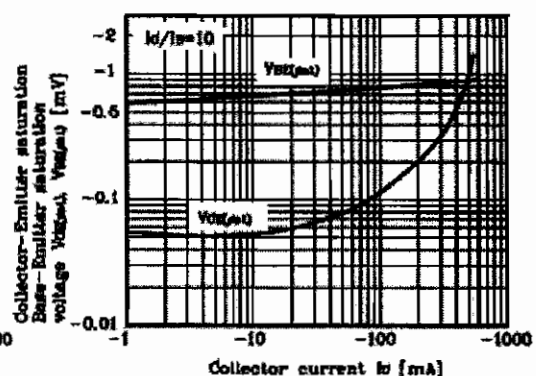
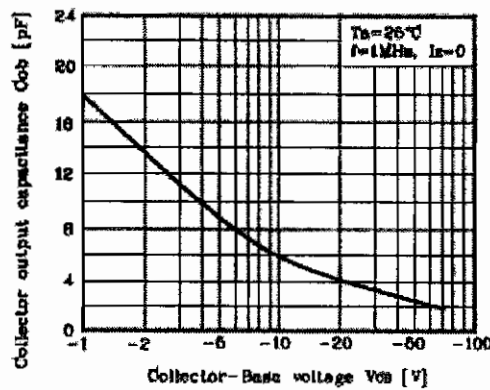
Electrical Characteristics

(Ta=25°C)

Characteristic	Symbol	Test Condition	Min.	Typ.	Max.	Unit
Collector-Base breakdown voltage	BV _{CBO}	I _C =-100μA, I _E =0	-160	-	-	V
Collector-Emitter breakdown voltage	BV _{CBO}	I _C =-1mA, I _E =0	-150	-	-	V
Emitter-Base breakdown voltage	BV _{EBO}	I _E =-10μA, I _C =0	-5	-	-	V
Collector cut-off current	I _{CBO}	V _{CE} =-120V, I _E =0	-	-	-100	nA
Emitter cut-off current	I _{EBO}	V _{EB} =-3V, I _C =0	-	-	-100	nA
DC current gain	h _{FE(1)}	V _{CE} =-5V, I _C =-1mA	50	-	-	-
DC current gain	h _{FE(2)}	V _{CE} =-5V, I _C =-10mA	60	-	240	-
DC current gain	h _{FE(3)}	V _{CE} =-5V, I _C =-50mA	50	-	-	-
Collector-Emitter saturation voltage	V _{CE(sat)(1)*}	I _C =-10mA, I _E =-1mA	-	-	-0.2	V
Collector-Emitter saturation voltage	V _{CE(sat)(2)*}	I _C =-50mA, I _E =-5mA	-	-	-0.5	V
Base-Emitter saturation voltage	V _{BE(sat)(1)*}	I _C =-10mA, I _E =-1mA	-	-	-1	V
Base-Emitter saturation voltage	V _{BE(sat)(2)*}	I _C =-50mA, I _E =-5mA	-	-	-1	V
Transition frequency	f _T	V _{CE} =-10V, I _C =-10mA	100	-	400	MHz
Collector output capacitance	C _{ob}	V _{CE} =-10V, I _E =0, f=1MHz	-	-	6	pF

*: Pulse Tester : Pulse Width ≤ 300μs, Duty Cycle ≤ 2.0%



2N5401**Electrical Characteristic Curves**Fig. 1 $P_C T_A$ Fig. 2 $I_C - V_{BE}$ Fig. 3 $f_T - I_C$ Fig. 4 $V_{CE(sat)}, V_{BE(sat)} - I_C$ Fig. 5 $C_{os} - V_{CB}$ 



March 1980

**CD4049UBM/CD4049UBC Hex Inverting Buffer
CD4050BM/CD4050BC Hex Non-Inverting Buffer**

CD4049UBM/CD4049UBC Hex Inverting Buffer CD4050BM/CD4050BC Hex Non-Inverting Buffer

General Description

These hex buffers are monolithic complementary MOS (CMOS) integrated circuits constructed with N- and P-channel enhancement mode transistors. These devices feature logic level conversion using only one supply voltage (V_{DD}). The input signal high level (V_{IH}) can exceed the V_{DD} supply voltage when these devices are used for logic level conversions. These devices are intended for use as hex buffers, CMOS to DTL/TTL converters, or as CMOS current drivers, and at $V_{DD} = 5.0V$, they can drive directly two DTL/TTL loads over the full operating temperature range.

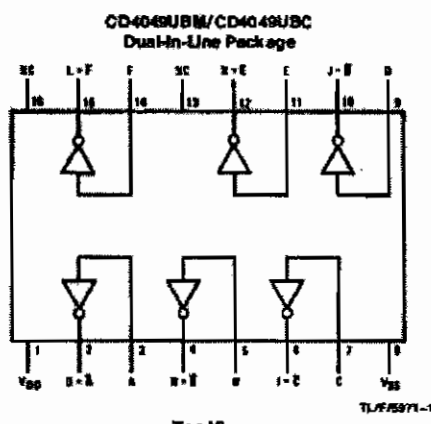
Features

- Wide supply voltage range 3.0V to 15V
- Direct drive to 2 TTL loads at 5.0V over full temperature range
- High source and sink current capability
- Special input protection permits input voltages greater than V_{DD}

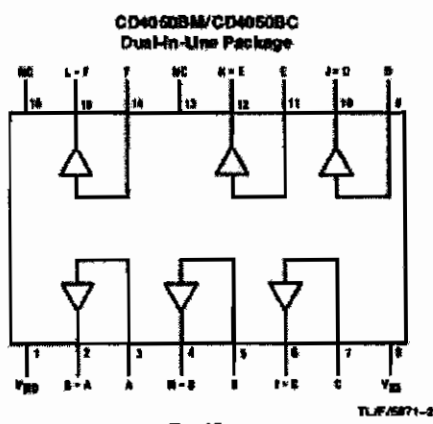
Applications

- CMOS hex inverter/buffer
- CMOS to DTL/TTL hex converter
- CMOS current "sink" or "source" driver
- CMOS high-to-low logic level converter

Connection Diagrams



Order Number CD4049UB or CD4049B



Order Number CD4050UB or CD4050B

Absolute Maximum Ratings (Notes 1 & 2)

If Military/Aerospace specified devices are required, please contact the National Semiconductor Sales Office/Distributors for availability and specifications.

Supply Voltage (V_{DD})	-0.5V to +18V
Input Voltage (V_{IN})	-0.5V to +18V
Voltage at Any Output Pin (V_{OUT})	-0.5V to V_{DD} + 0.5V
Storage Temperature Range (T_S)	-65°C to +150°C
Power Dissipation (P_D)	
Dual-In-Line	700 mW
Small Outline	500 mW
Lead Temperature (T_L) (Soldering, 10 seconds)	260°C

Recommended Operating Conditions (Note 2)

Supply Voltage (V_{DD})	3V to 18V
Input Voltage (V_{IN})	0V to 18V
Voltage at Any Output Pin (V_{OUT})	0 to V_{DD}
Operating Temperature Range (T_A)	
CD4049UBM, CD4050BM	-55°C to +125°C
CD4049UBC, CD4050BC	-40°C to +85°C

DC Electrical Characteristics CD4049M/CD4050BM (Note 2)

Symbol	Parameter	Conditions	-55°C		+25°C		+125°C		Units
			Min	Max	Min	Typ	Max	Min	
I_{DD}	Quiescent Device Current	$V_{DD} = 5V$	1.0		0.01	1.0		30	μA
		$V_{DD} = 10V$	2.0		0.01	2.0		60	μA
		$V_{DD} = 15V$	4.0		0.03	4.0		120	μA
V_{OL}	Low Level Output Voltage	$V_{IH} = V_{DD}, V_{IL} = 0V$, $ I_{OL} < 1 \mu A$							
		$V_{DD} = 5V$	0.05		0	0.05		0.05	V
		$V_{DD} = 10V$	0.05		0	0.05		0.05	V
		$V_{DD} = 15V$	0.05		0	0.05		0.05	V
V_{OH}	High Level Output Voltage	$V_{IH} = V_{DD}, V_{IL} = 0V$, $ I_{OL} < 1 \mu A$							
		$V_{DD} = 5V$	4.95		4.95	5		4.95	V
		$V_{DD} = 10V$	9.95		9.95	10		9.95	V
		$V_{DD} = 15V$	14.95		14.95	15		14.95	V
V_{IL}	Low Level Input ($V_{E_{VDD}}$ (CD4050BM Only))	$ I_{OI} < 1 \mu A$							
		$V_{DD} = 5V, V_O = 0.5V$	1.5		2.25	1.5		1.5	V
		$V_{DD} = 10V, V_O = 1V$	3.0		4.5	3.0		3.0	V
		$V_{DD} = 15V, V_O = 1.5V$	4.0		6.75	4.0		4.0	V
V_{IL}	Low Level Input Voltage (CD4049UBM Only)	$ I_{OI} < 1 \mu A$							
		$V_{DD} = 5V, V_O = 4.5V$	1.0		1.5	1.0		1.0	V
		$V_{DD} = 10V, V_O = 9V$	2.0		2.5	2.0		2.0	V
		$V_{DD} = 15V, V_O = 13.5V$	3.0		3.5	3.0		3.0	V
V_{IH}	High Level Input Voltage (CD4050BM Only)	$ I_{OI} < 1 \mu A$							
		$V_{DD} = 5V, V_O = 4.5V$	3.5		9.5	2.75		3.5	V
		$V_{DD} = 10V, V_O = 9V$	7.0		7.0	5.5		7.0	V
		$V_{DD} = 15V, V_O = 13.5V$	11.0		11.0	8.25		11.0	V
V_{IH}	High Level Input Voltage (CD4049UBM Only)	$ I_{OI} < 1 \mu A$							
		$V_{DD} = 5V, V_O = 0.5V$	4.0		4.0	3.5		4.0	V
		$V_{DD} = 10V, V_O = 1V$	8.0		8.0	7.5		8.0	V
		$V_{DD} = 15V, V_O = 1.5V$	12.0		12.0	11.5		12.0	V
I_{OL}	Low Level Output Current (Note 3)	$V_{IH} = V_{DD}, V_{IL} = 0V$							
		$V_{DD} = 5V, V_O = 0.4V$	5.6		4.6	5		3.2	mA
		$V_{DD} = 10V, V_O = 0.5V$	12		8.8	12		6.8	mA
		$V_{DD} = 15V, V_O = 1.5V$	35		29	40		20	mA

Note 1: "Absolute Maximum Ratings" are those values beyond which the safety of the device cannot be guaranteed; they are not meant to imply that the devices should be operated at those limits. The table of "Recommended Operating Conditions" and "Electrical Characteristics" provides conditions for actual device operation.

Note 2: $V_{BB} = 0V$ unless otherwise specified.

Note 3: These are peak output current capabilities. Continuous output current is rated at 12 mA maximum. The output current should not be allowed to exceed this value for extended periods of time. I_{OL} and I_{OH} are tested one output at a time.



DC Electrical Characteristics CD4049M/CD4050BM (Note 2) (Continued)

Symbol	Parameter	Conditions	-55°C		+25°C			+125°C		Units
			Min	Max	Min	Typ	Max	Min	Max	
I_{OH}	High Level Output Current (Note 3)	$V_{IH} = V_{DD}, V_{IL} = 0V$ $V_{DD} = 5V, V_O = 4.5V$ $V_{DD} = 10V, V_O = 9.5V$ $V_{DD} = 15V, V_O = 13.5V$	-1.3		-1.1	-1.6		-0.72		mA
I_{OL}	Input Current	$V_{DD} = 15V, V_{IN} = 0V$ $V_{DD} = 15V, V_{IN} = 15V$		-0.1 0.1	-10-5 10-5	-10-5 0.1	-10-5 0.1	-1.0 1.0	-1.0 1.0	μA

Note 1: "Absolute Maximum Ratings" are those values beyond which the safety of the device cannot be guaranteed; they are not meant to imply that the devices should be operated at these limits. The table of "Recommended Operating Conditions" and "Electrical Characteristics" provides conditions for actual device operation.

Note 2: $V_{SS} = 0V$ unless otherwise specified.

Note 3: These are peak output current capabilities. Continuous output current is rated at 12 mA maximum. The output current should not be allowed to exceed this value for extended periods of time. I_{OL} and I_{OH} are tested one output at a time.

DC Electrical Characteristics CD4049UBC/CD4050BC (Note 2)

Symbol	Parameter	Conditions	-40°C		+25°C			+85°C		Units
			Min	Max	Min	Typ	Max	Min	Max	
I_{OD}	Cathode Device Current	$V_{DD} = 5V$ $V_{DD} = 10V$ $V_{DD} = 15V$		4 8 16		0.03 0.05 0.07	4.0 8.0 16.0		30 60 120	μA
V_{OL}	Low Level Output Voltage	$V_{IH} = V_{DD}, V_{IL} = 0V,$ $ I_{OL} < 1 \mu A$ $V_{DD} = 5V$ $V_{DD} = 10V$ $V_{DD} = 15V$			0.05 0.05 0.05	0 0 0	0.05 0.05 0.05		0.05 0.05 0.05	V
V_{OH}	High Level Output $V_{O_{high}}$	$V_{IH} = V_{DD}, V_{IL} = 0V,$ $ I_{OL} < 1 \mu A$ $V_{DD} = 5V$ $V_{DD} = 10V$ $V_{DD} = 15V$		4.95 9.95 14.95	4.95 9.95 14.95	5 10 15		4.95 8.95 14.95		V
V_{IL}	Low Level Input Voltage (CD4050BC Only)	$ I_{OL} < 1 \mu A$ $V_{DD} = 5V, V_O = 0.5V$ $V_{DD} = 10V, V_O = 1V$ $V_{DD} = 15V, V_O = 1.5V$		1.5 3.0 4.0		2.25 4.5 6.75	1.5 3.0 4.0		1.5 3.0 4.0	V
V_{IL}	Low Level Input Voltage (CD4049UBC Only)	$ I_{OL} < 1 \mu A$ $V_{DD} = 5V, V_O = 4.5V$ $V_{DD} = 10V, V_O = 9V$ $V_{DD} = 15V, V_O = 13.5V$		1.0 2.0 3.0		1.5 2.5 3.5	1.0 2.0 3.0		1.0 2.0 3.0	V
V_{IH}	High Level Input Voltage (CD4050BC Only)	$ I_{OL} < 1 \mu A$ $V_{DD} = 5V, V_O = 4.5V$ $V_{DD} = 10V, V_O = 9V$ $V_{DD} = 15V, V_O = 13.5V$		3.5 7.0 11.0		3.5 7.0 11.0	2.75 5.5 8.25		3.5 7.0 11.0	V
V_{IH}	High Level Input Voltage (CD4049UBC Only)	$ I_{OL} < 1 \mu A$ $V_{DD} = 5V, V_O = 0.5V$ $V_{DD} = 10V, V_O = 1V$ $V_{DD} = 15V, V_O = 1.5V$		4.0 8.0 12.0		4.0 8.0 12.0	3.5 7.5 11.5		4.0 8.0 12.0	V

Note 1: "Absolute Maximum Ratings" are those values beyond which the safety of the device cannot be guaranteed; they are not meant to imply that the devices should be operated at these limits. The table of "Recommended Operating Conditions" and "Electrical Characteristics" provides conditions for actual device operation.

Note 2: $V_{SS} = 0V$ unless otherwise specified.

Note 3: These are peak output current capabilities. Continuous output current is rated at 12 mA maximum. The output current should not be allowed to exceed this value for extended periods of time. I_{OL} and I_{OH} are tested one output at a time.



DC Electrical Characteristics CD4049UBC/CD4050BC (Note 2) (Continued)

Symbol	Parameter	Conditions	-40°C		+25°C		+85°C		Units
			Min	Max	Min	Typ	Max	Min	
I_{OL}	Low Level Output Current (Note 3)	$V_{IH} = V_{DD}, V_{IL} = 0V$ $V_{DD} = 5V, V_O = 0.4V$ $V_{DD} = 10V, V_O = 0.5V$ $V_{DD} = 15V, V_O = 1.5V$	4.8		4.0	5		9.2	mA
			9.8		8.5	12		8.8	mA
			29		25	40		20	mA
I_{OH}	High Level Output Current (Note 3)	$V_{IH} = V_{DD}, V_{IL} = 0V$ $V_{DD} = 5V, V_O = 4.6V$ $V_{DD} = 10V, V_O = 9.5V$ $V_{DD} = 15V, V_O = 13.5V$	-1.0		-0.9	-1.6		-0.72	mA
			-2.1		-1.9	-3.6		-1.5	mA
			-7.1		-6.2	-12		-5	mA
I_{IN}	Input Current	$V_{DD} = 15V, V_{IN} = 0V$ $V_{DD} = 15V, V_{IN} = 15V$	-0.3		-0.3	-10^{-5}			-1.0
			0.3		0.3	10^{-5}			1.0
									μA

AC Electrical Characteristics* CD4049UBM/CD4049UBC

$T_A = 25^\circ C, C_L = 50 \text{ pF}, R_L = 200\text{k}, t_r = t_f = 20 \text{ ns}$, unless otherwise specified

Symbol	Parameter	Conditions	Min	Typ	Max	Units
t_{PHL}	Propagation Delay Time High-to-Low Level	$V_{DD} = 5V$		30	65	ns
		$V_{DD} = 10V$		20	40	ns
		$V_{DD} = 15V$		15	30	ns
t_{PLH}	Propagation Delay Time Low-to-High Level	$V_{DD} = 5V$		45	65	ns
		$V_{DD} = 10V$		25	45	ns
		$V_{DD} = 15V$		20	35	ns
t_{THL}	Transition Time High-to-Low Level	$V_{DD} = 5V$		30	60	ns
		$V_{DD} = 10V$		20	40	ns
		$V_{DD} = 15V$		15	30	ns
t_{TLH}	Transition Time Low-to-High Level	$V_{DD} = 5V$		60	120	ns
		$V_{DD} = 10V$		30	55	ns
		$V_{DD} = 15V$		25	45	ns
C_{IN}	Input Capacitance	Any Input		15	22.5	pF

*AC Parameters are guaranteed by DC correlated testing.

AC Electrical Characteristics* CD4050BM/CD4050BC

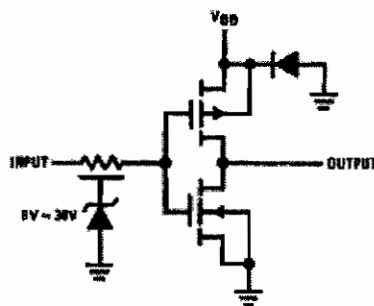
$T_A = 25^\circ C, C_L = 50 \text{ pF}, R_L = 200\text{k}, t_r = t_f = 20 \text{ ns}$, unless otherwise specified

Symbol	Parameter	Conditions	Min	Typ	Max	Units
t_{PHL}	Propagation Delay Time High-to-Low Level	$V_{DD} = 5V$		60	110	ns
		$V_{DD} = 10V$		25	55	ns
		$V_{DD} = 15V$		20	30	ns
t_{PLH}	Propagation Delay Time Low-to-High Level	$V_{DD} = 5V$		80	120	ns
		$V_{DD} = 10V$		30	55	ns
		$V_{DD} = 15V$		25	45	ns
t_{THL}	Transition Time High-to-Low Level	$V_{DD} = 5V$		30	60	ns
		$V_{DD} = 10V$		20	40	ns
		$V_{DD} = 15V$		15	30	ns
t_{TLH}	Transition Time Low-to-High Level	$V_{DD} = 5V$		60	120	ns
		$V_{DD} = 10V$		30	55	ns
		$V_{DD} = 15V$		25	45	ns
C_{IN}	Input Capacitance	Any Input		5	7.5	pF

*AC Parameters are guaranteed by DC correlated testing.

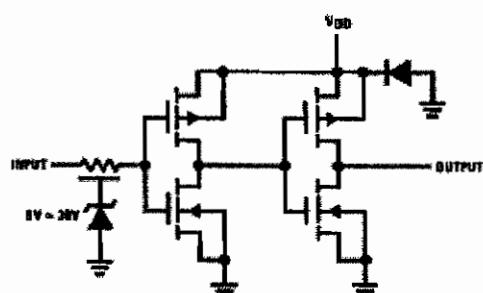
Schematic Diagrams

CD4049UBM/CD4049UBC
1 of 6 Identical Units



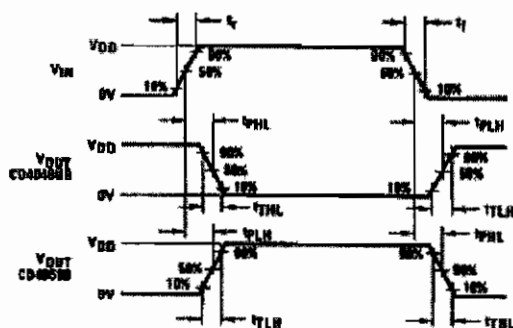
TL/F/5971-3

CD4050BM/CD4050BC
1 of 6 Identical Units



TL/F/5971-4

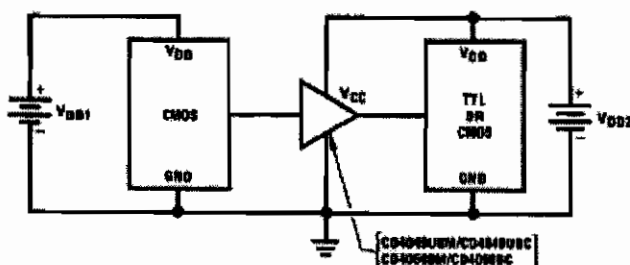
Switching Time Waveforms



TL/F/5971-5

Typical Applications

CMOS to TTL or CMOS at Lower VDD



TL/F/5971-6

Note: $V_{DD1} \geq V_{DD2}$

Note: In the case of the CD4049UBM/CD4049UBC the output drive capability increases with increasing input voltage. E.g., If $V_{DD1} = 10V$ the CD4049UBM/CD4049UBC could drive 4 TTL loads.

2SK1056, 2SK1057, 2SK1058

Silicon N-Channel MOS FET

HITACHI

Application

Low frequency power amplifier

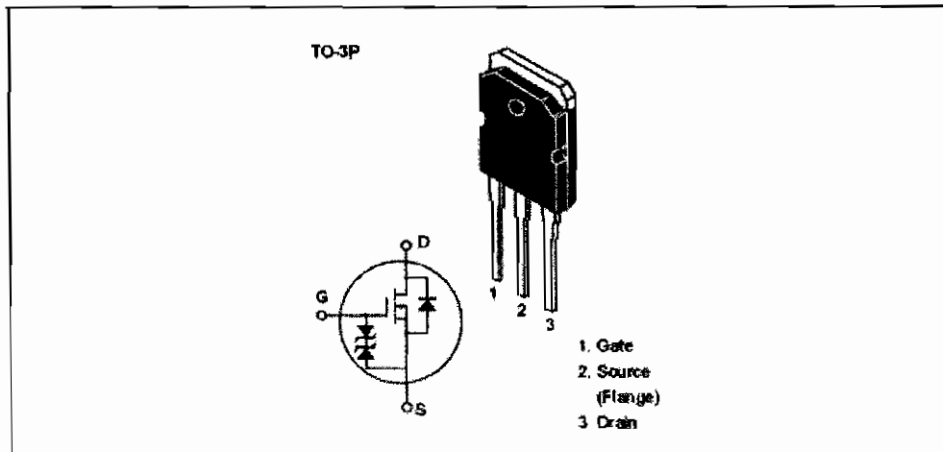
Complementary pair with 2SJ160, 2SJ161 and 2SJ162

Features

- Good frequency characteristic
- High speed switching
- Wide area of safe operation
- Enhancement-mode

2SK1056, 2SK1057, 2SK1058

Outline



Absolute Maximum Ratings ($T_a = 25^\circ\text{C}$)

Item	Symbol	Ratings	Unit
Drain to source voltage	V_{ds}	120	V
		140	
		160	
Gate to source voltage	V_{ges}	± 15	V
Drain current	I_D	7	A
Body to drain diode reverse drain current	I_{DR}	7	A
Channel dissipation	P_{ch}	100	W
Channel temperature	T_{ch}	150	$^\circ\text{C}$
Storage temperature	T_{stg}	-55 to +150	$^\circ\text{C}$

Note: 1. Value at $T_c = 25^\circ\text{C}$

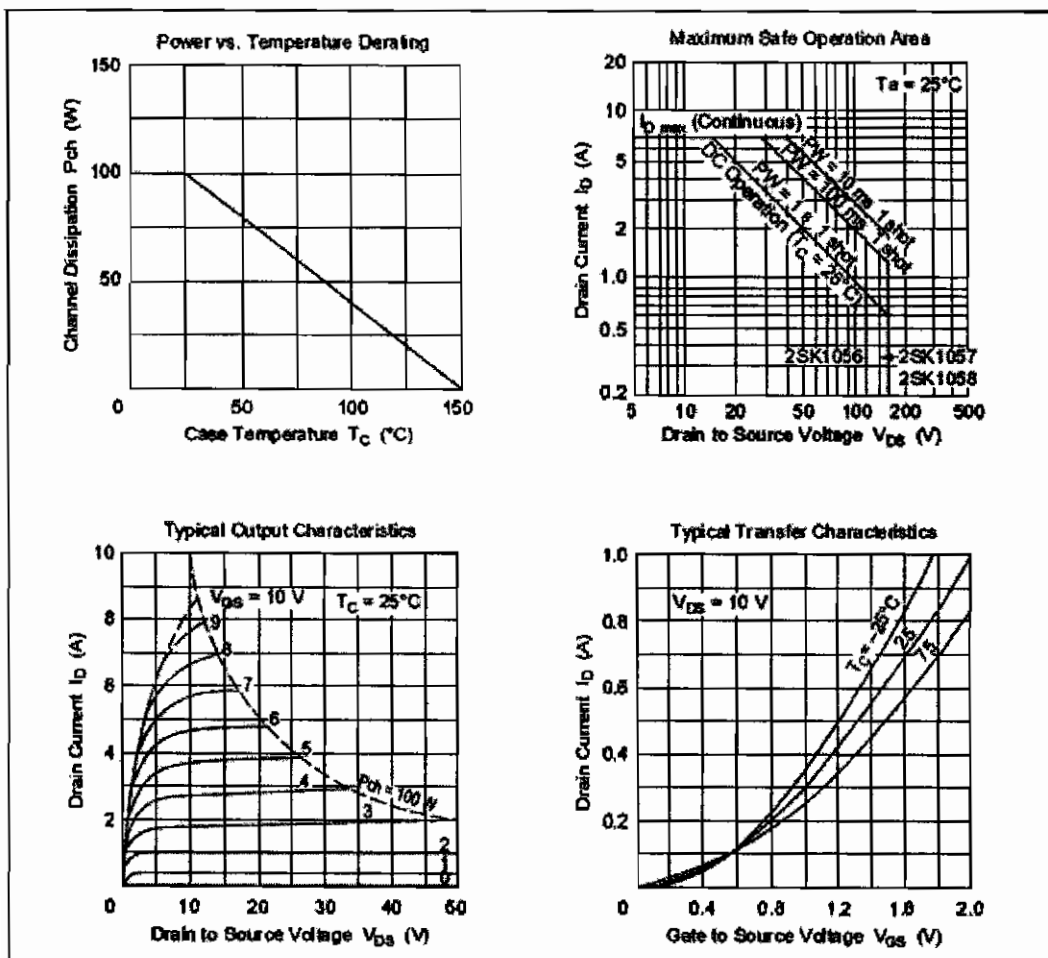


2SK1056, 2SK1057, 2SK1058**Electrical Characteristics (Ta = 25°C)**

Item	Symbol	Min	Typ	Max	Unit	Test conditions
Drain to source breakdown voltage	2SK1056	V _{BRDSSX}	120	—	—	V
	2SK1057		140			I _D = 10 mA, V _{DS} = -10 V
	2SK1058		160			
Gate to source breakdown voltage	V _{BRGSS}	±15	—	—	V	I _G = ±100 µA, V _{DS} = 0
Gate to source cutoff voltage	V _{EGS0.1}	0.15	—	1.45	V	I _D = 100 mA, V _{DS} = 10 V
Drain to source saturation voltage	V _{DSS0.1}	—	—	12	V	I _D = 7 A, V _{DS} = 0 *1
Forward transfer admittance	y _{fs}	0.7	1.0	1.4	S	I _D = 3 A, V _{DS} = 10 V *1
Input capacitance	C _{iss}	—	600	—	pF	V _{GS} = -5 V, V _{DS} = 10 V,
Output capacitance	C _{oss}	—	350	—	pF	f = 1 MHz
Reverse transfer capacitance	C _{rss}	—	10	—	pF	
Turn-on time	t _{on}	—	180	—	ns	V _{DS} = 20 V, I _D = 4 A,
Turn-off time	t _{off}	—	60	—	ns	

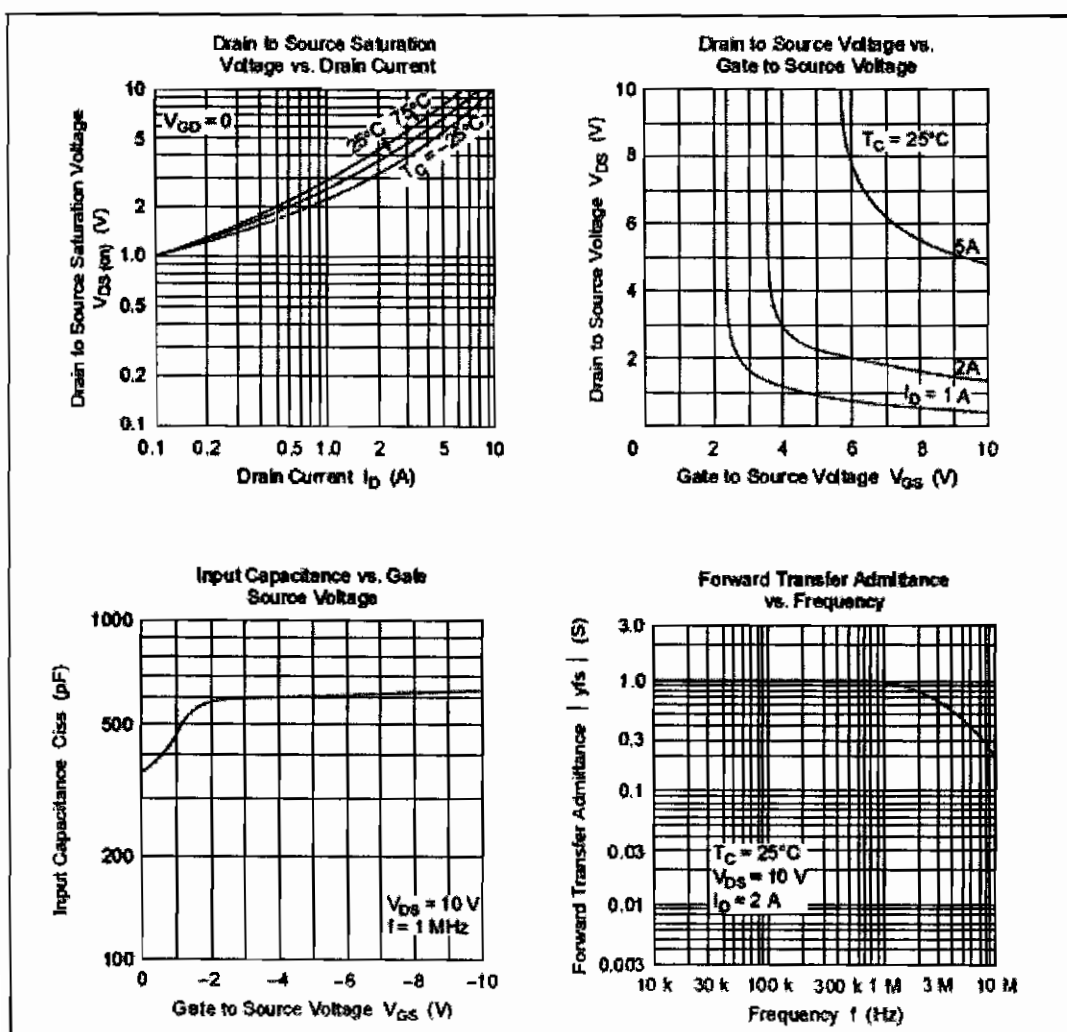
Note: 1. Pulse test

2SK1056, 2SK1057, 2SK1058



HITACHI

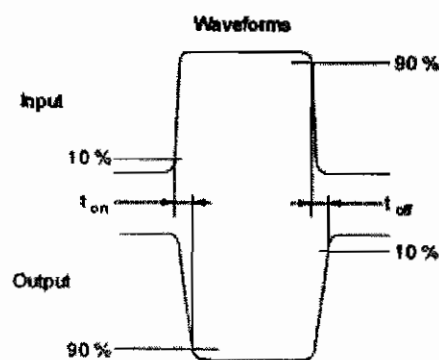
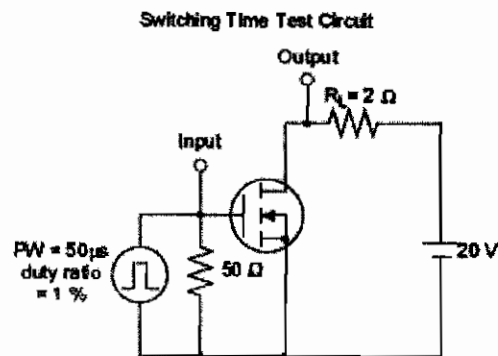
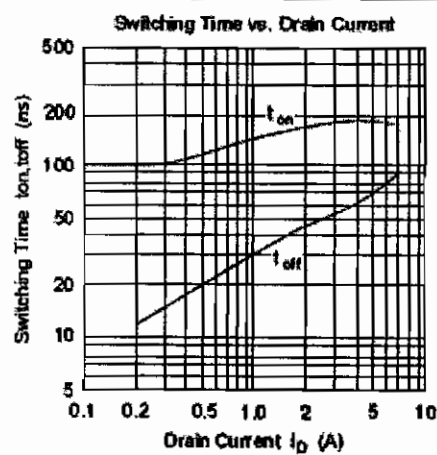
2SK1056, 2SK1057, 2SK1058



HITACHI



2SK1056, 2SK1057, 2SK1058



HITACHI



MOTOROLA

Order this document by LM393/D

Low Offset Voltage Dual Comparators

The LM393 series are dual independent precision voltage comparators capable of single or split supply operation. These devices are designed to permit a common mode range-to-ground level with single supply operation. Input offset voltage specifications as low as 2.0 mV make this device an excellent selection for many applications in consumer, automotive, and industrial electronics.

- Wide Single-Supply Range: 2.0 Vdc to 38 Vdc
- Split-Supply Range: ± 1.0 Vdc to ± 18 Vdc
- Very Low Current Drain Independent of Supply Voltage: 0.4 mA
- Low Input Bias Current: 25 nA
- Low Input Offset Current: 5.0 nA
- Low Input Offset Voltage: 2.0 mV (max) LM393A
5.0 mV (max) LM293/393
- Input Common Mode Range to Ground Level
- Differential Input Voltage Range Equal to Power Supply Voltage
- Output Voltage Compatible with DTL, ECL, TTL, MOS, and CMOS Logic Levels
- ESD Clamps on the Inputs Increase the Ruggedness of the Device without Affecting Performance

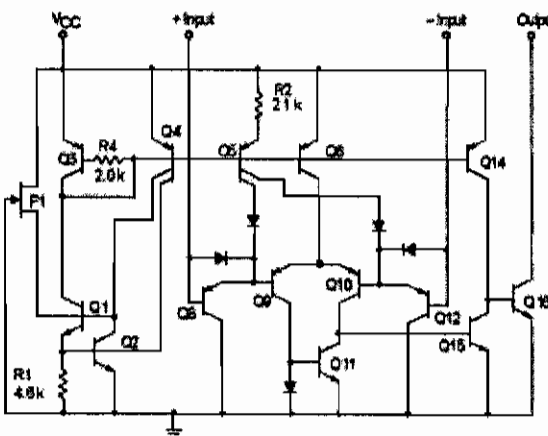
LM393, LM393A, LM293, LM2903, LM2903V

SINGLE SUPPLY, LOW POWER DUAL COMPARATORS

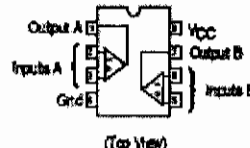
SEMICONDUCTOR
TECHNICAL DATA



Representative Schematic Diagram
(Diagram shown is for 1 comparator)



PIN CONNECTIONS



ORDERING INFORMATION

Device	Operating Temperature Range	Package
LM293D	$T_A = -25^\circ\text{C}$ to $+85^\circ\text{C}$	SO-8
LM393D	$T_A = 0^\circ\text{C}$ to $+70^\circ\text{C}$	SO-8
LM393AN,N	$T_A = 0^\circ\text{C}$ to $+70^\circ\text{C}$	Plastic DIP
LM2903D	$T_A = -40^\circ\text{C}$ to $+105^\circ\text{C}$	SO-8
LM2903N	$T_A = -40^\circ\text{C}$ to $+105^\circ\text{C}$	Plastic DIP
LM2903VD	$T_A = -40^\circ\text{C}$ to $+105^\circ\text{C}$	SO-8
LM2903VN	$T_A = -40^\circ\text{C}$ to $+105^\circ\text{C}$	Plastic DIP



LM393, LM393A, LM293, LM2903, LM2903V

MAXIMUM RATINGS

Rating	Symbol	Value	Unit
Power Supply Voltage	V _{CC}	+36 or ±18	Vdc
Input Differential Voltage Range	V _{IDR}	36	Vdc
Input Common Mode Voltage Range	V _{ICR}	-0.3 to +36	Vdc
Output Short Circuit-to-Ground	I _{SC}	Continuous	mA
Output Sink Current (Note 1)	I _{Sink}	20	
Power Dissipation @ T _A = 25°C Case above 25°C	P _D 1/R _{DAJA}	570 5.7	mW mW/°C
Operating Ambient Temperature Range LM293 LM393, 393A LM2903 LM2903V	T _A	-25 to +85 0 to +70 -40 to +105 -40 to +125	°C
Maximum Operating Junction Temperature LM393, 393A, 2903, LM2903V LM293	T _{J(max)}	125 150	°C
Storage Temperature Range	T _{Stg}	-65 to +150	°C

ELECTRICAL CHARACTERISTICS (V_{CC} = 5.0 Vdc, T_{low} ≤ T_A ≤ T_{high}, * unless otherwise noted.)

Characteristic	Symbol	LM393A			Unit
		Mn	Typ	Max	
Input Offset Voltage (Note 2) T _A = 25°C T _{low} ≤ T _A ≤ T _{high}	V _{IO}	— —	±1.0 —	22.0 4.0	µV
Input Offset Current T _A = 25°C T _{low} ≤ T _A ≤ T _{high}	I _{IO}	— —	±50 —	250 ±150	nA
Input Bias Current (Note 3) T _A = 25°C T _{low} ≤ T _A ≤ T _{high}	I _B	— —	25 —	250 400	nA
Input Common Mode Voltage Range (Note 4) T _A = 25°C T _{low} ≤ T _A ≤ T _{high}	V _{ICR}	0 0	— —	V _{CC} -1.5 V _{CC} -2.0	V
Voltage Gain R _L ≥ 15 kΩ, V _{CC} = 15 Vdc, T _A = 25°C	A _{VOL}	50	200	—	VmV
Large Signal Response Time V _{IN} = TTL Logic Swing, V _{ref} = 1.4 Vdc V _{RL} = 5.0 Vdc, R _L = 5.1 kΩ T _A = 25°C	—	—	300	—	ns
Response Time (Note 5) V _{RL} = 5.0 Vdc, R _L = 5.1 kΩ, T _A = 25°C	t _{TLH}	—	1.3	—	µs
Input Differential Voltage (Note 6) All V _{IN} ≥ Gnd or V- Supply (if used)	V _{ID}	—	—	V _{CC}	V
Output Sink Current V _{IN} ≥ 1.0 Vdc, V _{IN+} = 0 Vdc, V _O ≤ 1.5 Vdc, T _A = 25°C	I _{Sink}	6.0	16	—	mA
Output Saturation Voltage V _{IN} ≥ 1.0 Vdc, V _{IN+} = 0 Vdc, I _{Sink} ≤ 4.0 mA, T _A = 25°C T _{low} ≤ T _A ≤ T _{high}	V _{OL}	— —	150 —	400 700	µV

*T_{low} = 0°C, T_{high} = +70°C for LM393/393A.

- NOTES: 1. The maximum output current may be as high as 20 mA. Independent of the magnitude of V_{CC}, output short circuits to V_{CC} can cause excessive heating and eventual destruction.
 2. At output switch point, V_{OL} ≥ 1.4 Vdc, R_L = 0 Ω with V_{CC} from 5.0 Vdc to 30 Vdc, and over the full input common mode range (0 V to V_{CC} = -1.5 V).
 3. Due to the PNP transistor inputs, bias current will flow out of the inputs. This current is essentially constant, independent of the output state; therefore, no loading changes will exist on the input lines.
 4. Input common mode of either input should not be permitted to go more than 0.3 V negative of ground or minus supply. The upper limit of common mode range is V_{CC}-1.5 V.
 5. Response time is specified with a 100 mV step and 5.0 mV of overdrive. With larger magnitudes of overdrive, faster response times are obtainable.
 6. The comparator will exhibit proper output states if one of the inputs becomes greater than V_{CC}; the other input must remain within the common mode range. The low input state must not be less than -0.2 V of ground or minus supply.



LM393, LM393A, LM293, LM2903, LM2903V

ELECTRICAL CHARACTERISTICS ($V_{CC} = 5.0$ Vdc, $T_{low} \leq T_A \leq T_{high}$, * unless otherwise noted.)

Characteristic	Symbol	LM393A			Unit
		Min	Typ	Max	
Output Leakage Current $V_{in} = 0$ V, $V_{in+} \geq 1.0$ Vdc, $V_O = 5.0$ Vdc, $T_A = 25^\circ C$ $V_{in} = 0$ V, $V_{in+} \geq 1.0$ Vdc, $V_O = 3.0$ Vdc, $T_{low} \leq T_A \leq T_{high}$	I_{OL}	—	0.1	—	μA
Supply Current $R_L = \infty$ Both Comparators, $T_A = 25^\circ C$ $R_L = \infty$ Both Comparators, $V_{CC} = 30$ V	I_{CC}	—	0.4	1.0	mA

ELECTRICAL CHARACTERISTICS ($V_{CC} = 5.0$ Vdc, $T_{low} \leq T_A \leq T_{high}$, unless otherwise noted.)

Characteristic	Symbol	LM392, LM393			LM2903, LM2903V			Unit
		Min	Typ	Max	Min	Typ	Max	
Input Offset Voltage (Note 2) $T_A = 25^\circ C$ $T_{low} \leq T_A \leq T_{high}$	V_{IO}	—	± 0.0	± 0.0	—	± 0.0	± 0.0	mV
Input Offset Current $T_A = 25^\circ C$ $T_{low} \leq T_A \leq T_{high}$	I_O	—	± 50	± 50	—	± 50	± 50	nA
Input Bias Current (Note 3) $T_A = 25^\circ C$ $T_{low} \leq T_A \leq T_{high}$	I_B	—	25	250	—	25	250	nA
Input Common Mode Voltage Range (Note 3) $T_A = 25^\circ C$ $T_{low} \leq T_A \leq T_{high}$	V_{ICR}	0 0	— —	$V_{CC} - 1.5$ $V_{CC} - 2.0$	0 0	— —	$V_{CC} - 1.5$ $V_{CC} - 2.0$	V
Voltage Gain $R_L \geq 10 k\Omega$, $V_{CC} = 15$ Vdc, $T_A = 25^\circ C$	A_{VOL}	50	200	—	25	200	—	V/mV
Large Signal Response Time $V_{in} = TTL$ Logic Swing, $V_{ref} = 1.4$ Vdc $V_{RL} = 5.0$ Vdc, $R_L = 5.1 k\Omega$, $T_A = 25^\circ C$	—	—	300	—	—	300	—	ns
Response Time (Note 5) $V_{RL} = 5.0$ Vdc, $R_L = 5.1 k\Omega$, $T_A = 25^\circ C$	t_{TLH}	—	1.3	—	—	1.5	—	μs
Input Differential Voltage (Note 6) All $V_{in} \geq$ Gnd or V-Supply (Biased)	V_{ID}	—	—	V_{CC}	—	—	V_{CC}	V
Output Sink Current $V_{in} \geq 1.0$ Vdc, $V_{in+} = 0$ Vdc, $V_O \leq 1.5$ Vdc, $T_A = 25^\circ C$	I_{Sink}	8.0	16	—	8.0	16	—	mA
Output Saturation Voltage $V_{in} \geq 1.0$ Vdc, $V_{in+} = 0$, $I_{sink} \leq 4.0$ mA, $T_A = 25^\circ C$ $T_{low} \leq T_A \leq T_{high}$	V_{OL}	— —	150 700	400	— —	— 200	400 700	mV
Output Leakage Current $V_{in} = 0$ V, $V_{in+} \geq 1.0$ Vdc, $V_O = 5.0$ Vdc, $T_A = 25^\circ C$ $V_{in} = 0$ V, $V_{in+} \geq 1.0$ Vdc, $V_O = 3.0$ Vdc, $T_{low} \leq T_A \leq T_{high}$	I_{OL}	—	0.1	—	—	0.1	—	nA
Supply Current $R_L = \infty$ Both Comparators, $T_A = 25^\circ C$ $R_L = \infty$ Both Comparators, $V_{CC} = 30$ V	I_{CC}	—	0.4	1.0	—	0.4	1.0	mA

* $T_{low} = 0^\circ C$, $T_{high} = +70^\circ C$ for LM393/393ALM293 $T_{low} = -25^\circ C$, $T_{high} = +65^\circ C$ LM2903 $T_{low} = -40^\circ C$, $T_{high} = +105^\circ C$ LM2903V $T_{low} = -40^\circ C$, $T_{high} = +125^\circ C$ NOTES: 2. At output switch point, $V_O = 1.4$ Vdc, $R_L = 0$ with V_{CC} from 5.0 Vdc to 30 Vdc, end over the full input common mode range (0 V to $V_{CC} = -1.5$ V).

3. Due to the PNP transistor inputs, bias current will flow out of the inputs. This current is essentially constant, independent of the output state; therefore, no loading changes will exist on the input lines.

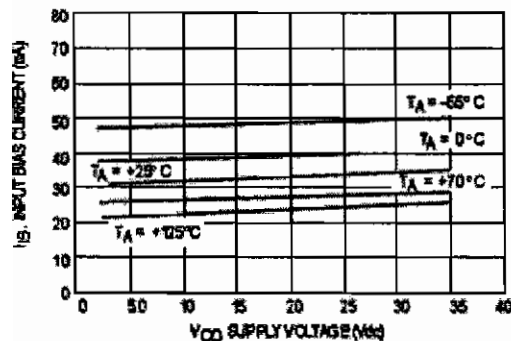
5. Response time is specified with a 100 mV step and 5.0 mV of overdrive. With larger magnitudes of overdrive, faster response times are obtainable.

6. The comparator will exhibit proper output state if one of the inputs becomes greater than V_{CC} , the other input must remain within the common mode range. The low input state must not be less than -0.3 V of ground or minus supply.

LM393, LM393A, LM293, LM2903, LM2903V

LM293/393A

Figure 1. Input Bias Current versus Power Supply Voltage



LM2903

Figure 2. Input Bias Current versus Power Supply Voltage

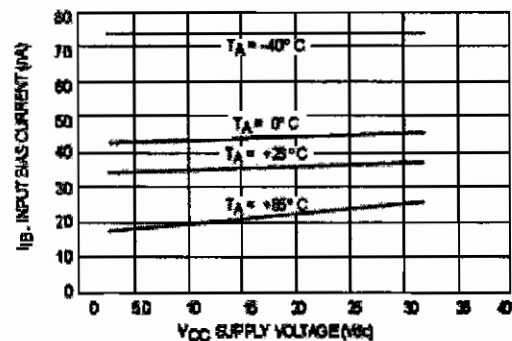


Figure 3. Output Saturation Voltage versus Output Sink Current

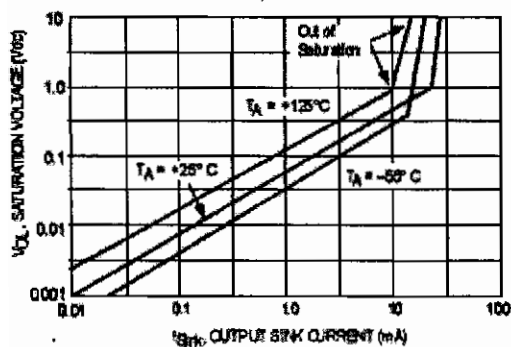


Figure 4. Output Saturation Voltage versus Output Sink Current

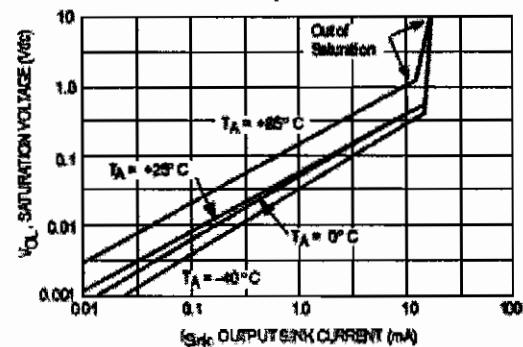


Figure 5. Power Supply Current versus Power Supply Voltage

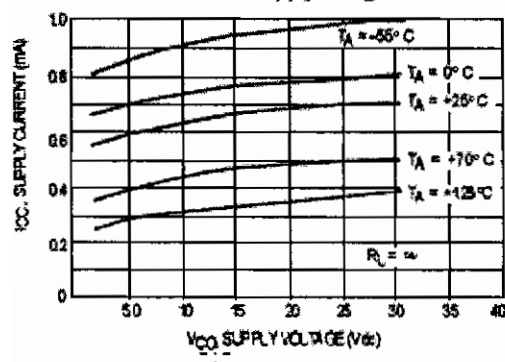
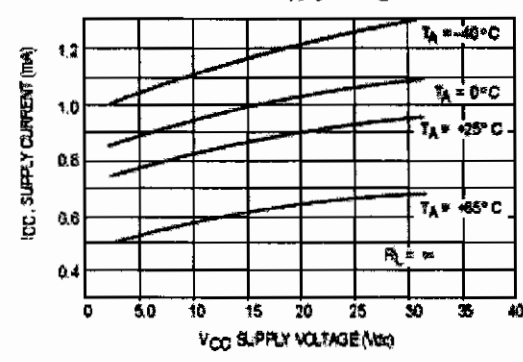


Figure 6. Power Supply Current versus Power Supply Voltage



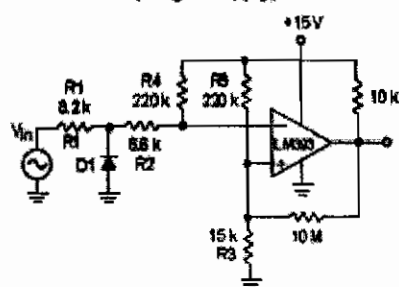
LM393, LM393A, LM293, LM2903, LM2903V APPLICATIONS INFORMATION

These dual comparators feature high gain, wide bandwidth characteristics. This gives the device oscillation tendencies if the outputs are capacitively coupled to the inputs via stray capacitance. This oscillation manifests itself during output transitions (V_{OL} to V_{OH}). To alleviate this situation, input resistors $< 10\text{ k}\Omega$ should be used.

The addition of positive feedback ($< 10\text{ mV}$) is also recommended. It is good design practice to ground all unused pins.

Differential input voltages may be larger than supply voltage without damaging the comparator's inputs. Voltages more negative than -0.3 V should not be used.

Figure 7. Zero Crossing Detector (Single Supply)

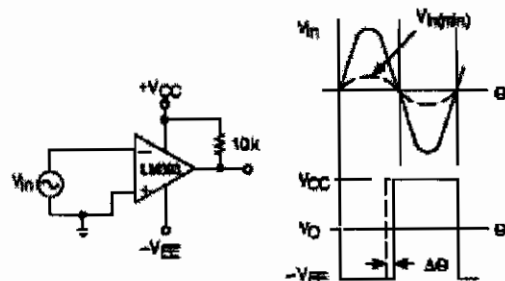


D1 prevents input from going negative by more than 0.8 V .

$$R1 + R2 = R3$$

$$R3 \leq \frac{R5}{10} \text{ for small error in zero crossing.}$$

Figure 6. Zero Crossing Detector (Split Supply)



$$V_{in(\text{min})} = 0.4\text{ V peak for } 15^\circ\text{ phase distortion (AO).}$$

Figure 9. Free-Running Square-Wave Oscillator

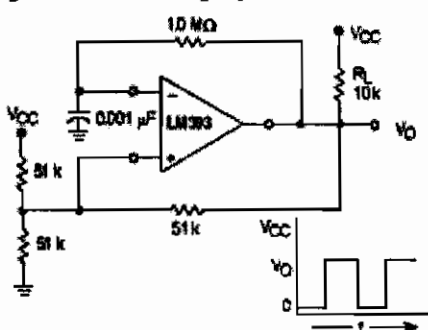
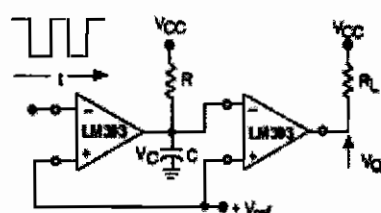


Figure 10. Time Delay Generator



*ON for $t > t_0 + \Delta t$

$$\Delta t = RC \ln \left(\frac{V_{ref}}{V_{CC}} \right)$$

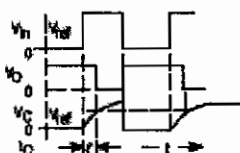
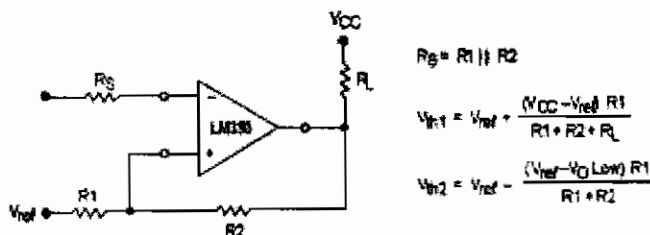


Figure 11. Comparator with Hysteresis



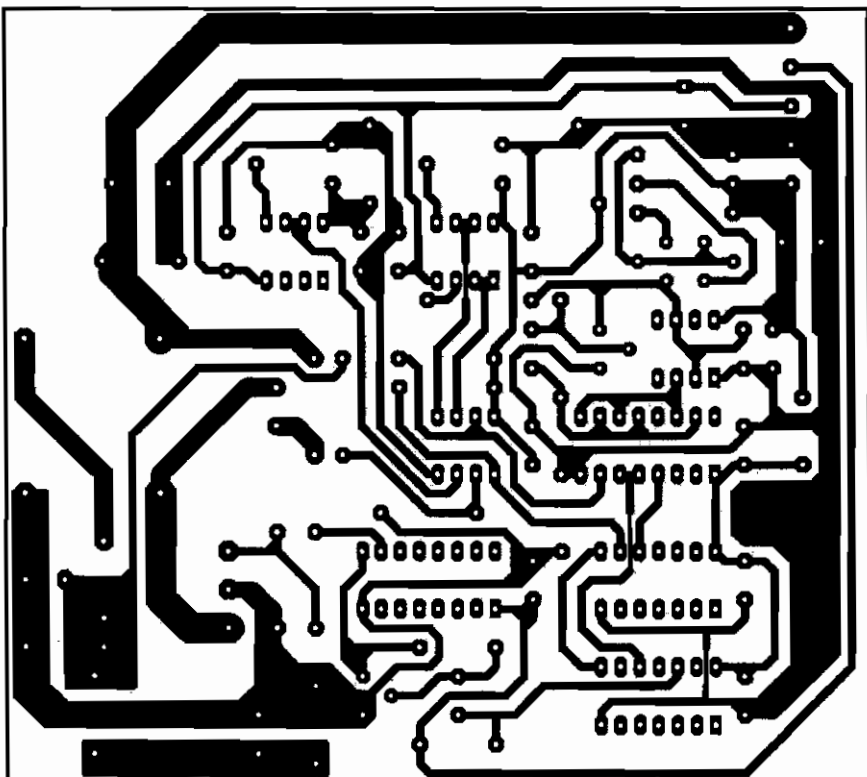
$$R_h = R1 || R2$$

$$V_{h1} = V_{ref} + \frac{(V_{CC} - V_{ref}) R1}{R1 + R2 + R_h}$$

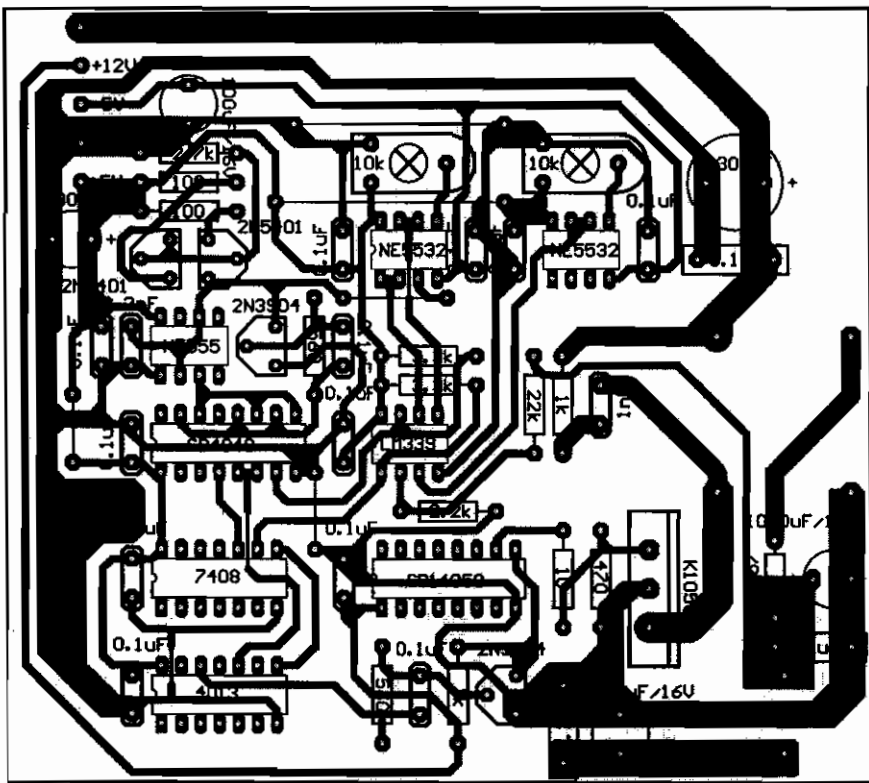
$$V_{h2} = V_{ref} - \frac{(V_{ref} - V_{O\text{ Low}}) R1}{R1 + R2}$$

ภาคผนวก ๔.

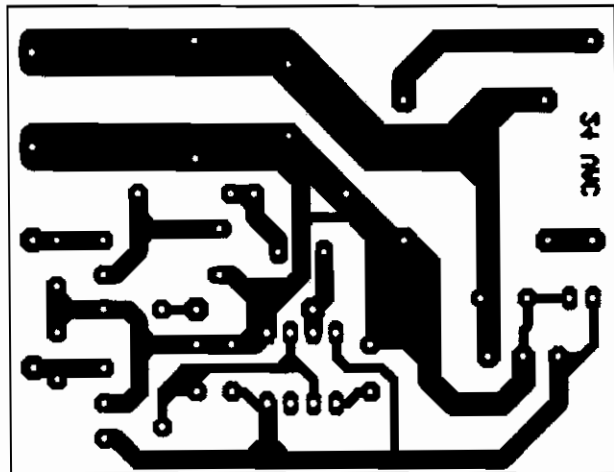




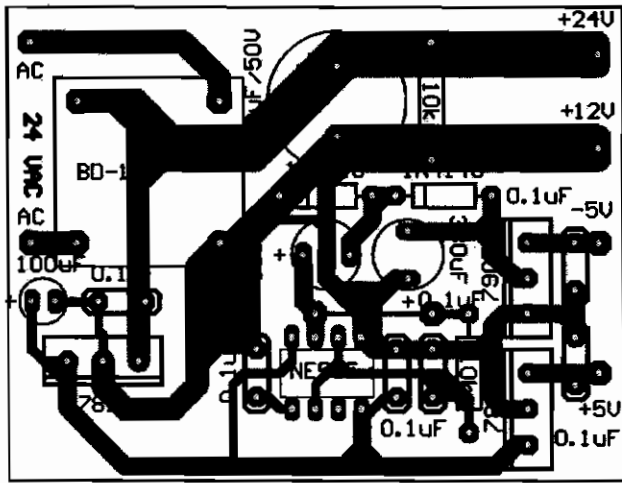
ลายพิรินค้านบัดกรีบนภาคเท่าจริง



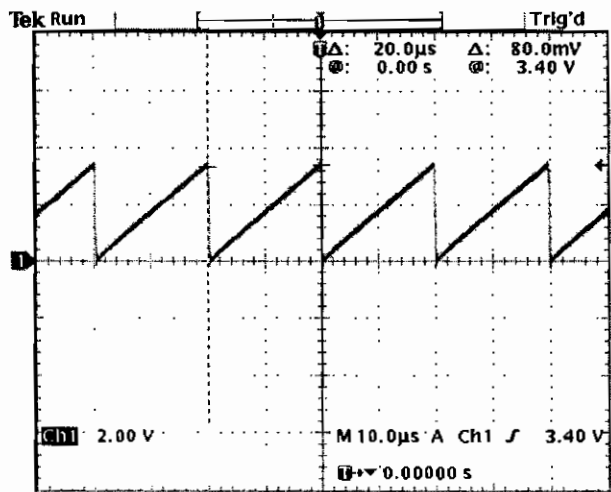
ตำแหน่งการลงอุปกรณ์



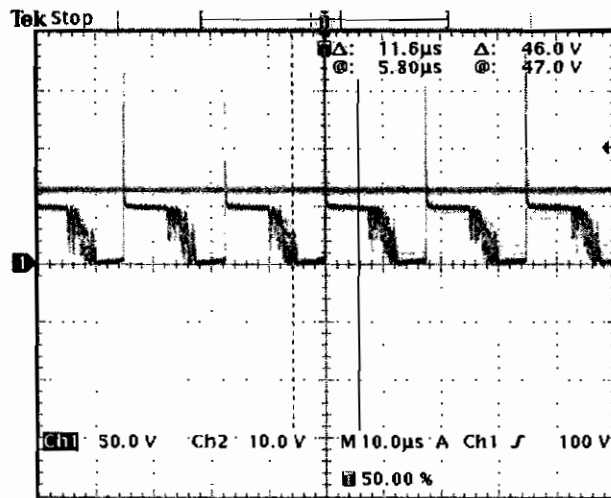
ลายพري้ด้านบัดกรีของแหล่งจ่ายไฟเลี้ยงภาคควบคุมแรงดันเอาต์พุตขนาดเท่าจริง



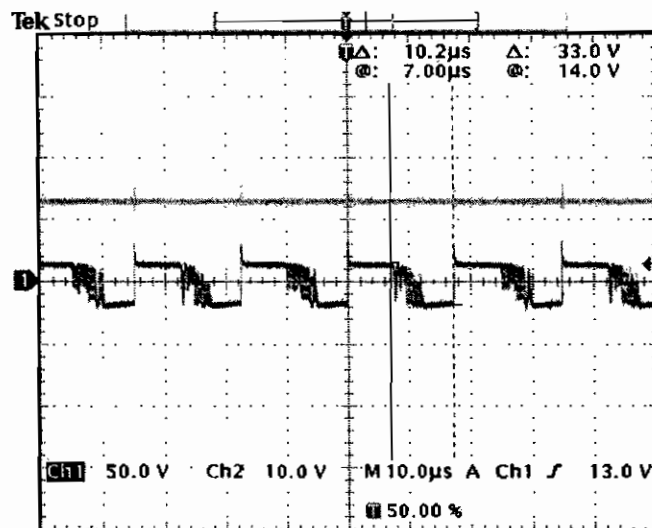
ตำแหน่งการลงอุปกรณ์ของแหล่งจ่ายไฟเลี้ยงภาคควบคุมแรงดันเอาต์พุต



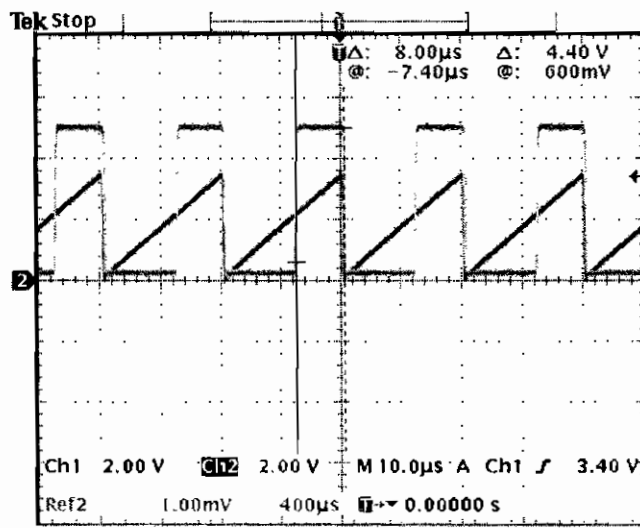
สัญญาณฟันเดือย



CH1 แรงดันตอกครื่นขาเดрен-ชอร์ส ของมอเตอร์ไฟด์ CH2 แรงดันเอาต์พุต (ทดสอบที่กำลัง 12 วัตต์)



CH1 แรงดันเอาต์พุตเมื่อยังไม่ผ่านวงจรเรียงกระแสและกรองแรงดัน CH2 แรงดันเอาต์พุตเมื่อผ่านกรองแรงดัน (ทดสอบที่กำลัง 12 วัตต์)



CH2 สัญญาณเอาต์พุตของภาคออกซิจเลเตอร์

ประวัติของผู้ศึกษา

ชื่อ	นายสุพิศ พิธิสาร
วัน/เดือน/ปีเกิด	30 กันยายน 2527
ภูมิลำเนา	บ้านเลขที่ 33 หมู่ที่ 8 ต.โพธีกระสังข์ อ.บุนนาค จ.ศรีสะเกษ 33150
ประวัติการศึกษา -	สำเร็จการศึกษาระดับมัธยมศึกษาตอนต้นจาก โรงเรียนศรีครุฑากลวิทยา พ.ศ.2542 อ.บุนนาค จ.ศรีสะเกษ
	- สำเร็จการศึกษาระดับมัธยมศึกษาตอนปลายจาก โรงเรียนศรีครุฑากลวิทยา พ.ศ. 2545 อ.บุนนาค จ.ศรีสะเกษ
	- วทบ.พิสิกส์ประยุกต์(อเล็กทรอนิกส์),2550 มหาวิทยาลัยมหาสารคาม จ.มหาสารคาม

ชื่อ	นายวรรุณ ไชยปัญหา
วัน/เดือน/ปีเกิด	25 กรกฎาคม 2528
ภูมิลำเนา	บ้านเลขที่ 60 หมู่ที่ 4 ต.บุนทอง อ.บัวใหญ่ จ.นครราชสีมา 30120
ประวัติการศึกษา -	สำเร็จการศึกษาระดับมัธยมศึกษาตอนต้นจาก โรงเรียนเกร็งคลีนวิทยา พ.ศ.2542 อ.บัวใหญ่ จ.นครราชสีมา
	- สำเร็จการศึกษาระดับมัธยมศึกษาตอนปลายจาก โรงเรียนบัวใหญ่ พ.ศ.2545 อ.บัวใหญ่ จ.นครราชสีมา
	- วทบ.พิสิกส์ประยุกต์(อเล็กทรอนิกส์),2550 มหาวิทยาลัยมหาสารคาม จ.มหาสารคาม